

スーパーコンピュータ有効活用の手引き (平成23年度-平成27年度)

平成23年度から高性能計算の扉に記載しました各種計算機基本性能調査、各種計算機アプリケーション性能比較、多倍長計算手法のまとめとして性能関連事項を各種計算機性能調査まとめと、精度関連事項を多倍長計算手法まとめの2冊にしました。性能関連事項と精度関連事項は異なる視点からの検討が必要な部分が多くあるため、この2冊を列挙する体裁を取っています。論文リストはスライド238以降にまとめて掲載しています。

スーパーコンピュータ使用するケースは主に以下の3つのケースに分類できます。

- (1) 大学等での計算機教育や学問としての計算機論の展開
- (2) 研究所等での論文作成の手段として
- (3) 業務を行う公的機関や民間会社での手段として

一般的には(1)と(3)のサイトでは目的と手段が明確になっていますが(2)のサイトでは目的と手段が不明確で逆転している事が多々見られます

一例として過去ある大学で逆行列を求めるサブルーチン群を学内で公開した所、参照回数50%以上がクラメル公式で求めるサブルーチンだった事があります。

(2)や(3)の分野の人から見れば、時間もかかり、計算精度からみて問題のあるものを使用するのはおかしく見えますが、教育という面からみると、連続変数を扱う数学と離散変数を扱う計算機の差や、計算機の演算量や精度を知る上では目的にかなっていると言えます。

今回は業務を行う場合から見る事にし、シミュレーションにおいて許容される精度で正しい結果を速く実行するためにスーパーコンピュータを使用するという観点からまとめています。

例えばスーパーコンピュータの性能と言う場合

性能 (FLOPs) = 演算量 (FLOP) / 実行時間 (sec)

を重視しますが、ここでは実行時間 (sec) で中心に見ます。

また実ジョブでは使用されない様な条件での性能は検討から外しています。すなわち中心におくのは、計算機学の研究ではなく、シミュレーションを実施する側にするとする事です。

理由としては幾つか例をあげますが、

(1) フーリエ変換を使用するアプリケーションではFFTを使用すれば、実行時間は短縮されますが、性能の定義ではFFTのFLOPs値は低下します。

(2) 最適化オプションを上げれば、一般的には実行時間は短縮されますがFLOPs値は低下します。

(3) スーパーコンピュータを使用するアプリケーションでは必ずしも浮動小数点演算だけとはかぎりません。

などです。

また実行時間に関しては、PCやサーバーから移植する場合には互換性などの問題も含め経過時間が問題となりますので測定結果はすべて経過時間としています。たとえ1CPUでの測定でもCPU時間ではなく経過時間としています。

各種計算機性能調査まとめ

平成23年度-平成27年度

目次

- 1.はじめに
- 2.使用計算機
 - 2.1 スーパーコンピュータ
 - 2.2 アクセラレータ
 - 2.3 サーバー
- 3.基本演算
 - 3.1 メモリバンド幅測定
 - 3.2 rump's例題
 - 3.2.1 ieee754-2008系
 - 3.2.2 power系
 - 3.2.3 超多倍長演算
 - 3.3 行列積,ストラッセン行列積
 - 3.3.1 行列積計算
 - 3.3.1.1 SR16000/M1 システム
 - 3.3.1.2 xm1 システム
 - 3.3.1.3 BG/Qシステム
 - 3.3.1.4 各種演算精度の行列積計算
 - 3.3.2 ストラッセンの行列積
- 4.実アプリケーション
 - 4.1 重力多体問題 (N体問題)
 - 4.1.1 SR16000/M1 システム
 - 4.1.2 BG/Qシステム
 - 4.1.3 各種計算機性能比較
 - 4.1.3.1 演算量可変ケース
 - 4.1.3.2 演算量一定ケース

各種計算機性能調査まとめ

平成23年度-平成27年度

4.2 分子動力学計算

4.2.1 SR16000/M1 システム詳細

4.2.2 各種計算機性能比較

4.3 大規模疎行列の反復計算

4.3.1 対称問題

4.3.2 非対称問題

4.4 QCD計算

4.5 量子モンテカルロ法による物性スペクトル計算

4.5.1 SR16000/M1 システム

4.5.2 ieee754-2008形式

4.6 ファインマンループ積分計算

4.6.1 infra vtx計算

4.6.2 infra box計算

4.6.3 massless計算

4.6.4 4-6次元積分計算

4.6.4.1 s221計算

4.6.4.2 5次元積分計算

4.6.4.3 6次元積分計算

4.6.5 3loop計算

4.6.6 4loop計算

1. はじめに

性能を考える場合、実行時間をもとにしても、一般的に以下の事が言えます。

- (1) 扱う問題がある程度特定される場合とそうでない場合の性能は大きく異なる場合がある。
- (2) カタログ性能と実行時間は必ずしも比例しない。
- (3) 最適化オプションの効果には注意する必要がある。

具体例を挙げると以下の様なものがあります。

(1) 複素変数の絶対値計算

$$c = a + ib$$

$$|c| = \sqrt{a^2 + b^2}$$

a, bが絶対値がある範囲である事がわかっている場合は、実数演算で2つの乗算, 1つの加算, 1つの平方根計算で済む。c = $10^{160} + i10^{160}$ の場合, cは表現可能な数値で、結果も表現可能な値となるが、同じ計算をすると演算途中でオーバーフローが発生します。

これを防ぐため、関数ルーチンでは大小判定や除算等が使用されるのが一般的で数倍の性能差が出ます。

(2) カタログ性能は計算機に備わる演算器が全て同時に動作する事を前提としているが、実際のアプリケーションでは必ずしもそうはならない。倍精度演算と4倍精度演算の性能比はSR11000では約10倍と言われてきたがSR16000では4倍精度演算にはSIMD命令が適用されないためその差は大きくなり、15-20倍となっている。

**(3) 最適化オプションでは結果が変わらない範囲での最適化と、結果が変わる可能性がある最適化のレベルがある。
特に、並列実行の際には、精度に敏感なプログラムで総和、内積演算を含む場合には性能以前に結果の検証が必要になります。**

2.使用計算機

2.1 スーパーコンピュータ

(1) SR11000/K1(1ノード)

プロセッサ:power5

周波数:2.1GHz

CPUコア数 16

論理コア数 16

理論最大性能 134.4 GFLOPs

メモリ容量 32GB

メモリアーキテクチャー Flat Memory Interleave

L3キャッシュ Off-Chip 36MB/2コア

演算器/物理コア 乗加算器2つ

(2) SR16000/M1

プロセッサ:power7

周波数:3.83GHz

CPUコア数 32(物理的),64(論理的)

理論最大性能 980.48 GFLOPs

メモリ容量 256GB

メモリアーキテクチャー NUMA,(16論理コア単位でflat)

SIMD(Single Instruction Multiple Data)を

サポートするVSX機構付き

L3キャッシュ On-Chip 32MB/8コア

演算器/物理コア 乗加算器4つ

(3) SR16000/xm1

SR16000/xm1は周波数が3.3GHzで他はSR16000/M1と同じです。演算性能だけみれば,SR16000/M1 1ノードはSR16000/xm1の16%性能向上版ともいえます。またメモリ性能はSR16000/M1 の半分です。

この3機種では, (2) のSR16000/M1 がメインで (1) のSR11000/K1 は互換性,実行性能比を, SR16000/Xm1 はメモリ性能の影響と, smtの効果を見えています。

(4)BG/L

周波数 0.7GHz

1ノード 2 論理性能 5734.4 GFLOPs

L1キャッシュ 32KB(データ,命令),L2キャッシュ 2KB,L3キャッシュ4MB

(5) BG/Q

周波数 1.6GHz

1ノード 16core 論理性能 204.8GFLOPs

L1 キャッシュ 16/16KB (Core)

L2 32MB (node)

Main storage 16GB (Core)

Smt=1,2,4

(4), (5) に関してはメインは (5) で (4) は互換性を見えています。

(6) T2K 筑波システム

**AMD quad-core Opteron 8000 シリーズ
(Barcelona)**

1 node:ピーク性能

147GFLOPs, 16MPI/node

2.2 アクセラレータ

(1) HD5870

GPU カード型番:ATI RadeonHD5870

メモリ: GDDR5, 1 GB, 153.6 GB/s

ホストインタフェース: PCI Express 2.1
x16stream

processing unit: 3200個 (演算プロセッサ)

動作周波数: 850 MHz ピーク性能 (倍精度): 1088 Gflops

(2) HD6970

GPU カード型番:ATI RadeonHD6970

メモリ: GDDR5, 2 GB, 176 GB/s

processing unit: 6144個 (演算プロセッサ)

動作周波数: 880 MHz ピーク性能 (倍精度): 2703 Gflops

(3) グラフィックボード

HOST

E5-2670 2.60GHz 1cpu = 8core

キャッシュ 20MB

$2.6\text{GHz} \times 8 \times 8 = 166.4\text{GFLOPs}$ 2cpu

2cpu = 332.8GFLOPs

Xeon Phi5110P 1.053GHz

60コア,4スレッド/1core

$1.053\text{GHz} \times 60 \times 4 \times 4 = 1010.88\text{GFLOPs}$

2.3 サーバー

(1) x5570 8コア 2.93GHz

キャッシュ 8MB/コア

(2) e5430 16コア 2.66GHz

キャッシュ 12MB/コア

(3) 上記グラフィックボードのHOST

E5-2670もここに含めました。

3.基本演算

3.1 メモリバンド幅測定

| メモリバンドテスト | |
|-------------------|-------------------|
| copy | trans |
| do j = 1, N | do j = 1, N |
| do i = 1, N | do i = 1, N |
| a(i, j) = b(i, j) | a(i, j) = b(j, i) |
| end do | end do |
| end do | end do |

性能測定結果(MB/sec)

| N | 演算 | SR16000 | xm1 | E5-2670 | Phi5110P |
|------|-------|---------|--------|---------|----------|
| | | 32core | 32core | 16smp | 240smp |
| 8192 | copy | 216248 | 84717 | 25687 | 80130 |
| | trans | 3223 | 958 | 4692 | 8508 |
| 8193 | copy | 221165 | 78572 | 20112 | 78970 |
| | trans | 31387 | 7216 | 17959 | 10018 |

| | | | | | | |
|--------|-------------|---------|---------|---------|----------|--------|
| 詳細 | transは参照非連続 | | | | | |
| N=8192 | | | | | | |
| | 非連続 | sr16000 | sr16000 | E5-2670 | Phi5110P | |
| | 要素 | 32core | 64smp | 16smp | 240smp | |
| 連続 | なし | 216248 | 189155 | 25687 | 80130 | |
| 非連続 | 参照 | 3223 | 3082 | 4692 | 8508 | |
| 非連続 | 格納 | 2282 | 3461 | 5103 | 6927 | |
| 非連続 | 両方 | 871 | 1849 | 24912 | 10354 | |
| N=8193 | | | | | | |
| | 非連続 | sr16000 | sr16000 | E5-2670 | Phi5110P | |
| | 要素 | 32core | 64smp | 16smp | 240smp | |
| 連続 | なし | 221165 | 182590 | 20112 | 78970 | |
| 非連続 | 参照 | 31387 | 30856 | 17959 | 10018 | |
| 非連続 | 格納 | 56743 | 52338 | 20496 | 16833 | |
| 非連続 | 両方 | 54351 | 43623 | 18743 | 12710 | |
| xm1 | | | | | | |
| N=8192 | | | | | | |
| | 非連続 | smt2 | smt2 | smt4 | smt4 | smt4 |
| | 要素 | 32smp | 64smp | 32smp | 64smp | 128smp |
| 連続 | なし | 84717 | 86216 | 84754 | 84639 | 71859 |
| 非連続 | 参照 | 958 | 961 | 960 | 948 | 937 |
| N=8193 | | | | | | |
| | 非連続 | smt2 | smt2 | smt4 | smt4 | smt4 |
| | 要素 | 32smp | 64smp | 32smp | 64smp | 128smp |
| 連続 | なし | 78572 | 68711 | 78484 | 70198 | 79770 |
| 非連続 | 参照 | 7216 | 6328 | 6297 | 6078 | 6173 |

演算を含めた場合の結果

(MMAX=8193)

2D Copy

```
do j = 1,MMAX
do i = 1,MMAX
r(i,j)=p(i,j)
enddo
enddo
```

2D Scale

```
do j = 1,MMAX
do i = 1,MMAX
p(i,j)=scalar*q(i,j)
enddo
enddo
```

2D Add

```
do j = 1,MMAX
do i = 1,MMAX
q(i,j)=p(i,j)+r(i,j)
enddo
enddo
```

2D Triad

```
do j=1,MMAX
do i=1,MMAX
r(i,j) = p(i,j) + scalar*q(i,j)
enddo
enddo
```

Transpose

```
do j=1,MMAX
do i=1,MMAX
r(i,j)=p(j,i)
enddo
enddo
```

SR16000/XM1とSR16000/M1の2機種で測定していますが、約3倍の差があり、演算性能の差16%とは大きな差があります。特に、Transpose 64スレッドでの差が顕著です。

メモリバンド幅性能測定結果(MB/sec)

SR16000/XM1 MB/sec

| function | 1スレッド | 2スレッド | 4スレッド | 8スレッド | 16スレッド | 32スレッド | 64スレッド |
|-----------|-------|-------|-------|-------|--------|--------|--------|
| 2D Copy | 5070 | 8004 | 13786 | 27134 | 43057 | 68565 | 62532 |
| 2D Scale | 4682 | 7982 | 13707 | 27011 | 41294 | 61917 | 58637 |
| 2D ADD | 6563 | 11054 | 16604 | 32834 | 48544 | 78820 | 70376 |
| 2D Triad | 7307 | 12097 | 16954 | 33525 | 49752 | 77751 | 70680 |
| Transpose | 426 | 725 | 1470 | 2649 | 4883 | 3801 | 2866 |

SR16000/M1 MB/sec

| function | 1スレッド | 2スレッド | 4スレッド | 8スレッド | 16スレッド | 32スレッド | 64スレッド |
|-----------|-------|-------|-------|-------|--------|--------|--------|
| 2D Copy | 11661 | 23356 | 46292 | 92051 | 165536 | 138902 | 148588 |
| 2D Scale | 12528 | 25012 | 49218 | 97630 | 170661 | 140657 | 163474 |
| 2D ADD | 12918 | 25797 | 49839 | 97796 | 176648 | 151006 | 174514 |
| 2D Triad | 12680 | 25216 | 48697 | 96034 | 174808 | 149709 | 171588 |
| Transpose | 1052 | 2055 | 4072 | 7971 | 15921 | 16231 | 30540 |

3.2 rump's 例題

rump's例題とは、四則演算からなる簡単な計算で、有効ビット数が121ビット以上を要求する計算のため、精度、性能の検証によく使用されるものです。

$$a = 77617.0, b = 33096.0$$

$$f = 333.75b^6 + a^2(11a^2b^2 - b^6 - 121b^4 - 2) + 5.5b^8 + \frac{a}{2b}$$

$$a^2 = 5.5b^2 + 1 = 6024398689$$

$$a^2(11a^2b^2 - b^6 - 121b^4 - 2) = -5.5b^2 - 333.75b^6 - 2$$

$$\text{より, } f = -2 + \frac{a}{2b} = -\frac{54767}{66192} = -0.827396059946$$

3.2.1 ieee754-2008系

**拡張4倍精度：拡張倍精度変数を2つ
つなげたもの**

6倍精度：倍精度変数を3つつなげたもの

8倍精度：倍精度変数を4つつなげたもの

| rump例題テスト結果 | | | | | |
|-------------|----------------|---------------|-------------|---------------------|-------|
| e5430 | 実行結果一覧表 | | | | |
| | 実行回数 | 100,000,000 | | | |
| | 演算量 | 1.9GFLOP | (各精度) | | |
| | 精度 | 言語 | 実行時間 (秒) | smp実行時間 8smp(秒) | 台数効果 |
| | 拡張4倍精度 | icc(strict) | 45.5899 | 5.817464 | 7.84 |
| | 拡張4倍精度 | icc(extended) | 37.5245 | 4.7933 | 7.83 |
| | 6倍精度 | icc | 54.6475 | 6.9464 | 7.87 |
| | 6倍精度 | ifort | 55.4023 | 6.9807 | 7.94 |
| | 8倍精度 | icc | 125.8814 | 15.8532 | 7.94 |
| | 8倍精度 | ifort | 126.4694 | 15.7271 | 8.04 |
| t2k | 実行回数60,000,000 | | | | |
| | 演算量 | 1.14GFLOP | (各精度) | | |
| | 精度 | 言語 | 実行時間 (秒) | smp実行時間 16smp(秒) | 台数効果 |
| | 拡張4倍精度 | icc(strict) | 58.88582 | 3.7665 | 15.63 |
| | 拡張4倍精度 | icc(extended) | 50.962057 | 3.250428 | 15.68 |
| | 6倍精度 | icc | 48.549858 | 3.132938 | 15.5 |
| | 8倍精度 | icc | 113.161652 | 7.336832 | 15.42 |

**拡張4倍精度はextended オプション効果あり。
(両CPUで)**

Fortranとc++ での有意な性能差はない。

拡張4倍精度と6倍精度の性能は、

**e5430 は拡張4倍精度、T2kでは6倍精度
が良いという逆の傾向がでています。**

rump's 例題実行結果一覧

100,000,000回実行

実行時間(秒)

| | C | | FORTRAN | |
|---------|----------|----------|---------|----------|
| 精度 | E5-2670 | Phi5110P | E5-2670 | Phi5110P |
| | 16smp | 240core | 16smp | 240core |
| 拡張倍精度*2 | 1.949568 | 2.993835 | | |
| 6倍精度 | 2.391048 | 3.373063 | 2.3545 | 3.3367 |
| 8倍精度 | 5.514834 | 5.949745 | 5.3994 | 5.8646 |
| 10倍精度 | | | 17.7158 | 15.0406 |

rump例題実行時間(秒)一覧表

整数演算方式

| 精度 | E5-2670 | Phi5110P |
|-------|---------|----------|
| 5倍精度 | 6.7659 | 20.3040 |
| 6倍精度 | 8.2706 | 24.5392 |
| 7倍精度 | 10.0500 | 28.9972 |
| 8倍精度 | 12.9452 | 35.6017 |
| 10倍精度 | 17.0668 | 52.6718 |
| 12倍精度 | 25.2205 | 78.2484 |
| 14倍精度 | 32.5928 | 102.1592 |
| 16倍精度 | 39.9565 | 127.1153 |

Phi5110Pのthreads/core実行時間(秒)

改良版

| threads | 10倍精度 | 12倍精度 |
|---------|---------|----------|
| 1 | 81.3013 | 124.3947 |
| 2 | 60.6723 | 92.7562 |
| 3 | 57.7494 | 86.7546 |
| 4 | 52.6718 | 78.2484 |

DD形式(一般サブルーチン使用)

| 精度 | E5-2670 | Phi5110P |
|-------|---------|----------|
| | 16smp | 240core |
| 10倍精度 | 15.8159 | 27.9302 |
| 12倍精度 | 27.7419 | 46.7320 |
| 14倍精度 | 46.8211 | 70.7831 |
| 16倍精度 | 72.6414 | 107.0264 |

**E5 – 2670とPhi5110Pの性能に
関しては, DD形式では, 8倍精度
演算で性能が逆転する。**

**またDD形式と整数演算方式では
E5 – 2670において10倍精度演算で
性能が逆転しています。**

**Phi5110Pでは, 最適化オプションで
opt3とoptsで使用メモリ量が大きく変わる
ので, 基本的にはopt3で実行するのが良い。
またレジスタの問題で整数演算方式では
演算量が多くなると, 最適化が妨げられる
事があります。**

| E5-2660 rump's 例題実行時間一覧表 | | | | | |
|--------------------------|---------|---------------------|--------|--------|--------|
| | | | | | |
| | | 100,000,000回実行の実行時間 | | | |
| | | (実行時間:秒) | | | |
| smp数 | 拡張倍精度*2 | 6倍精度 | 6倍精度 | 8倍精度 | 8倍精度 |
| | C | C | F | C | F |
| 1 | 27.615 | 38.205 | 33.162 | 96.057 | 78.723 |
| 2 | 13.852 | 19.391 | 16.626 | 48.815 | 39.568 |
| 4 | 7.248 | 10.081 | 8.607 | 25.221 | 20.414 |
| 8 | 4.315 | 5.367 | 4.643 | 13.546 | 10.986 |
| 16 | 3.038 | 3.729 | 3.517 | 7.131 | 8.288 |
| 32 | 2.257 | 3.562 | 2.755 | 7.803 | 6.412 |

**拡張倍精度*2 及び6倍精度FORTRANで
32smpの場合の性能が良い。**

3.2.2 POWER系

1スレッド実行

| | | | | |
|-----------|---------------|-------|------|-------|
| fma,nofma | SR16000/M1 | | | |
| | | | | |
| | 1,000,000 回実行 | | | |
| | | | | |
| コンパイラ | f90 | f90 | xlf | xlf |
| 精度 | fma | nofma | fma | nofma |
| | (秒) | (秒) | (秒) | (秒) |
| 4倍精度 | 0.241 | 0.249 | 0.15 | 0.21 |
| 6倍精度 | 0.514 | 0.453 | 0.31 | 0.39 |
| 8倍精度 | 0.937 | 0.849 | 0.56 | 0.73 |

8倍精度演算方式

QD方式:倍精度変数を4つつなげた方式
DQ方式:4倍精度変数を2つつなげた方式

(注)

- (1) DQ方式はQD方式より精度が悪くなる。
最悪の場合TD (倍精度変数を3つつなげたもの) と同じ精度になる。
- (2) ieee754-2008でのDQ方式の有効ビット数は226ビットで、DD方式のQD方式より精度が良い。

| Rump's例題8倍精度演算 | | |
|----------------------|-------|--------|
| 100,000,000回実行の時間(秒) | | |
| SR16000/M1 1ノード実行 | | |
| smp数 | QD方式 | DQ方式 |
| 1 | 99.22 | 334.01 |
| 2 | 52.95 | 168.78 |
| 4 | 31.49 | 86.83 |
| 8 | 36.55 | 47.55 |
| 16 | 45.68 | 42.06 |
| 32 | 54.52 | 47.67 |
| 64 | 49.09 | 43.3 |

4.2.3 超多倍長演算

多倍長rump's例題一覧表

1,000,000回実行

実行時間一覧表(秒)

E5-2670

| 演算精度 | 16smp | 8smp | 4smp | 2smp | 1smp |
|--------|----------|----------|----------|-----------|-----------|
| 68倍精度 | 11.9698 | 23.8582 | 47.8585 | 95.5189 | 191.5384 |
| 128倍精度 | 42.3808 | 84.7253 | 169.0772 | 338.4619 | 677.3167 |
| 188倍精度 | 89.0890 | 177.8675 | 355.6048 | 711.6836 | 1425.8922 |
| 248倍精度 | 152.0543 | 303.7099 | 607.2627 | 1214.3922 | 2438.3971 |
| 308倍精度 | 248.2340 | | | | |
| 368倍精度 | 355.4690 | | | | |
| 428倍精度 | 476.9385 | | | | |
| 488倍精度 | 617.0996 | | | | |
| 548倍精度 | 833.8722 | | | | |

Phi5110P

4smp/core

| 演算精度 | 240smp | 180smp | 120smp | 60smp |
|--------|-----------|----------|----------|-----------|
| 68倍精度 | 46.3840 | 48.7955 | 50.8138 | 69.1542 |
| 128倍精度 | 156.0239 | 178.3118 | 181.1152 | 244.4755 |
| 188倍精度 | 331.2860 | 378.7431 | 384.5338 | 525.7136 |
| 248倍精度 | 585.7436 | 669.6312 | 694.6440 | 938.0996 |
| 308倍精度 | 966.5418 | | | |
| 368倍精度 | 1378.1645 | | 68倍精度 | |
| 428倍精度 | 1859.8102 | | 4smp | 1smp |
| 488倍精度 | 2410.4360 | | 868.7135 | 3463.0626 |
| 548倍精度 | 3244.1159 | | | |

ともに並列化効果は出ていますが,E5-2670の効果が大きくなっています。

4.3 行列積,ストラッセン行列積

計算機の基本性能を見る演算としては行列積計算が適しています。

ここでは倍精度演算をSR16000/M1 SR16000/XM1,BG/Qでその特徴を検証し倍精度以外の行列積計算をサーバー系を含めてその性能を見えています。

ストラッセン行列積は行列積演算の演算量削減方法と知られていて,連立一次方程式の求解や後に示すルジャンドル陪関数を用いた計算にも適用が試みられています。

このためその演算量削減効果と実行時間短縮の効果をSR16000/M1を使用して検証しています。

3.3.1 行列積計算

3.3.1.1 SR16000/M1 システム

行列積計算を行う場合、行列のサイズNが小さい場合、3つの行列すべて合わせてもキャッシュに収まる範囲にあります。

行列積計算で $C = A^T B$ を実行する場合の
総メモリ所要量

| N | 実数型 | 複素数型 |
|-----|--------|-------|
| 32 | 24KB | 48KB |
| 64 | 96KB | 192KB |
| 96 | 216KB | 432KB |
| 128 | 384KB | 768KB |
| 256 | 1536KB | 3MB |
| 512 | 6MB | 12MB |
| 768 | 13.5MB | 27MB |

赤色 L1D内に収まる。

緑色 L2内に収まる。

紫色 L3内に収まる。

$N > 100$ (3桁) でキャッシュチューニングが重要となる。

キャッシュチューニングの際、内積型計算を使用する場合
 主要演算時の所要メモリ量 $N(N+2) \times 8$ or 16 が
 2MB以下に抑える事が重要になります。

主要演算時の所要メモリ量

実数型 $N \times (N + 2) \times 8$ バイト

複素数型 $N \times (N + 2) \times 16$ バイト

| N | 実数型 | 複素数型 |
|-----|--------|--------|
| 31 | 8KB | 16KB |
| 63 | 32KB | 64KB |
| 64 | 33KB | 66KB |
| 100 | 80KB | 160KB |
| 192 | 291KB | 582KB |
| 256 | 516KB | 1032KB |
| 289 | 657KB | 1314KB |
| 384 | 1158KB | 2316KB |

SR16000/M1 1ノードで内積型行列積計算で 性能が出る条件

- (1) *simd*命令が適用される。
- (2) 最内側ループ(k)内の演算で24の乗加算命令が適用される
- (3) 最外側ループ(j)のループ長が $4 \times 32 = 128$ の倍数
- (4) 中間のループ(i)のループ長が 6×2^n の倍数
- (5) 主要演算時の所要メモリ量が2MB以下

**実数型では $N=384$ が上記すべての条件を満たす。
複素数型ではすべてをみたすサイズはないので
 N に応じて最適なものを探します。**

**これらの事から N が3桁でも実数型では $N=504$,
複素数型では $N=360$ を境にチューニング手法を
変える必要が出てきます。**

実数型行列積計算

実数型行列積計算性能一覧表

内積タイプとは、以下の3重DO ループで

DO $j = 1, n, lj$

DO $i = 1, n, li$

DO $k = 1, n$

$lj * li$ で示しています。

1ノード smt=off,smp=32 実行結果一覧

| N | 内積タイプ | GFLOPs |
|-----|-------|---------|
| 32 | 1*16 | 425.109 |
| 64 | 2*8 | 645.747 |
| 96 | 3*8 | 725.319 |
| 128 | 4*4 | 807.875 |
| 128 | 4*8 | 807.924 |
| 192 | 6*6 | 827.583 |
| 288 | 3*6 | 800.614 |
| 384 | 4*6 | 860.561 |

定義式どうりのソースでの結果(lj=1,li=1)

| N | 32smp | 64smp |
|-----|---------|---------|
| 31 | 105.78 | 91.080 |
| 61 | 145.624 | 221.050 |
| 67 | 210.445 | 211.297 |
| 97 | 253.611 | 320.202 |
| 127 | 333.003 | 424.066 |

性能向上要件 (5) のテスト

$$N \times (N + 2) \times 8 \text{バイト} \leq 2 \text{MB}$$

での実数型行列積計算
の性能

1ノード`smt=off,32smp

| 内積タイプ | N=480 | N=504 |
|-------|-------|---------|
| 4*6 | 819 | 833.002 |
| 6*6 | 739 | 780.324 |
| 4*8 | 813 | 849.898 |
| 4*4 | 827 | 831.878 |

複素数変数行列積計算

複素数型行列積計算性能一覧表

内積タイプとは、以下の3重DO ループで

DO $j = 1, n, lj$

DO $i = 1, n, li$

DO $k = 1, n$

$lj * li$ で示しています。

1ノード smt=off,smp=32 実行結果一覧

| N | 内積形式 | GFLOPs |
|-----|------|---------|
| 32 | 1*16 | 227.796 |
| 64 | 2*4 | 454.764 |
| 64 | 2*8 | 451.572 |
| 96 | 3*4 | 602.258 |
| 128 | 4*4 | 470.995 |
| 192 | 3*6 | 677.963 |
| 192 | 3*4 | 719.704 |
| 192 | 6*3 | 817.149 |
| 288 | 9*1 | 774.796 |
| 288 | 3*6 | 739.758 |
| 288 | 3*4 | 809.752 |

定義式通りのソースでの結果(lj=1,li=1)

| N | 32smp | 64smp |
|-----|---------|---------|
| 31 | 86.505 | 76.377 |
| 61 | 254.475 | 305.272 |
| 67 | 191.442 | 182.165 |
| 97 | 206.989 | 262.580 |
| 127 | 273.559 | 348.667 |

3.3.1.2 xm1システム

smt=4の効果検証

検証は複素数変数行列積と実数変数行列積計算で
*simd, nosimd*で行いました。

(1) 複素行列積 $C = (A^T B)^T \bar{A}$ を28000回計算する。

定義式どりに計算する複素数変数プログラム *CMULT*

実数変数で定義どりに計算するプログラム *RMULT*

*RMULT*は *simd, nosimd* で計算

(2) 実行行列積 $C = A^T B$ を計算する。

実行回数は $N = 288,384$ 100,000回

$N = 480,504$ 10,000回

アンローリング数は最外側4, 中間6

プログラムは *MULTIN*

実数変数行列積計算 $C = A^T B$

multin 4*6タイプ simd

N=384, 演算量=11325GFLOP
実行時間(秒)一覧表

| smp数 | 実行時間 | GFLOPs |
|------|--------|--------|
| 32 | 16.436 | 689 |
| 64 | 34.195 | 331 |
| 96 | 24.207 | 468 |
| 128 | 25.639 | 442 |

N=288 演算量=4478GFLOP
実行時間(秒)一覧表

| smp数 | 実行時間 | GFLOPs |
|------|--------|--------|
| 32 | 10.116 | 443 |
| 64 | 18.239 | 246 |
| 72 | 14.379 | 311 |
| 96 | 13.047 | 343 |
| 128 | 17.722 | 253 |

N=480 演算量=2212GFLOP
N=504 演算量=2560GFLOP
実行時間(秒)一覧表

| smp | n=480 | n=480 | n=504 | n=504 |
|-----|-------|--------|-------|--------|
| | 実行時間 | GFLOPs | 実行時間 | GFLOPs |
| 32 | 3.477 | 636 | 3.802 | 673 |
| 64 | 5.626 | 393 | 5.816 | 440 |
| 96 | 6.898 | 321 | 7.566 | 338 |
| 128 | 6.055 | 365 | 6.650 | 385 |

最高性能一覧表

| N | GFLOPs | 実行効率(%) |
|-----|--------|---------|
| 288 | 443 | 52 |
| 384 | 689 | 82 |
| 480 | 636 | 75 |
| 504 | 673 | 80 |

最高性能はSR16000/M1と同じN=384で達成

32smpでのsmt=2,smt=4の性能比較

smt = 2とsmt = 4での32smp性能比較

内積タイプ 4*6

| N | smt=2 | | | smt=4 | | |
|-----|---------|--------|----------|---------|--------|----------|
| | 演算量 | 実行時間 | 性能 | 演算量 | 実行時間 | 性能 |
| | (GFLOP) | (秒) | (GFLOPs) | (GFLOP) | (秒) | (GFLOPs) |
| 288 | 4478 | 11.301 | 396 | 4478 | 10.116 | 443 |
| 384 | 11325 | 17.645 | 643 | 11325 | 16.436 | 689 |
| 408 | 1358 | 2.651 | 512 | 1358 | 2.771 | 490 |
| 432 | 1612 | 2.838 | 568 | 1612 | 2.927 | 488 |
| 456 | 1896 | 3.626 | 523 | 1896 | 3.394 | 559 |
| 480 | 2212 | 3.638 | 608 | 2212 | 3.599 | 615 |
| 504 | 2560 | 4.02 | 637 | 2560 | 3.802 | 673 |
| 528 | 2944 | 5.39 | 546 | 2944 | 5.351 | 560 |
| 768 | 9060 | 66.18 | 137 | 9060 | 58.292 | 155 |

内積タイプ 3*4

| N | smt=2 | | | smt=4 | | |
|-----|---------|--------|----------|---------|-------|----------|
| | 演算量 | 実行時間 | 性能 | 演算量 | 実行時間 | 性能 |
| | (GFLOP) | (秒) | (GFLOPs) | (GFLOP) | (秒) | (GFLOPs) |
| 192 | 1416 | 3.269 | 433 | 1416 | 3.008 | 471 |
| 288 | 4478 | 12.048 | 372 | 4478 | 8.869 | 505 |

複素変数行列積計算 $C = (A^T B)^T \bar{A}$

N=289,演算量=10814GFLOP
実行時間(秒)一覧表

| smp数 | rmult | rmult | cmult | cmult |
|------|--------|---------|--------|--------|
| simd | on | off | on | off |
| 32 | 44.887 | 193.428 | 71.381 | 50.786 |
| 64 | 39.372 | 206.027 | 58.254 | 60.995 |
| 97 | 46.455 | 84.652 | 62.35 | 51.837 |
| 128 | 64.086 | 84.476 | 72.36 | 52.887 |

N=288,演算量=10702GFLOP
実行時間(秒)一覧表

| smp数 | rmult | rmult | cmult | cmult |
|------|--------|---------|--------|--------|
| simd | on | off | on | off |
| 32 | 31.299 | 87.594 | 56.235 | 87.081 |
| 64 | 36.029 | 107.324 | 58.964 | 67.362 |
| 96 | 30.183 | 159.467 | 46.902 | 48.036 |
| 128 | 34.372 | 110.544 | 55.66 | 86.615 |

N=31,演算量=13.346368GFLOP
実行時間(秒)一覧表

| smp数 | rmult | rmult | cmult | cmult |
|------|-------|-------|-------|-------|
| | on | off | on | off |
| 32 | 0.124 | 0.176 | 0.189 | 0.193 |
| 64 | 0.155 | 0.205 | 0.212 | 0.212 |
| 96 | 0.195 | 0.236 | 0.395 | 0.219 |
| 128 | 0.321 | 0.219 | 0.434 | 0.261 |

Smp数32,96が良い値となっています。

3.3.1.3 BG/Qシステム

複素数変数行列積計算

$$C^T = A^T B$$

の計算を複素数変数のままと、実数変数に直した場合を実行。

SIMD命令を適用させるため、

–qstrict オプションは外しています。

測定条件は

1ノード openmpによる並列化

bg 複素変数行列積

$$C^T = A^T B$$

-O5 -qarch = qp -qtune = qp -qcache = auto
-qhot = level = 2 -qipa = level = 2 -qsimd = auto
-qsmp = omp

複素数型

実行時間一覧表(秒)

| n | 演算量 (GFLOP) | タイプ | 16smp | 32smp | 48smp | 64smp |
|-----|----------------|------|---------|---------|--------|---------|
| 32 | 734 | 1*16 | 78.359 | 97.998 | | |
| 64 | 587 | 2*8 | 25.179 | 22.174 | | |
| 96 | 198 | 3*4 | 4.094 | 3.930 | 3.831 | |
| 128 | 470 | 2*4 | 10.283 | 11.250 | | 8.200 |
| 192 | 1585 | 3*4 | 32.378 | 25.078 | 22.773 | 22.917 |
| 288 | 5351 | 3*4 | 102.125 | 64.950 | 70.568 | |
| 384 | 12684 | 3*4 | 231.934 | 154.786 | | 156.162 |

(注)48smpでは,96,192はタイプ2*4にしている。

最高性能は82GFLOPs

bg 複素変数行列積

$$C^T = A^T B$$

-O3-qarch = qp -qtune = qp -qcache = auto -qhot = level = 1
-qipa = level = 1
-qsimd = auto -qsmp = omp

複素数型

実行時間一覧表(秒)

| n | 演算量 (GFLOP) | タイプ | 16smp | 32smp | 48smp | 64smp |
|-----|----------------|-----|---------|---------|--------|---------|
| 96 | 198 | 3*4 | 4.075 | 3.448 | 3.673 | |
| 128 | 470 | 2*4 | 10.155 | 7.928 | | 8.123 |
| 192 | 1585 | 3*4 | 32.373 | 20.034 | 22.314 | 20.523 |
| 256 | 3758 | 2*4 | 81.983 | 49.812 | | 57.069 |
| 288 | 5351 | 3*4 | 100.029 | 63.432 | 70.078 | |
| 384 | 12684 | 3*4 | 238.699 | 153.374 | | 155.539 |

(注)48smpでは,96,192はタイプ2*4にしている。

性能は84GFLOPs,83GFLOPsと-O5の場合より少し良くなっています。(誤差の範囲)

bg 複素変数行列積

$$C^T = A^T B$$

- O5 -qarch = qp -qtune = qp -qcache = auto
- qhot = level = 2 -qipa = level = 2 -qsimd = auto
- qsmp = omp

実数型

実行時間一覧表(秒)

| n | 演算量 (GFLOP) | タイプ | 16smp | 32smp | 48smp | 64smp |
|-----|----------------|------|---------|---------|--------|---------|
| 32 | 734 | 1*16 | 125.247 | 124.539 | | |
| 64 | 587 | 2*8 | 19.187 | 20.635 | | |
| 96 | 198 | 3*4 | 4.894 | 4.909 | 5.200 | |
| 128 | 470 | 2*4 | 10.513 | 10.522 | | 10.205 |
| 192 | 1585 | 3*4 | 43.199 | 33.340 | | 24.860 |
| 288 | 5351 | 3*4 | 123.406 | 106.704 | 87.407 | |
| 384 | 12684 | 3*4 | 263.06 | 256.902 | | 187.866 |

(注)48smpでは,96,192はタイプ2*4にしている。

**ソースはSR16000/M1, XM1と同じものを使用。
性能は64GFLOPs, 61GFLOPs, 68GFLOPsと
複素変数の場合に比べて有意に劣っています。**

3.3.1.4 各種演算精度の 行列積計算

比較はSR16000 1ノード (32core,64smp),ES-2670 16smp, Phi5110P 240core で実施しています。最も多くのケースを実施したのは行列サイズN=240,N=480の1000回実行です。Cは,ES-2670,Phi5110Pで倍精度,拡張倍精度,拡張倍精度+拡張倍精度のケースを行っています。名称はそれぞれDouble,exdouble,ddexdoubleとしています。FORTRANはSR16000,ES-2670,Phi5110Pで倍精度multd,4倍精度(ieee754-2008データ形式) multq,dd形式4倍精度ddmultd,dd形式の6倍精度,8倍精度,10倍精度,それぞれmult6,mult8,mult10です。SR16000では特にmultd,multqは実施していません。また比較という事で,テストプログラムは定義式どうりのコーディングでアンローリング,キャッシュチューニング等は実施していません。演算量は以下の様になっています。

| 演算量(GFLOP)一覧 | | |
|--------------|-------|-------|
| | | |
| プログラム | N=240 | N=480 |
| multd | 28 | 221 |
| ddmultd | 470 | 3760 |
| mult6 | 1849 | 14789 |
| mult8 | 3866 | 30928 |
| mult10 | 8657 | 69265 |

行列サイズN=240の結果は以下の様になっています。

| 行列積N=240,1000回実行の性能比較 | | | | |
|-----------------------|---------|--------|----------|---------|
| 実行時間(秒) | | | | |
| プログラム | SR16000 | | phi5110P | E5-2670 |
| | 32core | 64smp | 240smp | 16smp |
| multd | | | 1.824 | 0.403 |
| ddmultd | 7.360 | 3.753 | 2.952 | 5.618 |
| multq | | | 54.771 | 26.297 |
| double | | | 1.941 | 0.421 |
| exdouble | | | 5.735 | 2.663 |
| ddexdouble | | | 71.820 | 55.966 |
| mult6 | 21.274 | 14.789 | 20.972 | 26.144 |
| mult8 | 37.599 | 24.575 | 33.496 | 56.351 |
| mult10 | 79.776 | 53.658 | 86.748 | 210.930 |

- (1) dd形式4倍精度はphi5110Pは高速
- (2) dd形式6倍精度,8倍精度,10倍精度はSR16000 32coreとphi5110Pの性能が同等。
- (3) CとソフトウェアサポートルーチンはE5-2670が高速。

行列サイズN=480の結果は以下の様になっています。

| 行列積N=480,1000回実行の性能比較 | | | | |
|-----------------------|---------|---------|----------|----------|
| 実行時間(秒) | | | | |
| プログラム | SR16000 | | phi5110P | E5-2670 |
| | 32core | 64smp | 240smp | 16smp |
| multd | | | 3.445 | 3.204 |
| ddmultd | 55.214 | 29.658 | 11.212 | 44.669 |
| multq | | | 469.772 | 209.251 |
| double | | | 3.728 | 3.196 |
| exdouble | | | 31.246 | 21.076 |
| ddexdouble | | | 256.872 | 191.585 |
| mult6 | 164.514 | 119.144 | 159.443 | 205.080 |
| mult8 | 289.634 | 196.611 | 285.541 | 460.643 |
| mult10 | 605.880 | 436.391 | 688.837 | 1686.164 |

性能比較の傾向はN=240の場合と全く同じ。

各種行列積計算の性能は以下の様になっています。

| 各種行列積計算性能比較表 | | | | | | | |
|--------------|----------|--------|----------|------------|--------|---------|--|
| 実行時間一覧表(秒) | | | | | | | |
| N | CPU | double | exdouble | ddexdouble | multd | ddmultd | |
| 240 | E5-2670 | 0.421 | 2.663 | 55.966 | 0.403 | 5.618 | |
| | Phi5110P | 1.941 | 5.735 | 71.820 | 1.824 | 2.952 | |
| 480 | E5-2670 | 3.196 | 21.076 | 191.585 | 3.204 | 44.669 | |
| | Phi5110P | 3.728 | 31.246 | 256.872 | 3.445 | 11.212 | |
| 720 | E5-2670 | 17.364 | 70.782 | 485.278 | 19.230 | 150.859 | |
| | Phi5110P | 11.141 | 103.516 | 948.543 | 10.315 | 35.615 | |
| 960 | E5-2670 | 40.647 | 204.819 | 1035.046 | 45.322 | 357.364 | |
| | Phi5110P | 25.932 | 253.483 | 2284.650 | 25.001 | 116.462 | |
| 1200 | E5-2670 | 79.576 | 369.371 | 1890.814 | 88.222 | 720.564 | |
| | Phi5110P | 56.584 | 564.900 | 4642.316 | 57.053 | 241.207 | |

- (1) 倍精度ではc,FORTRANともN=720でPhi5110P の性能がE5-2670を上回ります。**
- (2) 拡張倍精度はすべてE5-2670の性能が上回っています。**
- (3) SR16000の4倍精度では,Phi5110Pが非常に効力を発揮する事がわかります。**

これに関連した計算は以下の様になっています。

4倍精度行列積計算

N=256 1回の実行時間

SR16000 singleジョブ

92.638 msec ieeequad 8704.767 msec

x5570

double+double 457.259 msec

extend double +extend double 734.146 msec

e5430 gcc

double+double 652.392 msec

extend double +extend double 759.277 msec

e5430 icc

double+double 309.527 msec

extend double +extend double 621.636 msec

**Phi5110P 240smpがSR16000 1ノードより
高速という結果と合わせPhi5110Pが有効な事
がわかります。**

6倍精度,8倍精度,10倍精度行列積計算

SR16000/M1 1ノード実行

コンパイルオプションは

-W0,' opt (o (s) ,disbracket (0)) '

opt (o (ss)) にしたり、disbracket (0) を外すと結果不正となります。

行列積テスト結果一覧表

N=100,1000回実行時間(秒)

| 精度 | single | 32core | 64smp |
|-------|---------|--------|-------|
| 6倍精度 | 46.315 | 1.877 | 1.304 |
| 8倍精度 | 80.729 | 3.285 | 2.14 |
| 10倍精度 | 188.761 | 7.58 | 5.275 |

- (1) 並列化効果はよくでている。
- (2) 8倍精度はSIMDがよく効いているので他の2つの精度に比べ演算数比率より性能が良い。(8倍精度は4つの倍精度変数を扱うため。)

4.3.2 ストラスセンの行列積

代表的な例でその計算方法と演算量を示しました。

$$C = AB$$

$$A = \left(\begin{array}{c|c} A_{11} & A_{12} \\ \hline A_{21} & A_{22} \end{array} \right), B = \left(\begin{array}{c|c} B_{11} & B_{12} \\ \hline B_{21} & B_{22} \end{array} \right), C = \left(\begin{array}{c|c} C_{11} & C_{12} \\ \hline C_{21} & C_{22} \end{array} \right)$$

$$P_1 = (A_{11} + A_{22})(B_{11} + B_{22})$$

$$P_2 = (A_{21} + A_{22})B_{11}$$

$$P_3 = A_{11}(B_{12} - B_{22})$$

$$P_4 = A_{22}(B_{21} - B_{11})$$

$$P_5 = (A_{11} + A_{12})B_{22}$$

$$P_6 = (A_{21} - A_{11})(B_{11} + B_{12})$$

$$P_7 = (A_{12} - A_{22})(B_{21} + B_{22})$$

$$C_{11} = P_1 + P_4 - P_5 + P_7$$

$$C_{12} = P_3 + P_5$$

$$C_{21} = P_2 + P_4$$

$$C_{22} = P_1 + P_3 - P_2 + P_6$$

m 段目の行列積の回数 M_m , 行列和の回数 A_m

$$M_0 = 1, A_0 = 0$$

$$M_m = 7M_{m-1}, A_m = 18M_{m-1} + A_{m-1}$$

$$M_m = 7^m, A_m = 3(7^m - 1)$$

もとの行列のサイズ N , m 段目は $\frac{N}{2^m}$

演算量 通常 of 行列積 $2N^3$

$$\text{strassen} \quad 2\left(\frac{7}{8}\right)^m N^3 + \frac{3(7^m - 1)}{4^m} N^2$$

$$\text{演算量比} = \frac{N}{\left(\frac{7}{8}\right)^m N^3 + \frac{3}{2} \frac{(7^m - 1)}{4^m} N^2} \doteq \frac{8^m N}{7^m (N + 3 \times 2^{m-1})} \doteq \left(\frac{8}{7}\right)^m$$

strassenの行列積の演算量は通常 of 行列積の $\left(\frac{7}{8}\right)^m$

となり、数学的には、strassenの行列積の演算量は $N^{2.807}$ に比例すると言えます。

演算量に関して

strassenの行列積 性能一覧表

SR16000/M1

—Oss N=65536 smt on 64smp/32core

プログラムの性能(GFLOPs)

演算量 $2 \times N^3$ (FLOP) / 実行時間(秒)

| 段数 | プログラム (GFLOPs) | モニター (GFLOPs) | 実行時間 (秒) |
|----|-------------------|------------------|-------------|
| 0 | 304.764 | 305.839 | 1847.162 |
| 1 | 343.957 | 302.132 | 1636.684 |
| 2 | 377.379 | 290.097 | 1491.735 |
| 3 | 407.541 | 274.253 | 1381.331 |
| 4 | 454.6 | 267.381 | 1238.34 |
| 5 | 556.783 | 287.836 | 1011.074 |
| 6 | 461.391 | 210.794 | 1220.112 |
| 7 | 300.128 | 121.916 | 1875.696 |

見かけ上の性能値と論理最大性能

| ストラッセン行列積性能一覧表 | | | | |
|--|------------|-----|-----------------|--------------------|
| | | | | |
| | SR16000/M1 | | smt=off | |
| | | | | |
| 測定値(GFLOPs) 演算量 $2 \times N^3$ (FLOP) / 実行時間(秒) | | | | |
| | | | | |
| N | 段数 | smp | 測定値 (GFLOPs) | 論理最大性能 (GFLOPs) |
| 38400 | 4 | 8 | 254.12 | 245.12 |
| 38400 | 4 | 32 | 536.70 | 980.48 |
| 46080 | 3 | 8 | 255.76 | 245.12 |
| 46080 | 3 | 32 | 726.88 | 980.48 |
| 61440 | 4 | 8 | 307.47 | 245.12 |
| 61440 | 4 | 12 | 408.76 | 367.68 |
| 61440 | 4 | 16 | 589.95 | 490.24 |
| 61440 | 4 | 20 | 586.77 | 612.80 |
| 61440 | 4 | 24 | 600.06 | 735.36 |
| 61440 | 4 | 28 | 578.24 | 857.92 |
| 61440 | 4 | 32 | 1027.31 | 980.48 |
| 61440 | 5 | 8 | 292.72 | 245.12 |
| 61440 | 5 | 16 | 510.21 | 490.24 |

4.実アプリケーション

4.1 重力多体問題 (N体問題)

重力多体問題は

$$\vec{F}_i = Gm_i \sum_{j \neq i} \frac{m_j}{r_{ij}^3} \vec{r}_{ij} \quad r_{ij} = |\vec{r}_i - \vec{r}_j|$$

G : 万有引力定数, m_i : 粒子 i の質量

\vec{r}_i : 粒子 i の位置, \vec{F}_i : 粒子 i にかかる力

で計算します。

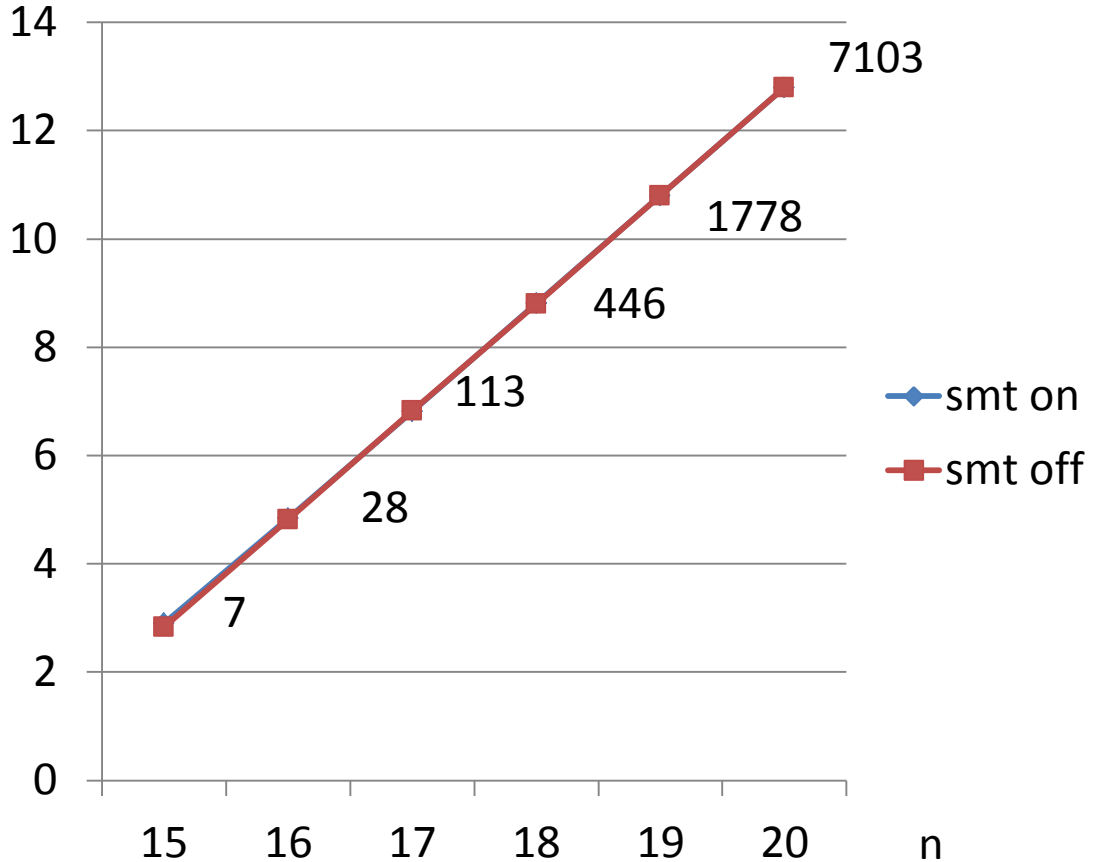
演算精度は倍精度でSIMD命令が適用されます。

演算量は粒子数 N の二乗に比例します。

4.1.1 SR16000/M1 システム

4ノードでフラットMPIでSMT ON、SMT OFFの場合の結果です。演算量が $N=2^{**}n$ の二乗に比例しますので、実行時間は \log_2 スケールで表しています。タイムステップ数は100です。

Log2(実行時間(秒))



粒子数 $N=2^{**}n$

SMT ON,OFF での実行時間に有意差は見られません。

また、フラットMPIとハイブリッドの差を $N=2^{**}18, 2^{**}20$ で調べた結果は以下の様になりました。

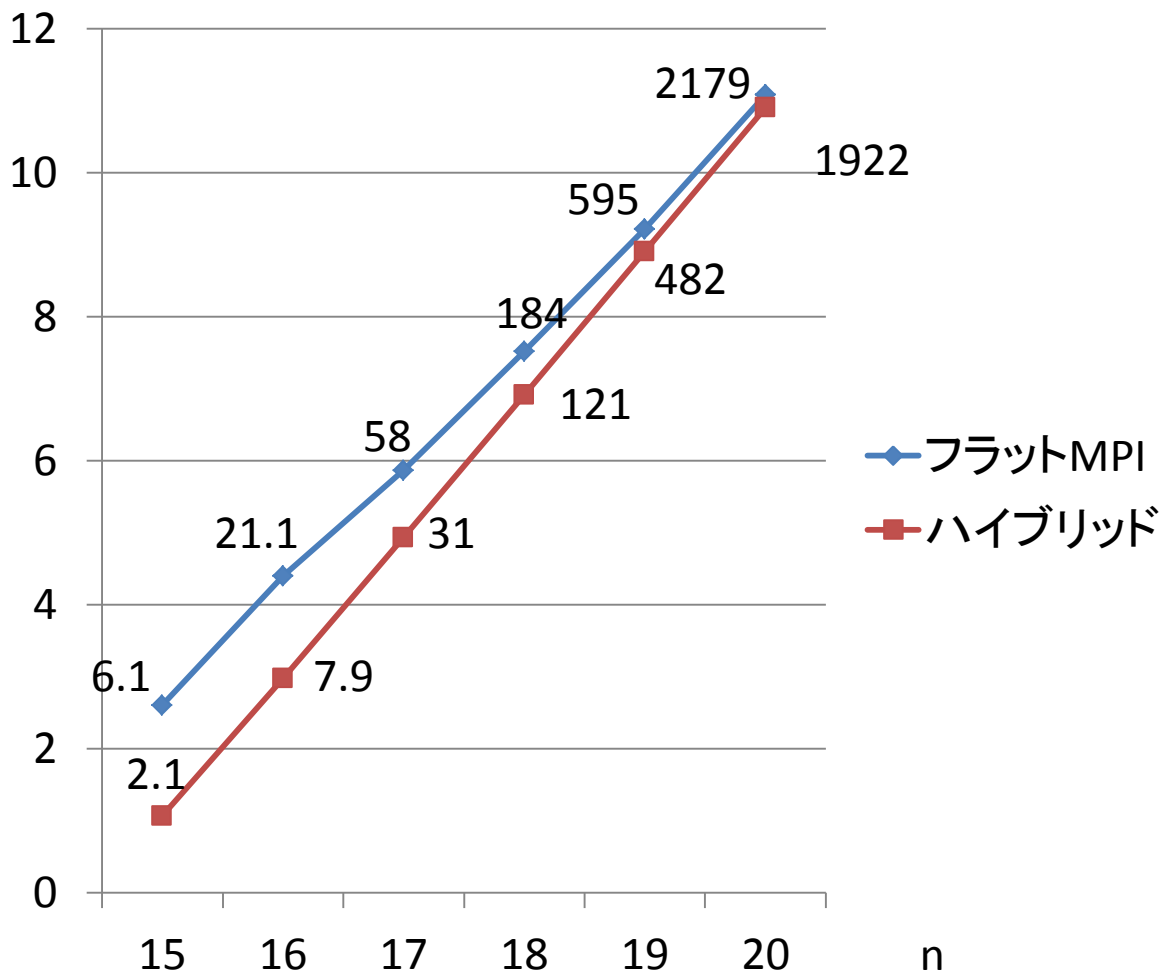
| サイズ $2^{**}n$ | smp数 | task数 | ノード数 | 実行時間(秒) |
|---------------|------|-------|------|---------|
| 20 | 1 | 256 | 8 | 3599 |
| 20 | 1 | 512 | 8 | 3612 |
| 20 | 32 | 8 | 8 | 3603 |
| 20 | 64 | 8 | 8 | 3604 |
| 20 | 8 | 32 | 8 | 3593 |
| 20 | 8 | 64 | 8 | 3607 |
| | | | | |
| サイズ $2^{**}n$ | smp数 | task数 | ノード数 | 実行時間(秒) |
| 18 | 1 | 256 | 8 | 224 |
| 18 | 1 | 512 | 8 | 231 |
| 18 | 32 | 8 | 8 | 222 |
| 18 | 64 | 8 | 8 | 228 |
| 18 | 8 | 32 | 8 | 222 |
| 18 | 8 | 64 | 8 | 223 |

フラットMPIとハイブリッドでも実行時間に有意差は見られません。

4.1.2 BG/Q システム

領域分割をせずに並列実行する場合、粒子数 $N=2^{15}=32768$ から $N=2^{20}=1048576$ とすると1スレッド当たりの所要メモリ量が3.328MBから104MBため、**SMPとMPIのハイブリッド方式がフラットMPIより効果がでます**。演算量が N の二乗に比例するため、実行時間の軸は \log_2 を取っています。実行結果は以下の様になりました。タイムステップ数は100です。

Log2(実行時間(秒))



粒子数 $N=2^n$

4.1.3 各種計算機性能比較

使用した計算機は以下のものです。

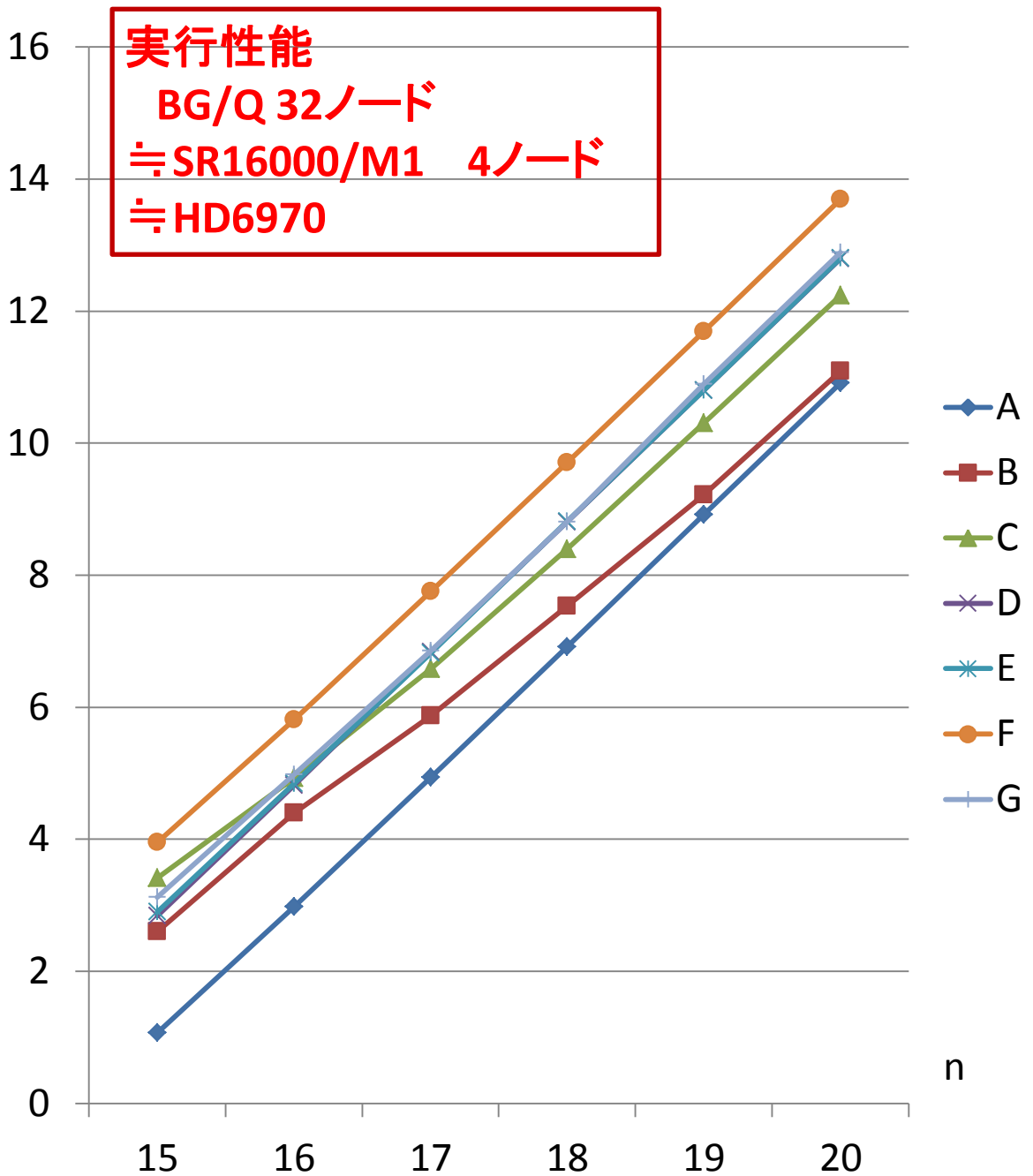
| 計算機 | | | | | | | |
|--------|-------------------------|----------|-----------|-------------|--|--|--|
| A | BG/Q 128node smp | | | | | | |
| B | BG/Q 128node 8192MPI | | | | | | |
| C | BG/Q 32node 2048MPI | | | | | | |
| D | SR16000/M1 4node 128MPI | | | | | | |
| E | SR16000/M1 4node 256MPI | | | | | | |
| F | HD5870 | 3200core | | | | | |
| G | HD6970 | 6144core | | | | | |
| | | | | | | | |
| | | | | | | | |
| HD6970 | 880MHz | 1536core | 683GFLOPs | 176GB/sec | | | |
| HD5870 | 850MHz | 1600core | 544GFLOPs | 153.6GB/sec | | | |
| | | | | | | | |

扱ったケースは、
演算量は可変で粒子数を変化させた場合と
演算量は一定で粒子数を変化させた場合を
扱っています。

4.1.3.1 演算量可変ケース

重力多体問題実行時間

log2(実行時間(秒))



粒子数 $N=2^{**}n$

5.1.3.2 演算量一定ケース

粒子数 $N = 1000, 4000, 10000$ で
タイムステップ数はそれぞれ, 10000,
625, 100として演算量を同じにして
(平方根計算あり270GFLOP, なし580GFLOP)
性能を比較. 演算は倍精度演算。
 $N = 1000$ の場合, 並列化オーバーヘッドにより
SR16000の性能が勝っているが,
 $N = 4000, 10000$ ではGPUの性能が勝っています。

またieee754-2008系の特徴でもある
拡張倍精度演算に関する結果も扱っています。

| N体問題実行結果一覧表(秒) | | | | |
|------------------------|---------------------|---------------------|---------------------|---------------------|
| 粒子数=1000,タイムステップ=10000 | | | | |
| 演算量(ソース)=500GFLOP | | | | |
| SR16000 1ノード | | | | |
| 32core | 64smp | 最適化 | | |
| 4.7332 | 4.7668 | OPT3 | | |
| 2.6379 | 2.6471 | SOPT | | |
| E5-2670 | 16smp | 16.0409 | | |
| 各種加速装置実行時間一覧表 | | | | |
| GPU | 1ボード (1smp/core) | 2ボード (2smp/core) | 3ボード (3smp/core) | 4ボード (4smp/core) |
| HD5870 | 24.0556 | 32.9047 | | |
| HD6970 | 30.4342 | 42.0839 | 52.2729 | 64.2911 |
| HD7970 | 41.0905 | | | |
| W8000 | 41.0614 | | | |
| HD7980 | 47.1802 | | | |
| Phi5110P | 4.2137 | 3.1891 | 2.8292 | 2.6806 |
| | | | | |
| | | | | |
| | | | | |
| | | | | |

| N体問題実行結果一覧表(秒) | | | | |
|----------------------|---------------------|---------------------|---------------------|---------------------|
| 粒子数=4000,タイムステップ=625 | | | | |
| 演算量(ソース)=500GFLOP | | | | |
| SR16000 | 1ノード | | | |
| 32core | 64smp | 最適化 | | |
| 4.2597 | 4.3365 | OPT3 | | |
| 2.6304 | 2.7826 | SOPT | | |
| E5-2670 | 16smp | 4.6922 | | |
| 各種加速装置実行時間一覧表 | | | | |
| GPU | 1ボード (1smp/core) | 2ボード (2smp/core) | 3ボード (3smp/core) | 4ボード (4smp/core) |
| HD5870 | 4.6126 | 5.2407 | | |
| HD6970 | 5.2541 | 6.0501 | 6.8695 | 7.7215 |
| HD7970 | 7.8925 | | | |
| W8000 | 8.0438 | | | |
| HD7980 | 8.7800 | | | |
| Phi5110P | 3.1736 | 1.9231 | 1.6821 | 1.3974 |
| | | | | |
| | | | | |
| | | | | |

N体問題実行結果一覧表(秒)

粒子数N=10000,タイムステップ=100
 演算量(ソース)=500GFLOP

SR16000 1ノード

| | | |
|--------|--------|------|
| 32core | 64smp | 最適化 |
| 4.1637 | 4.5797 | OPT3 |
| 2.5880 | 2.6867 | SOPT |

E5-2670 16smp 4.5523

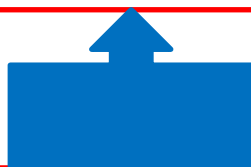
各種加速装置実行時間一覧表

| GPU | 1ボード (1smp/core) | 2ボード (2smp/core) | 3ボード (3smp/core) | 4ボード (4smp/core) |
|----------|---------------------|---------------------|---------------------|---------------------|
| HD5870 | 2.7480 | 1.9917 | | |
| HD6970 | 3.0483 | 2.1885 | 2.3725 | 2.5931 |
| HD7970 | 3.0059 | | | |
| W8000 | 3.0796 | | | |
| HD7980 | 3.2465 | | | |
| Phi5110P | 3.1736 | 1.8653 | 1.5618 | 1.3542 |
| | | | | |
| | | | | |
| | | | | |

拡張倍精度演算

| N体問題 拡張倍精度実行時間一覧表(秒) | | | | | |
|----------------------|-------|---------|----------|---------|---------|
| N | 反復回数 | E5-2670 | Phi5110P | E5-2660 | E5-2660 |
| | | 16smp | 240smp | 16smp | 32smp |
| 1000 | 10000 | 15.8442 | 32.0745 | 20.6893 | 22.7324 |
| 4000 | 625 | 10.1019 | 28.8471 | 18.4697 | 14.5187 |
| 10000 | 100 | 10.0968 | 28.5530 | 11.1613 | 15.1299 |

倍精度の場合とは逆にE5-2670の性能がE5-2660の性能を上回っています。



拡張倍精度に対する処理でE5-2670のコンパイラがe5430のコンパイラより非常に適している事によります。

4.2 分子動力学計算

分子動力学計算は以下の2つの計算からなり、クーロン力計算は重力多体問題と同様の計算となりますが、異なる計算として、ファンデルワールス力計算があります。逆二乗則と逆六乗則の差により、演算する範囲が異なり、演算量も単純に粒子数の何乗に比例するとは言えません。

演算精度は倍精度でSIMD命令は一部適用されます。

$$\text{クーロン力} \quad \vec{F}_i = \frac{q_i}{4\pi\epsilon_0} \sum_{j \neq i} \frac{q_j}{r_{ij}^3} \vec{r}_{ij} \quad r_{ij} = |\vec{r}_i - \vec{r}_j|$$

q_i : 電荷量, ϵ_0 : 真空の誘電率

ファンデルワールス力

分子間に働く分散力で、等方向性で原子間距離の6乗に反比例する力

$$F = k \times \frac{\alpha_a \alpha_b}{r^6} \quad \alpha : \text{分極率}$$

4.2.1 SR16000/M1 システム詳細

SR16000/M1 複数ノードでの実行時間は以下の様になっています。実行はフラットMPIを使用しています。所要メモリはそれぞれ、11.8MB,28.0MB,54.7MBとなっています。

| 実行時間(単位秒) | | | | |
|-----------|------|----------|-----------|-----------|
| N=48 | | | | |
| MPI数 | ノード数 | VdW | Coulomb | 全体 |
| 128 | 4 | 1.8198 | 4.44435 | 6.26732 |
| 256 | 4 | 2.52998 | 8.61865 | 11.15244 |
| 256 | 8 | 1.71889 | 2.66658 | 4.38859 |
| 512 | 8 | 3.35877 | 3.98576 | 7.34833 |
| N=64 | | | | |
| MPI数 | ノード数 | VdW | Coulomb | 全体 |
| 128 | 4 | 12.54277 | 63.21624 | 75.76465 |
| 256 | 4 | 16.55753 | 97.01006 | 113.57417 |
| 256 | 8 | 8.77493 | 35.47022 | 44.25077 |
| 512 | 8 | 20.90441 | 63.69971 | 84.61077 |
| N=80 | | | | |
| MPI数 | ノード数 | VdW | Coulomb | 全体 |
| 128 | 4 | 44.93113 | 412.63567 | 457.57689 |
| 256 | 4 | 63.25216 | 362.52039 | 425.78437 |
| 256 | 8 | 33.06468 | 259.85763 | 292.93251 |
| 512 | 8 | 91.30541 | 281.84471 | 373.16153 |

粒子の数は $n=N*3$ で演算量はCoulomb(クーロン力)は $n(n-1)/2$ に比例,VdW(ファンデルワールス力)は $n(n-1)/2$ /近傍にある粒子の数に比例します。

VdWではすべてのケースでSMT OFF の効果があり、クーロン力はN=80,4node ではSMT ONがそれ以外はSMT OFFが効果があります。これは転送量がMPI数に比例するため、演算量との比でSMT ON,OFFの効果異なる様になります。

4.2.2 各種計算機性能比較

| | | | | | |
|------------|---------------|-----------|-----------|-----------|--|
| N | 所要メモリ (MB) | | | | |
| 48 | 11.8125 | | | | |
| 64 | 28 | | | | |
| 80 | 54.6875 | | | | |
| 96 | 94.5 | | | | |
| 112 | 150.625 | | | | |
| 128 | 224 | | | | |
| 実行時間(秒)一覧表 | | | | | |
| N=48 | | | | | |
| SR16000/M1 | | | | | |
| MPI数 | ノード数 | VdW | Coulomb | 全体 | |
| 256 | 4 | 2.52998 | 8.61865 | 11.15244 | |
| 256 | 8 | 1.71889 | 2.66658 | 4.38859 | |
| 512 | 8 | 3.35877 | 3.98576 | 7.34833 | |
| BG/Q | | | | | |
| MPI数 | ノード数 | VdW | Coulomb | 全体 | |
| 512 | 32 | 8.16086 | 8.81916 | 16.98838 | |
| 1024 | 32 | 11.82922 | 9.99511 | 21.83329 | |
| 2048 | 32 | 24.60092 | 17.70815 | 42.32042 | |
| N=64 | | | | | |
| SR16000/M1 | | | | | |
| MPI数 | ノード数 | VdW | Coulomb | 全体 | |
| 128 | 4 | 12.54277 | 63.21624 | 75.76465 | |
| 256 | 4 | 16.55753 | 97.01006 | 113.57417 | |
| 256 | 8 | 8.77493 | 35.47022 | 44.25077 | |
| 512 | 8 | 20.90441 | 63.69971 | 84.61077 | |
| BG/Q | | | | | |
| MPI数 | ノード数 | VdW | Coulomb | 全体 | |
| 512 | 32 | 29.56434 | 37.76663 | 67.34834 | |
| 1024 | 32 | 32.48871 | 32.1485 | 64.65611 | |
| 2048 | 32 | 57.664 | 45.01047 | 102.69909 | |
| N=80 | | | | | |
| SR16000/M1 | | | | | |
| MPI数 | ノード数 | VdW | Coulomb | 全体 | |
| 128 | 4 | 44.93113 | 412.63567 | 457.57689 | |
| 256 | 4 | 63.25216 | 362.52039 | 425.78437 | |
| 256 | 8 | 33.06468 | 259.85763 | 292.93251 | |
| 512 | 8 | 91.30541 | 281.84471 | 373.16153 | |
| BG/Q | | | | | |
| MPI数 | ノード数 | VdW | Coulomb | 全体 | |
| 512 | 32 | 92.13976 | 128.87558 | 221.04942 | |
| 1024 | 32 | 80.97082 | 91.95302 | 172.96071 | |
| 2048 | 32 | 121.47084 | 106.98893 | 228.50708 | |

メモリの制限により,N=112,N=128ではBG/Q 2048MPIは実行不可

N=96

SR16000/M1

| MPI数 | ノード数 | VdW | Coulomb | 全体 |
|------|------|-----------|------------|------------|
| 128 | 4 | 135.30229 | 1018.25815 | 1153.57737 |
| 256 | 4 | 170.37763 | 1035.44061 | 1205.83632 |
| 256 | 8 | 96.82403 | 592.82008 | 689.65997 |
| 512 | 8 | 217.66733 | 688.59726 | 906.2826 |

BG/Q

| MPI数 | ノード数 | VdW | Coulomb | 全体 |
|------|------|-----------|-----------|-----------|
| 512 | 32 | 247.50348 | 392.02168 | 639.58082 |
| 1024 | 32 | 185.35274 | 274.96719 | 460.38124 |
| 2048 | 32 | 231.82941 | 340.60404 | 572.51359 |

N=112

SR16000/M1

| MPI数 | ノード数 | VdW | Coulomb | 全体 |
|------|------|-----------|------------|------------|
| 128 | 4 | 333.35061 | 2736.97492 | 3070.34942 |
| 256 | 4 | 411.22115 | 2556.15124 | 2967.40039 |
| 256 | 8 | 244.40453 | 1447.09706 | 1691.52595 |
| 512 | 8 | 369.37199 | 1905.33538 | 2274.73516 |

BG/Q

| MPI数 | ノード数 | VdW | Coulomb | 全体 |
|------|------|----------|------------|------------|
| 512 | 32 | 591.7365 | 1262.05753 | 1853.88598 |
| 1024 | 32 | 394.3729 | 1181.64034 | 1576.11295 |

N=128

SR16000/M1

| MPI数 | ノード数 | VdW | Coulomb | 全体 |
|------|------|-----------|------------|------------|
| 128 | 4 | 755.4252 | 5581.71674 | 6337.17718 |
| 256 | 4 | 924.26017 | 6382.94117 | 7307.24141 |
| 256 | 8 | 539.1269 | 3196.45186 | 3735.61507 |
| 512 | 8 | 750.14716 | 4215.49161 | 4965.67888 |

BG/Q

| MPI数 | ノード数 | VdW | Coulomb | 全体 |
|------|------|------------|------------|------------|
| 512 | 32 | 1317.87477 | 3370.73599 | 4688.74093 |
| 1024 | 32 | 805.80939 | 3364.92311 | 4170.8758 |

| BG/Q | | | | | | |
|---------|------|----------|-----------|-----------|--------|--|
| mdcore | | | | | | |
| smp数 | ノード数 | VdW | Coulomb | 全体 | 対smt=1 | |
| 16 | 32 | 219.958 | 326.512 | 546.518 | 1 | |
| 32 | 32 | 133.103 | 198.099 | 331.25 | 1.65 | |
| 48 | 32 | 113.692 | 166.067 | 279.81 | 1.95 | |
| 64 | 32 | 110.894 | 158.311 | 269.255 | 2.03 | |
| mdcore2 | | | | | | |
| smp数 | ノード数 | VdW | Coulomb | 全体 | 対smt=1 | |
| 16 | 32 | 232.7985 | 361.71276 | 594.61322 | 1 | |
| 32 | 32 | 119.5483 | 186.49663 | 306.14688 | 1.94 | |
| 48 | 32 | 80.8 | 140.882 | 221.784 | 2.68 | |
| 64 | 32 | 61.61527 | 109.81348 | 171.53069 | 3.47 | |
| xm1 | | | | | | |
| mdcore | | | | | | |
| smp数 | ノード数 | VdW | Coulomb | 全体 | 対smt=1 | |
| 32 | 1 | 370.355 | 1031.531 | 1402.025 | 1 | |
| 64 | 1 | 246.078 | 611.013 | 857.267 | 1.64 | |
| 96 | 1 | 223.676 | 446.46 | 670.328 | 2.09 | |
| 128 | 1 | 173.189 | 340.836 | 514.222 | 2.73 | |
| mdcore2 | | | | | | |
| smp数 | ノード数 | VdW | Coulomb | 全体 | 対smt=1 | |
| 32 | 1 | 353.256 | 930.879 | 1254.276 | 1 | |
| 64 | 1 | 306.571 | 605.227 | 911.972 | 1.38 | |
| 96 | 1 | 229.255 | 442.445 | 671.89 | 1.87 | |
| 128 | 1 | 177.715 | 339.45 | 517.357 | 2.42 | |

**MPIオーバーヘッド削減の効果はBG/Qで
でています。
Xm1では1ノード並列のためほとんど
変化はありません。**

smt=1に対する効果一覧表

| プログラム | cpu | smt=2 | smt=3 | smt=4 |
|---------|------|-------|-------|-------|
| mdcore | BG/Q | 1.65 | 1.95 | 2.03 |
| mdcore2 | BG/Q | 1.94 | 2.68 | 3.47 |
| mdcore | xm1 | 1.64 | 2.09 | 2.73 |
| mocore2 | xm1 | 1.38 | 1.87 | 2.42 |

xm1

論理コア128(new),64(old)の比較

mdcore

| smp数 | ノード数 | VdW | Coulomb | 全体 |
|---------|------|---------|----------|----------|
| 32 new | 1 | 370.355 | 1031.531 | 1402.025 |
| 32 old | 1 | 370.239 | 1051.356 | 1421.733 |
| 64 new | 1 | 246.078 | 611.013 | 857.267 |
| 64 old | 1 | 250.312 | 554.729 | 805.976 |
| 128 new | 1 | 173.189 | 340.836 | 514.222 |

mdcore2

| smp数 | ノード数 | VdW | Coulomb | 全体 |
|---------|------|---------|---------|----------|
| 32 new | 1 | 353.256 | 930.879 | 1254.276 |
| 32 old | 1 | 352.106 | 931.449 | 1283.693 |
| 64 new | 1 | 306.571 | 605.227 | 911.972 |
| 64 old | 1 | 297.089 | 556.781 | 854.376 |
| 128 new | 1 | 177.715 | 339.45 | 517.357 |

**BG/Q MPIオーバーヘッド削減の効果が大きい
(smt=4)**

**Xm1 論理コア128 (smt=4) の拡大の効果が
大きい。**

4.3 大規模疎行列の反復計算

4.3.1 対称問題

倍精度演算

ポアソン方程式

$$\Delta u = -f \quad (\Omega), u = 0 \quad (\partial\Omega)$$

$$\Omega = [0,1] \times [0,1] \times [0,1]$$

$$N = 200 \times 200 \times 200$$

収束判定値: 共役残差 0^{-12}

$$u = \sin(\pi x) \sin(\pi y) \sin(\pi z)$$

$$f = 3 \times \pi^2 \times \sin(\pi x) \sin(\pi y) \sin(\pi z)$$

(注)

初期値は $x(i) = 1.0$

cgs, cgsilu, cgsmilは収束しない

ので $x(i) : (0,1)$ の一様乱数値.

cgsmはcgsiluを, cgsmmはcgsmilを

並列化して初期値

$x(i) = 1.0$ としたもの。

| 対称行列反復法 実行時間一覧表(秒) | | | | | | | |
|-----------------------|-----------|-----------|----------|-----------|----------|----------|----------|
| プログラム | x5570 | E5-2670 | Phi5110P | E5-2660 | E5-2660 | SR16000 | SR16000 |
| | 1smp | 16smp | 240smp | 16smp | 32smp | 32smp | 64smp |
| d3sor3 | 305.8545 | 107.2121 | 45.4492 | 81.5021 | 85.1895 | 18.4587 | 15.9792 |
| d3sor2 | 5157.8583 | 2106.8935 | 845.0379 | 1523.1281 | 1658.299 | 285.6998 | 300.2200 |
| d3adi | 6484.9054 | 976.999 | 732.4666 | 774.8730 | 1005.332 | 291.1860 | 281.3099 |
| d3bcg | 137.1272 | 54.8386 | 19.8924 | 41.5801 | 38.4800 | 12.9068 | 13.1204 |
| d3cg | 90.8600 | 31.1266 | 11.2524 | 20.9102 | 19.2947 | 7.8468 | 7.7593 |
| d3cgs | 127.0035 | 45.2665 | 18.8847 | 37.1193 | 34.9020 | 14.0279 | 15.7210 |
| d3scg | 89.9558 | 36.7480 | 13.2181 | 24.6104 | 23.9617 | 9.1910 | 11.4737 |
| d3bicgs | 112.0541 | 31.3391 | 14.6020 | 25.8810 | 24.5952 | 10.2689 | 11.7728 |
| d3cgsilu | 148.3735 | 92.7729 | 572.2768 | 92.6816 | 93.9379 | 60.3351 | 61.4112 |
| d3cgsmil | 118.5756 | 82.1866 | 511.6339 | 81.9387 | 82.9746 | 53.7503 | 53.3771 |
| d3gpbicg | 122.8012 | 46.6471 | 18.2745 | 30.8516 | 33.7076 | 13.3188 | 12.8016 |
| d3cgsm | 456.1777 | 48.2078 | 43.7151 | 45.3634 | 42.8455 | 27.0258 | 27.2273 |
| d3cgsmm | 487.1845 | 58.6426 | 77.2315 | 73.7438 | 62.3460 | 34.3474 | 42.1951 |

E5-2670,E5-2660,Phi5110PはSR16000と比較して実行効率ではほぼ同等の性能がでています。

4.3.2 非対称問題

演算は4倍精度演算

問題は3次元ポアソン方程式

$$\Delta u + R \frac{\partial u}{\partial x} = -f$$

領域 $[0,1] \times [0,1] \times [0,1]$

解析解 $u(x, y, z) = e^{xyz} \times \sin(\pi x) \times \sin(\pi y) \times \sin(\pi z)$

非対称問題。

解法

bcg (biconjugate gradient) 法

$$R = 100, n_x = n_y = n_z = 129$$

cgs (conjugate gradient square) 法

$$R = 100, n_x = n_y = n_z = 129$$

収束判定値は共役残差 10^{-12}

初期値 $u(x, y, z) = 0$

| 非対称問題実行時間一覧表(秒) | | | | | | |
|-----------------|---------|----------|---------|---------|---------|---------|
| プログラム | E5-2670 | Phi5110P | E5-2660 | E5-2660 | SR16000 | SR16000 |
| | 16smp | 240smp | 16smp | 32smp | 32smp | 64smp |
| bcg | 47.8155 | 92.7816 | 75.5405 | 54.6095 | 5.6664 | 4.1678 |
| cgs | 50.6370 | 99.7317 | 77.4960 | 59.7968 | 9.3170 | 7.4054 |

4倍精度演算ではSR16000の性能がカタログ性能比を考慮しても非常に良い性能を示しています。

今回のcgs法は前処理付きだが以前の方式ではサイズが113*113*113で

| | | | |
|-------------|-----------------|--------------|-----------------|
| 6倍精度 | SR1 6000 | 64smp | 29.1450秒 |
| | E5-2670 | 16smp | 47.0610秒 |
| 8倍精度 | SR1 6000 | 64smp | 33.5245秒 |
| | E5-2670 | 16smp | 70.0802秒 |

と倍精度変数をつなげた形式ではE5-2670の実行効率が勝っていました。

4.4 QCD計算

テストケース

case1 *data* $16 \times 16 \times 16 \times 16$

case2 *data* $24 \times 24 \times 24 \times 24$

case3 *data* $32 \times 32 \times 32 \times 32$

測定条件

BG/Q, SR16000/M1, xm1 すべて1ノード

*smt*数 *BG/Q, xm1* *smt* = 1,2,4

SR16000/M1 *smt* = 1,2

スレッド並列のソース

BG/Q **ppgenで作成したソース。-qsmp=auto
でコンパイル。**

SR16000/M1, xm1 **ともに自動並列
でコンパイル。**

QCD 性能測定結果一覧表(対1スレッドに対する台数効果)

| data | BG/Q | | | SR16000/M1 | | xm1 最高性能smp数 |
|-------|-------|-------|-------|------------|-------|-----------------|
| | smt=1 | smt=2 | smt=4 | smt=1 | smt=2 | |
| case1 | 13.63 | 15.84 | 11.22 | 18.61 | 14.85 | 32 |
| case2 | 12.85 | 13.28 | 12.75 | 9.81 | 11.18 | 32 |
| case3 | 12.33 | 13.03 | 12.88 | 11.09 | 9.48 | 32 |

最高性能

BG/Q smt=2 =>32smp
 SR16000/M1 smt=1 =>32smp
 xm1 =>32smp

扱うデータがおおきくなるとSR16000/M1
 は大きな性能低下が見られます。

BG/Qはデータサイズによる性能低下は
 見られません。

BG/Q smt=1 (16smp) で台数効果13と高い。

性能比較

QCD 32*32*32*64 並列実行性能測定結果

実行時間一覧表(秒)

1 ノードsmp BG/Q ソースはParallel Program Generetor で作成

| | | | |
|-------------------------|--------|------|--------|
| SR16000 | 339.15 | BG/Q | 2221.9 |
| SR16000/BG実行性能比 6.55 | | | |
| SR16000/BG カタログ性能比 4.79 | | | |

mpi,smp並列

| SR16000 | | BG/Q | |
|---------|-------|------|-------|
| node | total | node | total |
| 1 | 217.4 | 32 | 56.34 |
| 4 | 46.37 | | |
| 8 | 18.8 | | |

| SR16000 | (対BG/Q) | | |
|---------|---------|---------|--|
| node | 実行性能比 | カタログ性能比 | |
| 1 | 0.259 | 0.15 | |
| 4 | 1.215 | 0.598 | |
| 8 | 3.029 | 1.197 | |

**ソースチューニングがない場合,SR16000/M1
がBG/Qに対してカタログ性能比以上に
実行性能比がでています。**

4.5 量子モンテカルロ法による物性スペクトル計算

プログラムは高エネルギー加速器研究機構、物構研岩野氏より提供いただいたのをベースにしています。

数値計算からみた場合の計算内容

$G_i, A_i, B, C_i : n \times n$ 行列

$$A_m = C_m C_{m-1} \dots C_1$$

$$A_0 = I \quad (\text{単位行列})$$

$$B = C_L C_{L-1} \dots C_1$$

$$G_m = -A_m (I + B)^{-1}$$

パラメータ : n, L, β, u

$$0 \leq m \leq L, dt = \frac{\beta}{L}$$

C_i の絶対値の最大値, 最小値 $e^{\sqrt{dt \times u}}, e^{-\sqrt{dt \times u}}$

$\text{Tr}(G_m)$ を計算し, 結果のチェックは $\text{Tr}(G_L) = -1$ で行います。

最初の実行結果 (4倍精度)

$n=40, \beta=10, L=112, u=5$ 結果は正確

$n=100, \beta=10, L=448, u=5$ 結果は不正確

目標 $n=100, L=448$ を固定

$\beta=10, 20$ $u=5, 6, 7, 8, 9, 10$ での結果を
10進10桁一致させる。

使用されている計算手法

行列のQDR分解。

行列Vを $V=QR$ (Q:ユニタリ行列,R:上三角行列)に分解後,Rの対角要素をDに入れ,Rの対角要素を1にする。

扱ったケース:設定したパラメータより結果の精度が見積もりやすい。

$$P = e^{\sqrt{dt \times u \times L}}, E(m) = |\text{Tr}(G_m)|$$

プログラム実行中に現れる数値の最大値 P^2 ,0以外の絶対値最小値 $1/P^2$

行列やベクトル要素に現れる数値の最大値 P ,0以外の絶対値最小値 $1/P$

$$E(0) = 1, E(L) = 1, m = \frac{L}{2} \text{で} E\left(\frac{L}{2}\right) = \frac{1}{\sqrt{P}} \text{で最小になるので,}$$

$$\text{演算に必要な最小ビット数} \log_2 \sqrt{P} = \frac{1}{2} \log_2 P。$$

精度検証結果 (10進10桁一致したもの)

6倍精度 $\beta = 10, u = 5, 6, 7, 8, 9$

8倍精度 $\beta = 10, u = 5, 6, 7, 8, 9, 10$

$\beta = 20, u = 5, 6, 7, 8$

10倍精度 $\beta = 20, u = 9, u = 10$

4.5.1 SR16000/M1 システム

性能測定条件

4倍精度 $\beta = 10, u = 5$

**結果は10進3桁までしか一致しないが
他との比較のため.**

6倍精度 $\beta = 10, u = 6$

8倍精度 $\beta = 20, u = 8$

10倍精度 $\beta = 20, u = 10$

チューニング手順

- (1) 6倍精度,8倍精度での加減算,乗算,除算,
平方根計算をサブルーチン化して,
inlineオプションを適用
- (2) 演算量の多い行列積計算,QDR積計算部分
をサブルーチン化し、並列実行する。
- (3) 加減算,乗算において,if文削除の
アルゴリズムに変更。
- (4) (1)~(3)の方式を取り入れて10倍精度
演算ルーチンを作成。

性能測定結果

| 量子モンテカルロ実行時間(秒) | | | | | |
|-----------------|---------|--------|--------|--------|--------|
| SR16000/M1 1ノード | | | | | |
| 4倍精度 | | | 10倍精度 | | |
| smt on/off | 実行時間 | | QDR積計算 | 64smp | 32core |
| | 32core | 9.327 | 並列化不可 | 733 | 783 |
| | 64smp | 11.04 | 分割並列化 | 426 | 456 |
| | | | 数値制限解除 | 451 | 435 |
| uinlineオプション | | | | | |
| 精度 | サブルーチン化 | 64smp | 32core | | |
| 6倍精度 | 612 | 263 | 243 | | |
| 8倍精度 | 1190 | 463 | 386 | | |
| 行列積,QDR積計算 | | | | | |
| 精度 | 64smp | 32core | IF文削除 | | |
| | | | 64smp | 32core | |
| 6倍精度 | 112 | 105 | 23.743 | 28.837 | |
| 8倍精度 | 192 | 174 | 42.074 | 51.739 | |

10倍精度演算の問題

加減算,乗算での演算数の増加

- (1) 最適化,uinlineの効果が減少
- (2) 行列積計算での並列化効果の減少
- (3) QDR積計算が並列化不可となり,2つのサブルーチンに分割した事による並列化効果の減少

表現できる数値範囲の制限

大きな数の平方根計算では、アルゴリズムの変更が必要。

4.5.2 ieee754-2008形式

| E5-2670 | 16smp | Phi5110P | 240core | | |
|----------------|---------|----------|---------|-------------|-------------|
| モンテカルロシミュレーション | | | | | |
| | | | | E5-2670 | Phi5110P |
| 精度 | β | U | L | 実行時間 (秒) | 実行時間 (秒) |
| 6倍精度 | 10 | 6 | 448 | 127.5865 | 1088.6992 |
| 8倍精度 | 20 | 8 | 448 | 261.7628 | 1762.0854 |
| 10倍精度 | 20 | 10 | 448 | 619.8694 | 3727.0650 |
| ieee8倍精度 | 20 | 10 | 448 | 505.0661 | 4487.2604 |
| DQ(8倍精度) | 20 | 9 | 448 | 1961.2144 | 16287.9011 |

- (1) $\beta = 20, U = 10$ を計算する場合dd形式では10倍精度演算が必要でieee形式では8倍精度で事足ります。
- (2) SR16000でscopeオプションで実行すると10倍精度は649秒.このため,計算機種の差ではなく,コンパイラ最適化能力の差が効いていると言えます。

**DD形式8倍精度とieee754-2008形式の
8倍精度演算では,正しく計算出来る
パラメータ領域に差がある。**



一概にどちらが良いとは言えない

**$\beta = 20, U = 8$ ではDD形式8倍精度が良い。
 $\beta = 20, U = 10$ ではDD形式では10倍精度を
使用する必要があり,ieee754-2008形式
の8倍精度が良い。**

**10倍精度演算ではieee754-2008形式の方
が性能が良いと考えられ,GPU等の
アクセラレータで8倍精度演算までのDD形式を
適用している理由とも合う結果となっている。**

4.6 ファインマンループ積分

ファインマンループ積分の一般式は以下の様になる。

$$I(\varepsilon) = (-1)^N \left(\frac{1}{4\pi}\right)^{nL/2} \Gamma(N - nL/2) \int_0^1 \prod_{i=1}^N dx_i \delta(1 - x_1 - x_2 - \dots - x_N) \frac{C^{N-n(L+1)/2}}{(D - i\varepsilon C)^{N-nL/2}}$$

n : 時空次元 ($n = 4$), N : ループ内の素粒子の数, L : ループの多重度

ε : 実定数, C, D : x_1, x_2, \dots, x_N の多項式

4.6.1 infra vtx 計算

$$I = \int_0^1 \int_0^{1-x} \frac{1}{D} dy dx$$

$$D = -xys + (x + y)^2 m^2 + (1 - x - y)\lambda^2$$

$$s = -500^2, m = 0.0005$$

倍精度演算で $\lambda = 10^{-5}$ で実施しています。

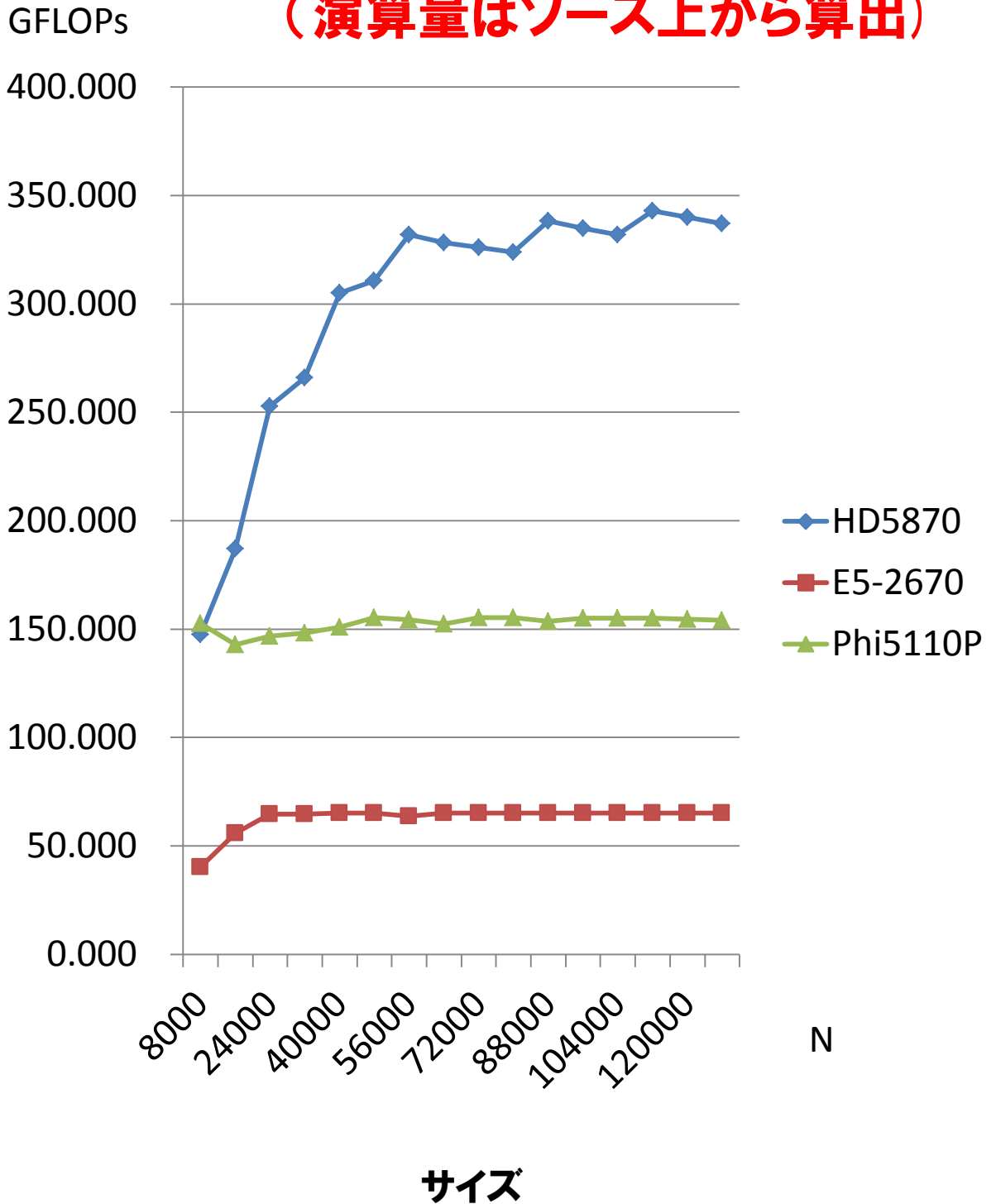
実行条件

HD5870 3200SMP

E5 - 2670 16SMP

Phi5110P 240SMP

2次元積分 (VTX) 性能測定結果 (演算量はソース上から算出)



4.6.2 Infra box 計算

計算式

$$I = \int_0^1 \int_0^{1-x} \int_0^{1-x-y} \frac{1}{D^2} dz dy dx$$

$$D = -sxy - tz(1-x-y-z) + (x+y)\lambda^2 + (1-x-y-z)(1-x-y)m_e^2 \\ + z(1-x-y)m_f^2$$

テストデータ

$$s = -500^2, t = -150^2, m_f = 150,$$

$$m_e = 0.0005$$

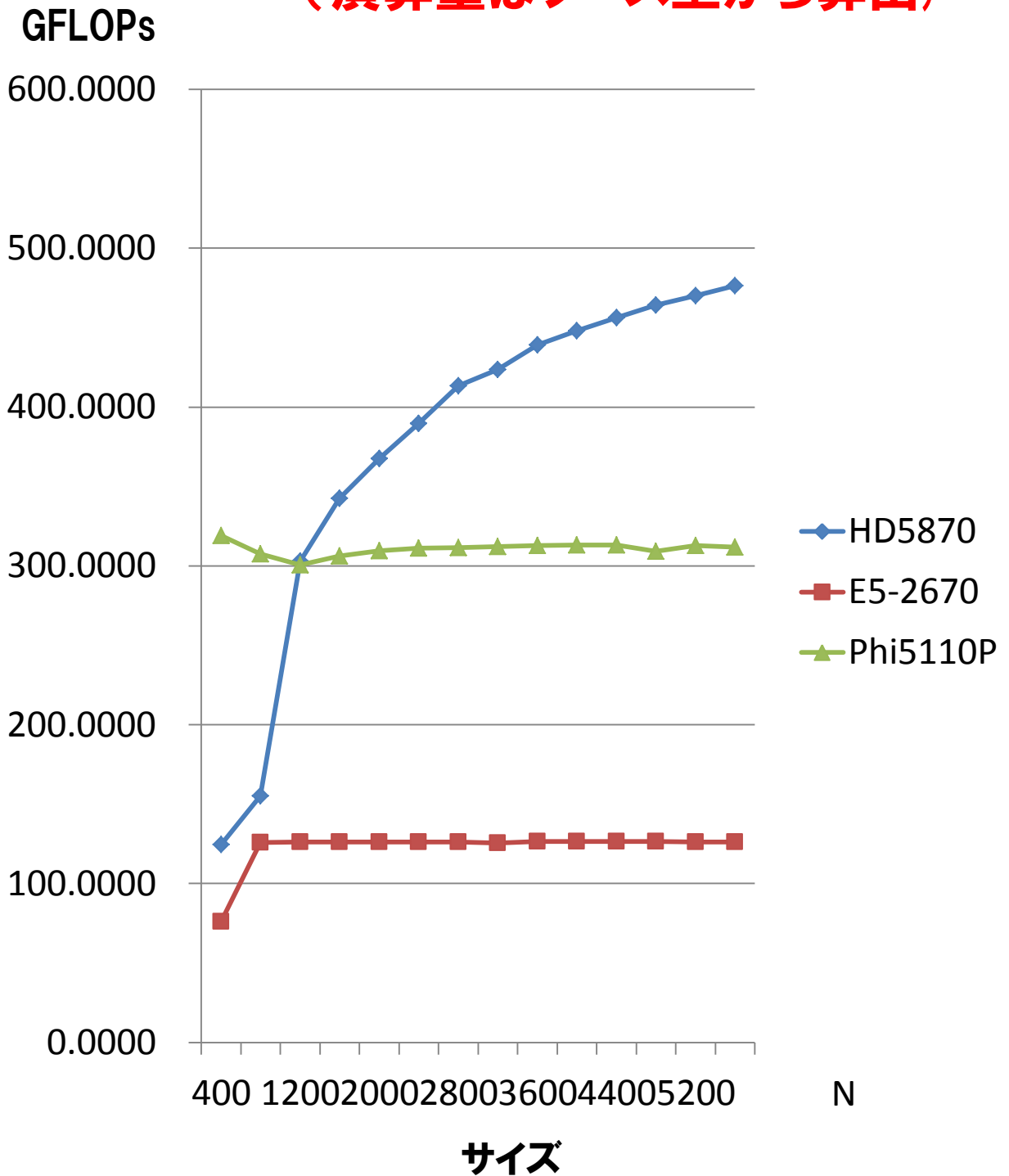
$$\lambda = 10^{-12} \text{ (倍精度)}, \lambda = 10^{-30} \text{ (4倍精度)}$$

倍精度

N=8192,演算量10447GFLOP

| SR16000/M1 | 1ノード | 自動並列 | | |
|--------------|-------|------|------------|---------|
| BG/Q | 32ノード | ノード間 | MPI | |
| | | ノード内 | スレッド並列 | |
| | | | | |
| 計算機 | smp数 | smt数 | 性能(GFLOPs) | 実行効率(%) |
| SR16000/M1 | 32 | 1 | 268 | 27 |
| SR16000/M1 | 64 | 2 | 263 | 27 |
| BG/Q | 16 | 1 | 846 | 13 |
| BG/Q | 32 | 2 | 1493 | 23 |
| BG/Q | 64 | 4 | 1766 | 27 |
| HD5870 | 1 | 3200 | 326 | 30 |
| HD6970 | 1 | 6144 | 588 | 22 |
| | | | | |
| 実行効率は25%–30% | | | | |

3次元積分 (BOX) 性能測定結果 (演算量はソース上から算出)



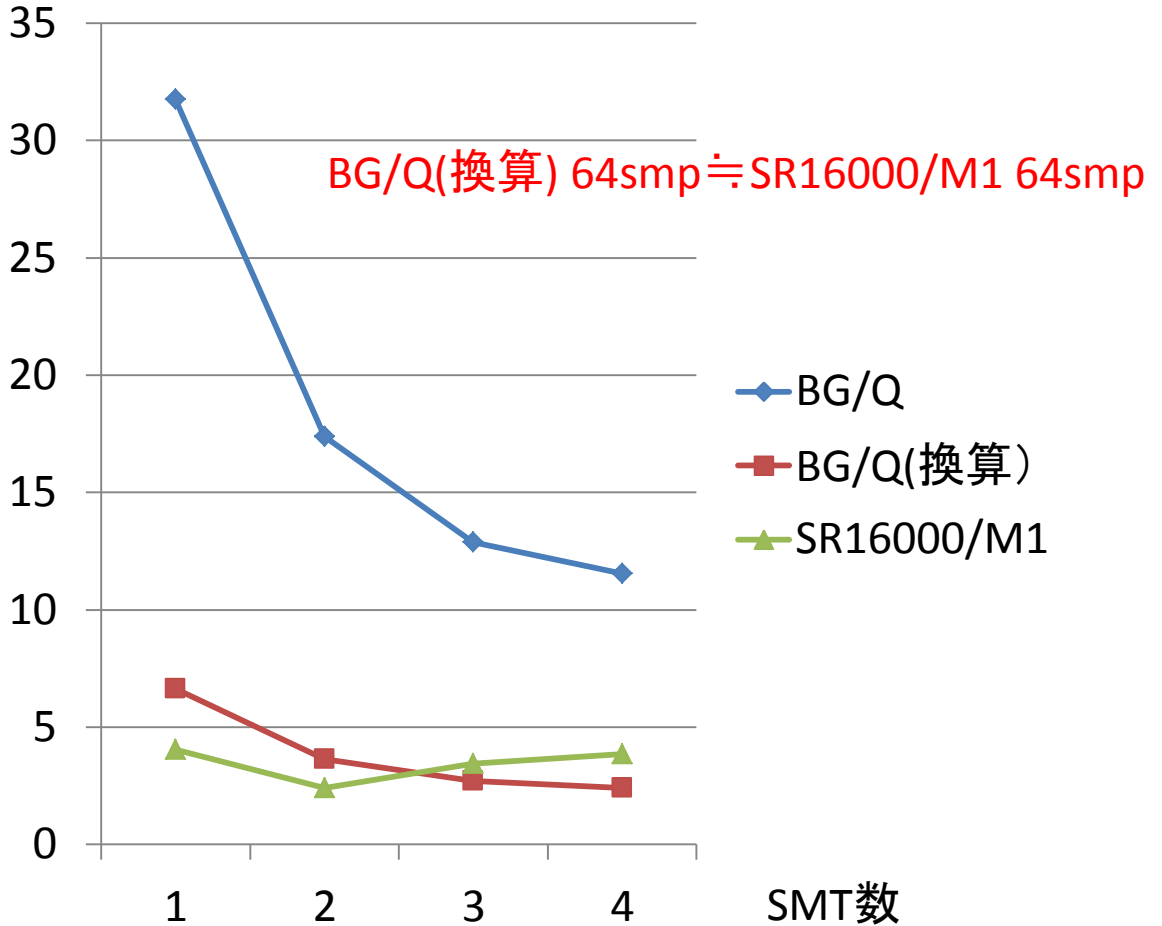
4倍精度

| サイズ | N=2048 | 演算量 | 618GFLOP | | |
|---|--------|---------|----------|---------|--|
| テーブルサイズ | 32KB | | | | |
| SR16000/M1 | 4,8ノード | フラットMPI | | | |
| BG/Q | 32ノード | フラットMPI | | | |
| 4倍精度性能測定結果(GFLOPs) | | | | | |
| 計算機 | ノード数 | smt数 | 性能 | 実行効率(%) | |
| SR16000/M1 | 4 | 1 | 248 | 6.3 | |
| SR16000/M1 | 4 | 2 | 418 | 10.7 | |
| SR16000/M1 | 8 | 1 | 495 | 6.3 | |
| SR16000/M1 | 8 | 2 | 836 | 10.7 | |
| BG/Q | 32 | 1 | 253 | 3.9 | |
| BG/Q | 32 | 2 | 475 | 7.2 | |
| BG/Q | 32 | 4 | 705 | 10.8 | |
| HD5870 | 2ボード | 3200 | 283 | 26 | |
| HD6970 | 4ボード | 6144 | 560 | 20.7 | |
| SR16000/M1,BG/QではSIMDが適用されない ので,GPGPU系の計算機の実行効率が良い | | | | | |

1 ノード性能比較

サイズN=1024

実行時間(秒)

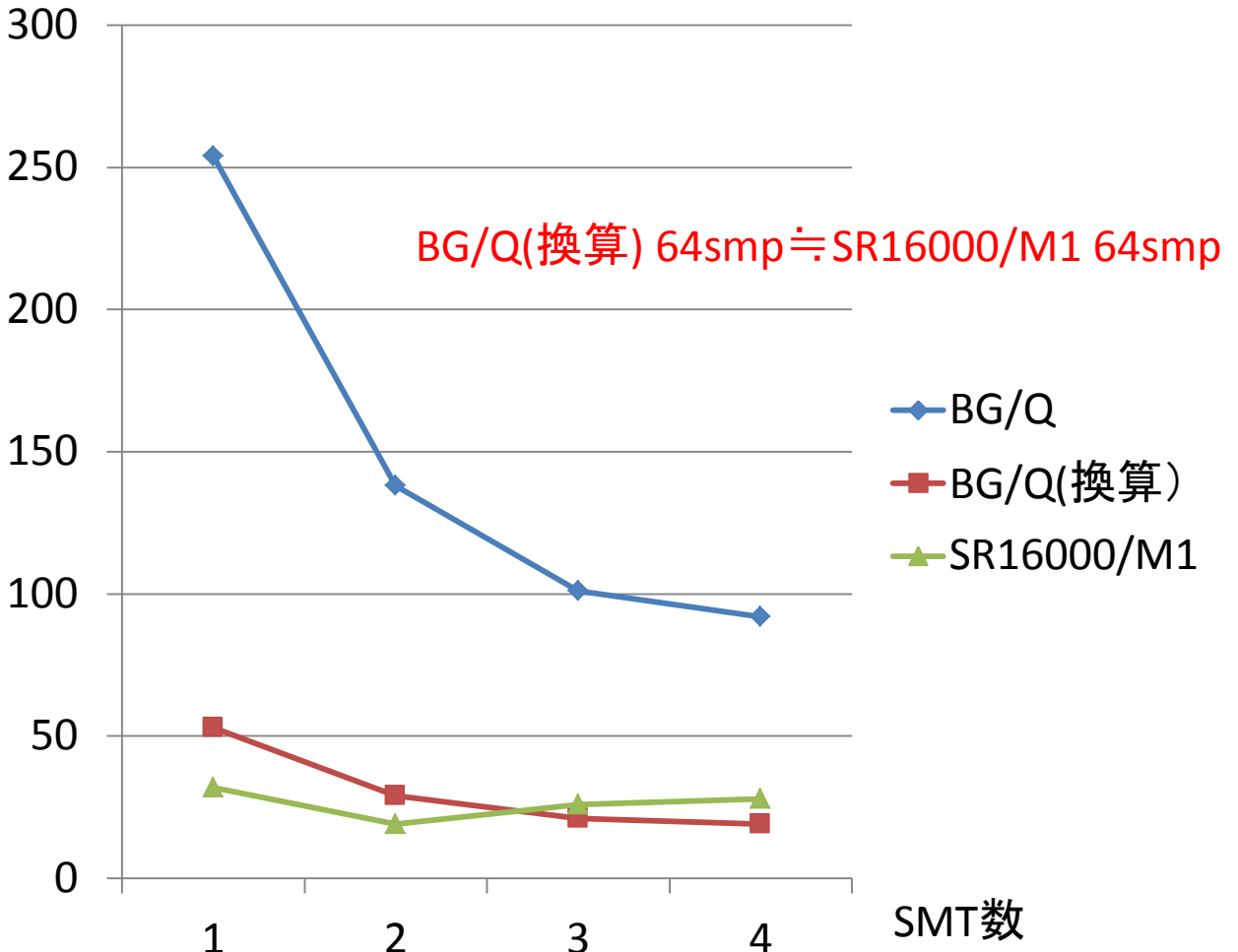


| | BG/Q | SR16000/M1 |
|-------|--------|------------|
| SMT=1 | 16 smp | 32 smp |
| =2 | 32 smp | 64 smp |
| =3 | 48 smp | 96 smp |
| =4 | 64 smp | 128 smp |

BG/Q(換算) 204.8GFLOPs => 980.48GFLOPs にしたときの値

サイズN=2048

実行時間(秒)

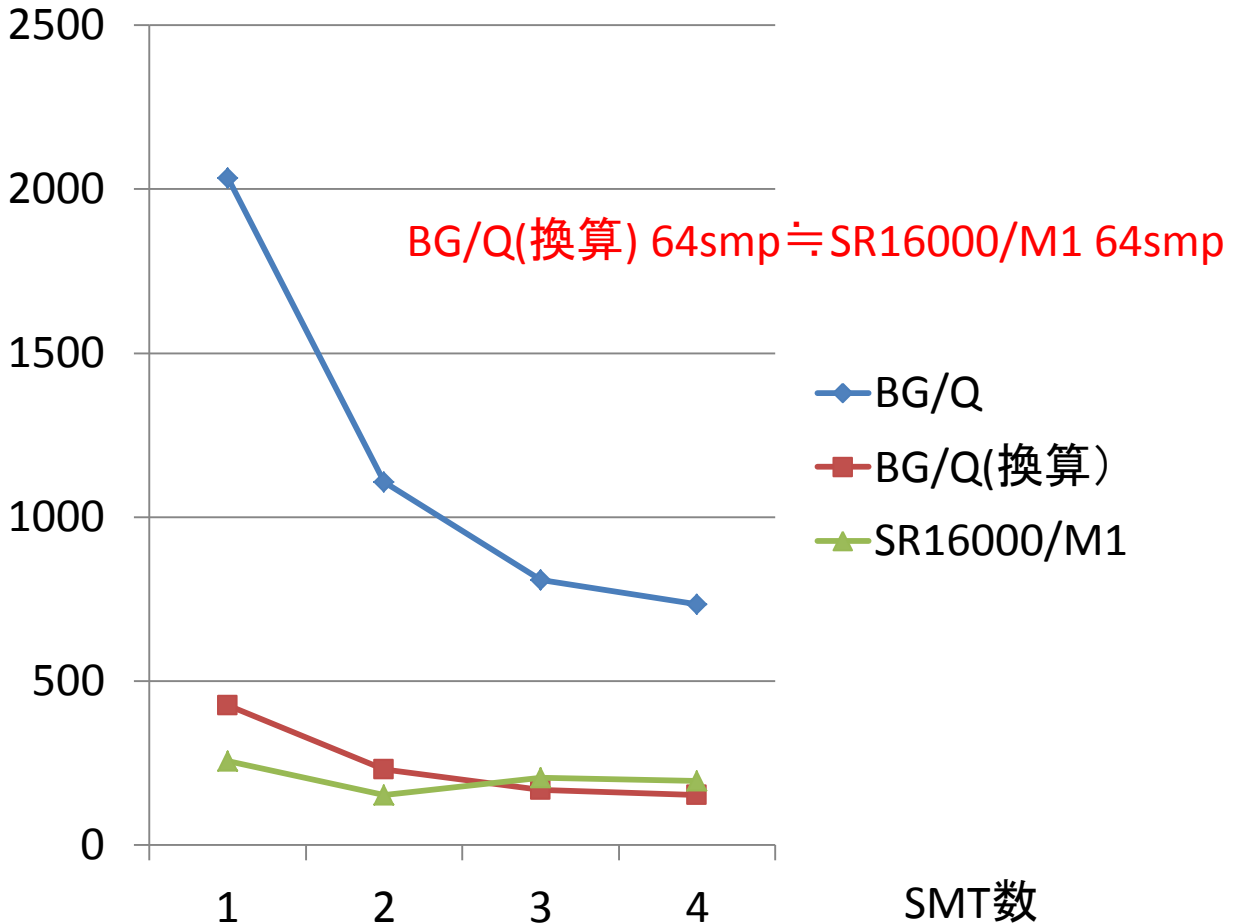


| | BG/Q | SR16000/M1 |
|-------|--------|------------|
| SMT=1 | 16 smp | 32 smp |
| =2 | 32 smp | 64 smp |
| =3 | 48 smp | 96 smp |
| =4 | 64 smp | 128 smp |

BG/Q(換算) 204.8GFLOPs => 980.48GFLOPs にしたときの値

サイズN=4096

実行時間(秒)

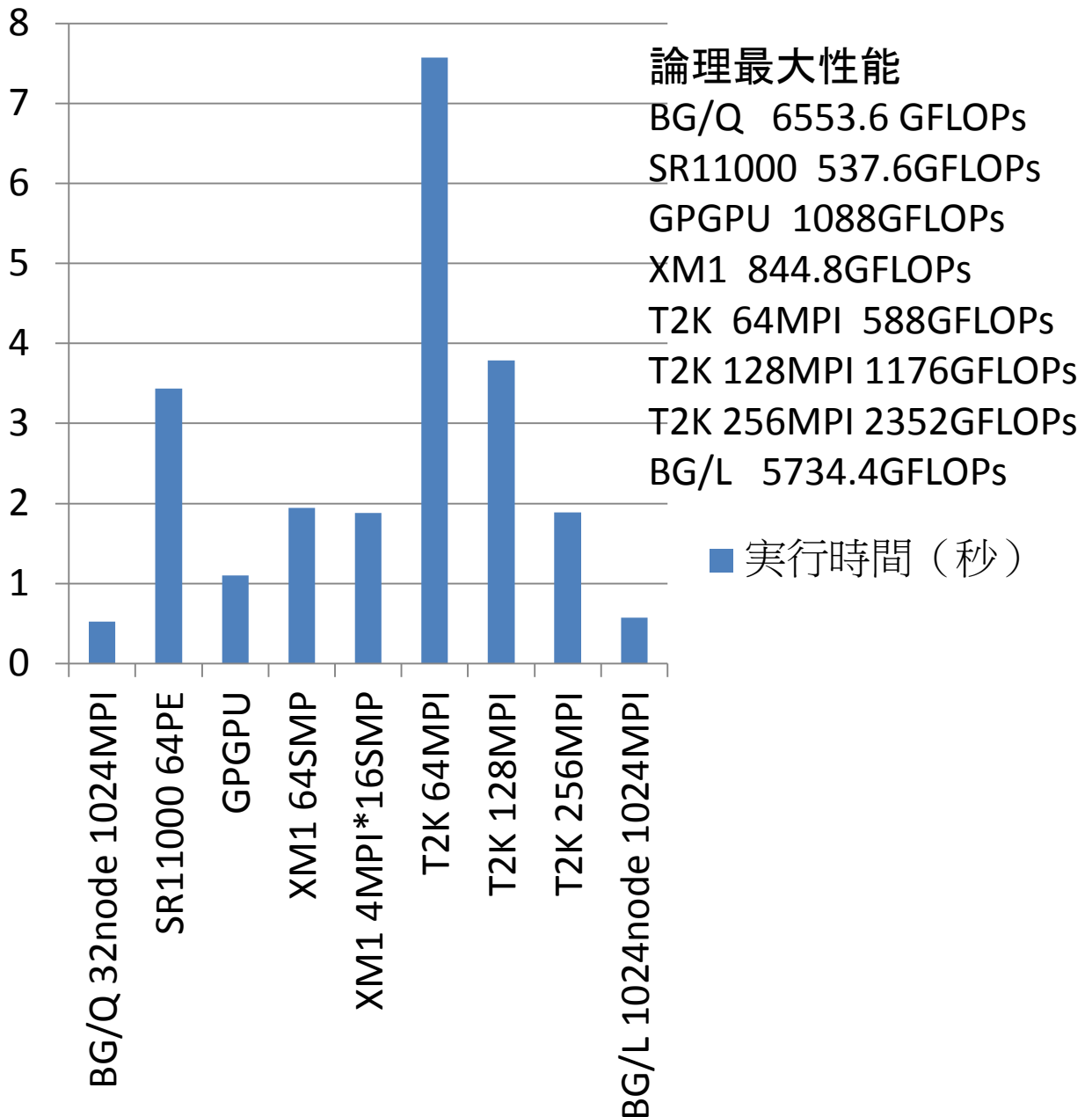


| | BG/Q | SR16000/M1 |
|-------|--------|------------|
| SMT=1 | 16 smp | 32 smp |
| =2 | 32 smp | 64 smp |
| =3 | 48 smp | 96 smp |
| =4 | 64 smp | 128 smp |

BG/Q(換算) 204.8GFLOPs => 980.48GFLOPs にしたときの値

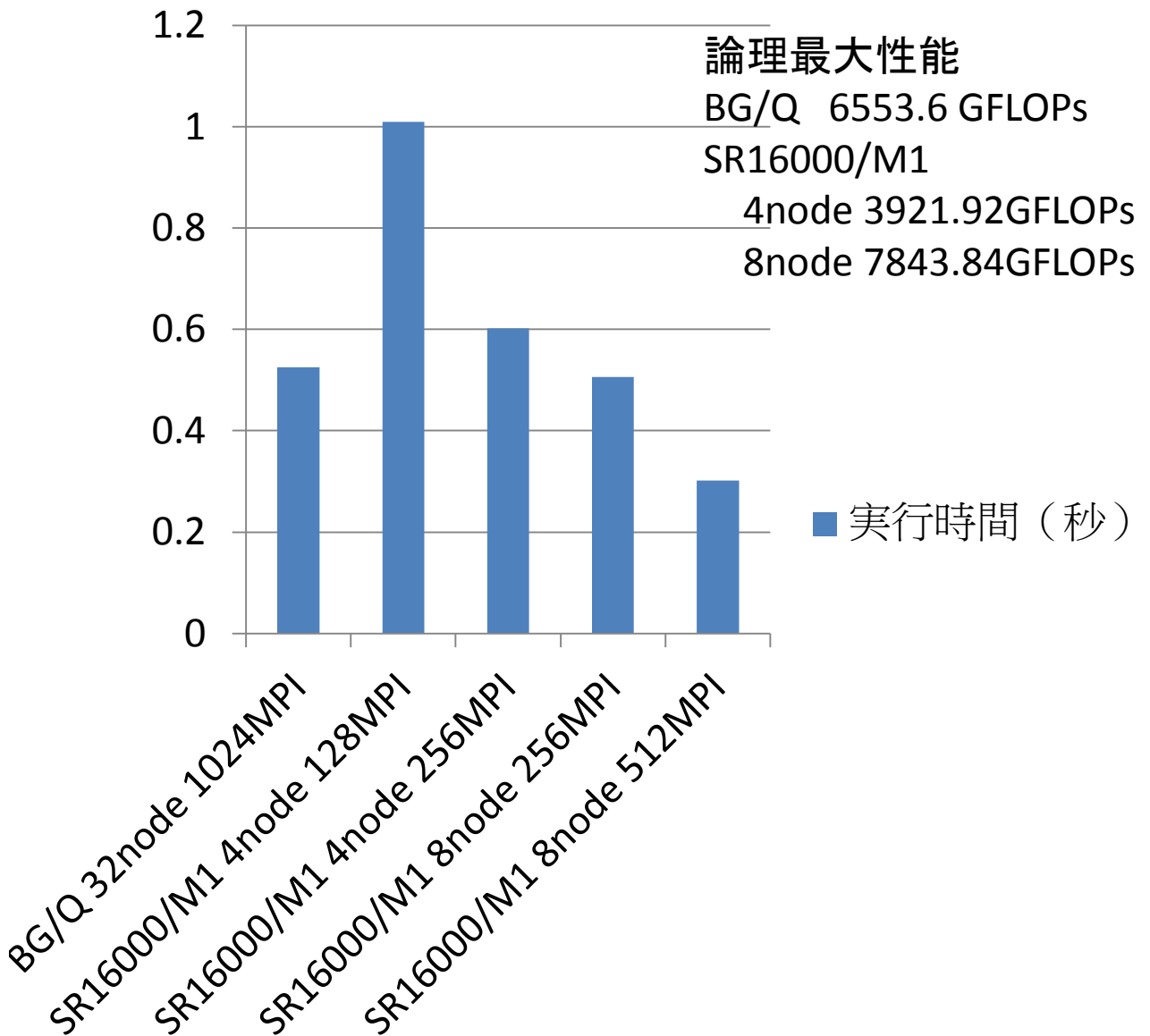
4倍精度INFRA BOX N=1024 各種計算機実行時間(1)

実行時間 (秒)



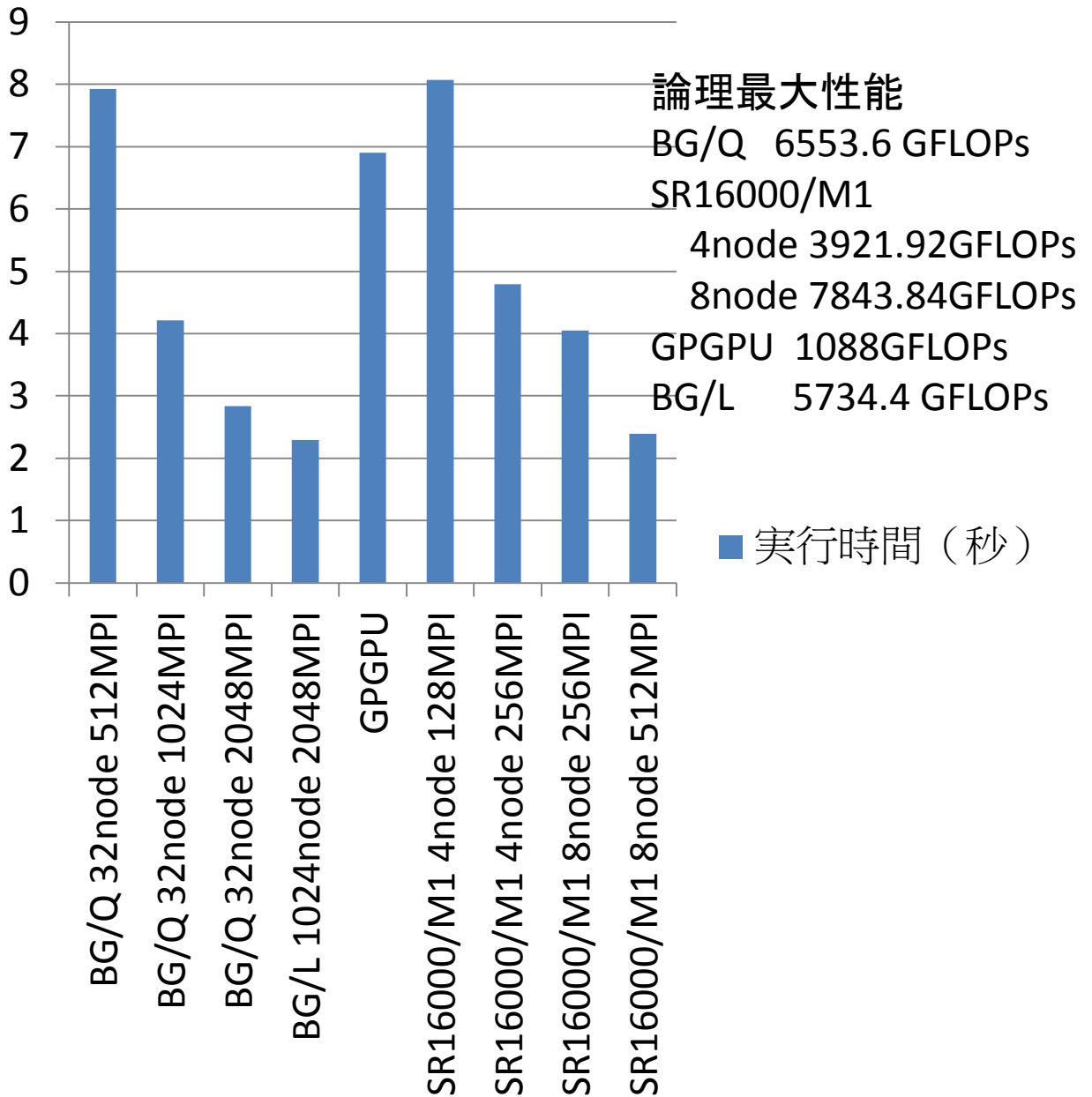
4倍精度INFRA BOX N=1024 各種計算機実行時間(2)

実行時間 (秒)



4倍精度INFRA BOX N=2048 各種計算機実行時間

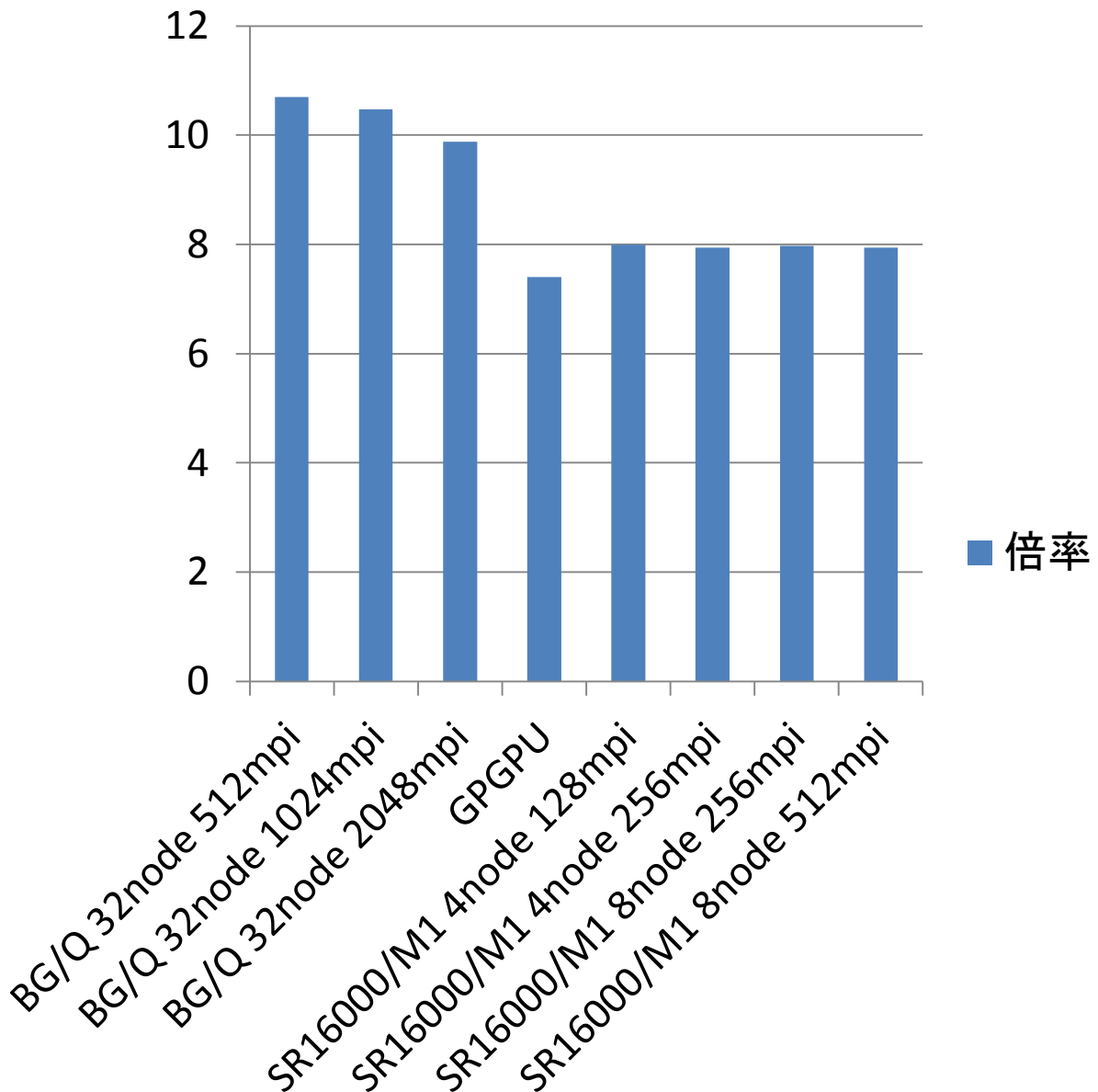
実行時間（秒）



4倍精度INFRA BOX N=2048とN=4096 各種計算機実行時間比率

演算量比率(N=4096/N=2048)=8

実行時間(N=4096/N=2048)比率



4.6.3 massless計算

$$\eta^n \times \int_0^1 \int_0^{1-x} \dots \int_0^{1-x_1-\dots-x_{n-1}} \frac{1}{(x_1 x_2 \dots x_n)^{1-\eta}} dx_n dx_{n-1} \dots dx_1$$

$$= (1 + n\eta)(2 + n\eta) \dots (n + n\eta) \times$$

$$\int_0^1 \int_0^{1-x} \dots \int_0^{1-x_1-\dots-x_{n-1}} (x_1 x_2 \dots x_n)^n dx_n dx_{n-1} \dots dx_1$$

となり, 倍精度演算で精度良く計算するには,

$$(1 + n\eta)(2 + n\eta) \dots (n + n\eta) \times$$

$$\int_0^1 \int_0^{1-x} \dots \int_0^{1-x_1-\dots-x_{n-1}} (x_1 x_2 \dots x_n)^n dx_n dx_{n-1} \dots dx_1$$

を計算する必要があります。

倍精度演算による実行結果

条件一覧表

| n | h | N |
|---|------------------|-----|
| 3 | $0.5^6=0.015625$ | 503 |
| 4 | $0.5^6=0.015625$ | 503 |
| 5 | $0.5^4=0.0625$ | 103 |
| 6 | $0.5^3=0.125$ | 51 |
| 7 | 0.16 | 41 |
| 8 | 0.20 | 33 |

実行時間一覧表(秒)

smt=on,64smp

#NAME?

| n | SR16000 | xm1 |
|---|-------------|-------------|
| 3 | 0.148960 | 0.278902 |
| 4 | 74.977050 | 112.659721 |
| 5 | 16.623410 | 23.287427 |
| 6 | 25.476964 | 38.277622 |
| 7 | 362.011287 | 417.984915 |
| 8 | 3199.456509 | 3635.130558 |

| n | Phi5110P 240smp | E5-2670 16smp |
|---|-----------------|---------------|
| 3 | 0.6069 | 0.1777 |
| 4 | 29.1766 | 81.6845 |
| 5 | 47.3931 | 15.6406 |
| 6 | 20.8052 | 27.8814 |
| 7 | 1478.4449 | 265.0752 |
| 8 | 13738.5545 | 2255.2062 |

Phi5110Pでのチューニング例

$$\int_0^1 \int_0^{1-x} \dots \int_0^{1-x_1-\dots-x_{n-1}} \frac{1}{(x_1 x_2 \dots x_n)^{1-\eta}} dx_n dx_{n-1} \dots dx_1$$

$$= \frac{1}{\eta^n} \frac{(\Gamma(1+\eta))^n}{\Gamma(1+n\eta)}$$

$$\eta^n \int_0^1 \int_0^{1-x} \dots \int_0^{1-x_1-\dots-x_{n-1}} \frac{1}{(x_1 x_2 \dots x_n)^{1-\eta}} dx_n dx_{n-1} \dots dx_1$$

$$= (1+n\eta)(2+n\eta)\dots(n+n\eta) \int_0^1 \int_0^{1-x} \dots \int_0^{1-x_1-\dots-x_{n-1}} (x_1 x_2 \dots x_n)^n dx_n dx_{n-1} \dots dx_1$$

において $\eta = 0.01, n = 7, n = 8$ の場合を計算した。

倍精度で計算するため、右辺の式を使用。

$n = 7, h = 0.16, N = 41$

$n = 8, h = 0.2, N = 33$

で実行した結果は下記のとおり。

| n=7,n=8 massless計算実行時間(秒)一覧表 | | | | |
|------------------------------|---------|------|---------|----------|
| SR16000 64smp,-Os 自動並列 | | | | |
| XM1 64smp,-Os 自動並列 | | | | |
| E5-2670 16smp -Os -openmp | | | | |
| Phi5110P 240smp -Os -openmp | | | | |
| n | SR16000 | XM1 | E5-2670 | Phi5110P |
| 6 | 25 | 38 | 21 | 27 |
| 7 | 362 | 418 | 265 | 1478 |
| 8 | 3199 | 3635 | 2255 | 13739 |

n=7,n=8の場合のPhi5110Pの値が悪すぎる。

n = 7 **実行時間** 1478秒 => 368秒

n = 8 **実行時間** 13739秒 => 2623秒

n = 7だとSR16000とほぼ同等, n = 8だと
SR16000の1.2倍の性能。

結果

n = 7 **解析解** 0.996679645317184

実測結果 0.996679645317182

n = 8 **解析解** 0.9955954352742048

実測結果 0.995595435126120

N = 41の場合の

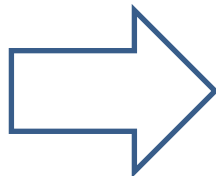
実測結果 0.995595435274190

**結果は倍精度演算でも十分な精度となっている。
n=7とn=8の差は $h=0.16$ (N=41), $h=0.2$ (N=33)
の違いによる。**

**一般にDEでは倍精度演算ではN=40-50で
十分な精度が得られる。**

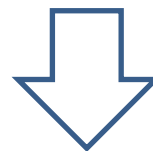
このためx,yを以下の様に一次元化

```
do i1=1,n
xx=x30(i1)
by=1.0d0-xx
do i2=1,n
yy=x30(i2)*by
bz=1.0d0-xx-yy
```



```
do i1=1,n*n
xx=xlist(i1)
yy=ylist(i1)
bz=1.0d-xx-yy
```

gw30(i1)*by*gw30(i2)



wlist(i1)

前処理

```
l=0
do ip=1,n
x1=x30(ip)
b2=1.0d0-x1
do iq=1,n
x2=x30(iq)*b2
l=l+1
xlist(l)=x1
ylist(i)=x2
wlist(l)=gw30(ip)*b2*gw30(iq)
end do
end do
```


4.6.4 4-6次元積分計算

4.6.4.1 S221計算

$$S^{221}(s; m_1^2, m_2^2, m_3^2, m_4^2, m_5^2) = \int_0^1 \int_0^{1-x} \int_0^{1-x-y} \int_0^{1-x-y-z} \frac{1}{DC} dudzdydx$$

$$C = (x + y + z + u)(1 - x - y - z - u) + (x + y)(z + u)$$

$$E = (1 - x - y - z - u)(x + z)(y + u) + (x + y)zu + (z + u)xy$$

$$M^2 = xm_1^2 + ym_2^2 + zm_3^2 + um_4^2 + (1 - x - y - z - u)m_5^2$$

$$D = -sE + M^2C$$

$$s^{221}(-1 : 100, 100, 0, 0, 100)$$

解析近似解 : 0.0380004438127

| | | | | | |
|------------|----------------------------|------------|------|-------|--|
| | | | | | |
| | サイズ N=2048,演算量=281622GFLOP | | | | |
| | テーブルサイズ 32KB | | | | |
| | | | | | |
| | SR16000/M1 | 1ノード | BG/Q | 32ノード | |
| | | | | | |
| 計算機 | SR16000/M1 | SR16000/M1 | BG/Q | BG/Q | |
| 並列化 | smt=1 | smt=2 | flat | smp | |
| 実行時間(秒) | 1872 | 1187 | 244 | 207 | |
| 性能(GFLOPs) | 150 | 237 | 1054 | 1360 | |

$$S^{221} (5; 1001000, 0, 100)$$

$$\varepsilon = 1.2^{-15}$$

$$N = 1024$$

GPU

HD5870 122.551 sec

HD6970 55.667 sec

HOST

HD5870 79903.86 sec

HD6970 96984.31 sec

$S^{221}(-1;100,100,0,0,100)$ の性能測定結果

サイズ N=576,演算量 1762GFLOP (性能モニター)

X5570,SR11000 自動並列,E5430 MPI

| スレッド数 | X5570 | | E5430 | | SR11000 | |
|-------|---------|--------|---------|--------|---------|--------|
| | 実行時間 | 性能 | 実行時間 | 性能 | 実行時間 | 性能 |
| | 秒 | GFLOPs | 秒 | GFLOPs | 秒 | GFLOPs |
| 1 | 367.441 | 4.795 | 460.579 | 3.826 | 1477.16 | 1.193 |
| 2 | 204.562 | 8.614 | 232.52 | 7.578 | 738.884 | 2.385 |
| 4 | 98.036 | 17.973 | 116.234 | 15.159 | 369.904 | 4.763 |
| 8 | 48.402 | 36.403 | 90.206 | 19.533 | 185.167 | 9.516 |
| 16 | 57.326 | 30.736 | 58.128 | 30.312 | 92.873 | 18.972 |
| 32 | | | 28.79 | 61.202 | | |
| | | | | MPI16 | 175.644 | 10.032 |
| | | | | MPI32 | 87.315 | 20.18 |
| | | | | MPI64 | 43.782 | 40.245 |

BG/L MPI

| スレッド数 | N | 演算量 | 実行時間 | 性能 |
|-------|------|--------|---------|---------|
| | | GFLOP | 秒 | GFLOPs |
| 256 | 1024 | 17601 | 273.879 | 64.266 |
| 512 | 1024 | 17601 | 136.939 | 128.532 |
| 1024 | 1024 | 17601 | 68.469 | 257.065 |
| 2048 | 2048 | 281622 | 557.638 | 505.027 |

$S^{221}(1;100,100,0,100)$ の性能測定結果

ϵ -算法 反復回数 15回

| CPU | N | 演算量 | スレッド数 | 実行時間 | 性能 |
|-------|------|--------|-------|------|--------|
| | | GFLOP | | 秒 | GFLOPs |
| BG/L | 1024 | 264015 | 1024 | 1061 | 249 |
| X5570 | 548 | 21660 | 8 | 609 | 36 |
| E5430 | 576 | 26430 | 32 | 516 | 51 |

| $s^{221}(5;100,100,0,0,100) \quad \varepsilon = 1.2^{-15} \quad N = 1024$ | | | |
|---|---------|------------|---------|
| 演算量 | | 17601GFLOP | |
| 実行時間(秒)一覧表 | | | |
| ボード数 | HD5870 | | HD6970 |
| | gpu0 | gpu1 | |
| 1 | 242.313 | 243.377 | 221.059 |
| 2 | 122.455 | | 110.715 |
| 3 | | | 74.519 |
| 4 | | | 55.638 |

**HD5870 143GFLOPs, HD6970 316GFLOPs
SR16000/M1 システムに匹敵する性能が
でています。**

| | | GPU |
|--------|----------|------|
| HD5870 | 122.551 | sec |
| HD6970 | 55.667 | sec |
| | | HOST |
| HD5870 | 79903.86 | sec |
| HD6970 | 96984.31 | sec |

**GPU がHOSTに比べて非常に良い性能が
でています**

HOSTコンピュータでの性能が低い事の原因追究

(1) GPU用に4重DOループを2重DOループにしたのが原因？(4次元積分,2次元積分)

(2) 使用コンパイラの問題では？

実行時間一覧表(秒)

| cpu | コンパイラ | 4次元積分 | 2次元積分 | |
|-------|--------------|-------|-------|------|
| x5570 | gcc | 60808 | 57308 | |
| x5570 | ifort | 4227 | 6255 | |
| cpu | コンパイラ | 4次元積分 | 2次元積分 | |
| e5430 | icc | 5918 | 12616 | |
| e5430 | icc parallel | 928 | 2785 | 8smp |



ソースで二次元化したためキャッシュミスが発生。
コンパイラの最適化処理能力。



GPUでのチューニングは、容量の大きいベクトルレジスタを持ったベクトル機でのチューニングと同じ傾向を示します。

スーパーコンピュータでの4次元積分と2次元積分の比較

| 実行時間一覧表 (秒) | | 64MPI | |
|-------------|----------|----------|--|
| CPU | 4次元積分 | 2次元積分 | |
| xm1 | 15.00185 | 25.03721 | |
| SR16000/M1 | 8.80442 | 17.75754 | |
| T2K | 11.88899 | 31.80749 | |

4次元積分の方が性能が良いという傾向はサーバー系x5570,e5430と同じ。

f90とxlf_r コンパイラの比較

$S^{221}(-1;100,100,0,0,100)$ $N = 1152$

演算量 = 47505 GFLOP

SR16000/M1,xm1 1ノード

| | cpu | smp数 | f90 | xlf_r |
|--|------------|------|---------|--------|
| | xm1 | 32 | 247.354 | 133.49 |
| | xm1 | 64 | 279.959 | 131.89 |
| | xm1 | 96 | 274.067 | 133.65 |
| | xm1 | 128 | 205.521 | 130.01 |
| | SR16000/M1 | 64 | 178.875 | |
| | SR16000/M1 | 32 | 147.387 | |

**f90 xm1 実行効率27.4%,
SR16000/M1 32.9%**

と非常に良い値がでています。

**xlf_r はf90以上に実行効率43.3%とよく、
キャッシュの有効利用とSIMDが非常によく効いています。**

SR16000,E5-2670,Phi5110Pの比較の結果は以下の様になっています。

4次元積分実行時間一覧表(秒)

| case | 精度 | SR16000 | E5-2670 | Phi5110P | 演算量 | |
|-------|-------|-----------|-----------|-------------|-------------|------|
| | | 32core | 64smp | | ((GFLOP) | |
| case1 | 倍精度 | 11.698903 | 11.645035 | 27.618532 | 17.836520 | 2976 |
| case1 | 拡張倍精度 | | | 108.657508 | 257.571165 | |
| case2 | 倍精度 | 24.126208 | 30.395169 | 26.958704 | 17.815714 | 4568 |
| case2 | 拡張倍精度 | | | 108.635537 | 256.691088 | |
| case2 | 4倍精度 | | | 4538.965000 | 9762.636500 | |

- (1) 多重DOループの一重化はE5-2670, Phi5110Pは若干速くなりますがSR16000は2~3倍程度遅くなっています。
- (2) ieee754-2008形式の4倍精度は非常に遅くなっています。

サイズを大きくした場合とHD5870との比較は以下の様になっています。

| 4次元積分計算詳細テスト結果 (s221) | | | | |
|-----------------------|-------------|-------------|------------|------------|
| case2 | N=1200 | 実行時間(秒) | | |
| 精度 | E5-2670 | Phi5110P | | |
| | 16smp | 240core | | |
| 倍精度 | 506.127663 | 287.737872 | | |
| 拡張倍精度 | 2047.347488 | 4682.559193 | | |
| case2 | | 実行時間(秒) | | |
| 精度 | HD5870 | | Phi5110P | |
| | 1面 | 2面 | 192core | 240core |
| 倍精度 | 27.190329 | 13.814706 | 19.255160 | 17.815714 |
| 拡張倍精度 | | | 302.454400 | 256.691088 |
| 4倍精度 | 453.623999 | 232.079049 | | |

Phi5110Pは倍精度は高速でE5-2670は拡張倍精度が高速。HD5870の4倍精度はdd形式のため高速です。

S²²¹ テスト
 S²²¹ (-1,100 ,100 ,0,0,100)
 N = 576

| | |
|------|-------|
| 演算量 | GFLOP |
| 倍精度 | 4568 |
| 4倍精度 | 42187 |

SR16000 実行時間(秒)

| | | |
|------|------------|------------|
| 精度 | 32core | 64smp |
| 倍精度 | 30.395169 | 24.126208 |
| 4倍精度 | 550.758631 | 330.429147 |

E5-2670 16SMP

| | |
|-------|-----------|
| 精度 | 実行時間(秒) |
| 倍精度 | 26.9587 |
| 拡張倍精度 | 108.6355 |
| 4倍精度 | 4008.4746 |

HD5870 実行時間(秒)

| | | |
|------|----------|----------|
| 精度 | 1面 | 2面 |
| 倍精度 | 27.1903 | 13.8147 |
| 4倍精度 | 453.6240 | 232.0790 |

Phi5110P 実行時間(秒)

| | | | | |
|-------|------------|------------|-----------|-----------|
| 精度 | 1smp /core | 2 smp/core | 3smp/core | 4smp/core |
| 倍精度 | 42.0126 | 27.6116 | 23.3237 | 20.6132 |
| 拡張倍精度 | 335.2602 | 258.8425 | 255.4137 | 249.6453 |
| 4倍精度 | 3364.0728 | 1822.1579 | 1683.9084 | 1488.7508 |

HD6970 実行時間(秒)

| | | | | |
|------|------------|------------|------------|-----------|
| 精度 | 一面 | 二面 | 三面 | 四面 |
| 倍精度 | 11.443008 | 5.923182 | 4.036383 | 3.196938 |
| 4倍精度 | 322.827294 | 162.131639 | 107.290817 | 82.046807 |

グラフィックボード性能比較表

| | | | |
|------|------------|------------|------------|
| 精度 | HD7970 | W8000 | HD7980 |
| 倍精度 | 9.164966 | 9.455362 | 9.963973 |
| 4倍精度 | 267.937949 | 305.351604 | 304.181516 |

4.6.4.2 5次元積分計算

laportad

$$I = \int_0^1 \int_0^{1-x_1} \int_0^{1-x_1-x_2} \int_0^{1-x_1-x_2-x_3} \int_0^{1-x_1-x_2-x_3-x_4} \frac{1}{D^2} dx_5 dx_4 dx_3 dx_2 dx_1$$

$$x_6 = 1 - x_1 - x_2 - x_3 - x_4 - x_5$$

D =

$$\begin{aligned} & \&-x1^{**2}*x2-x1^{**2}*x3-x1^{**2}*x4-x1^{**2}*x6-x1*x2^{**2}-x1*x2*x3 \\ & \&-2.d0*x1*x2*x4 \\ & \&-x1*x2*x5-x1*x2*x6-x1*x3^{**2}-2.d0*x1*x3*x4-x1*x3*x5- \\ x1*x3*x6 \\ & \&-x1*x4^{**2} \\ & \&-x1*x4*x5-2.d0*x1*x4*x6-x1*x5*x6-x1*x6^{**2}-x2^{**2}*x4- \\ x2^{**2}*x5 \\ & \&-x2*x3*x4 \\ & \&-x2*x3*x5-x2*x4^{**2}-2.d0*x2*x4*x5-x2*x4*x6-x2*x5^{**2}- \\ x2*x5*x6 \\ & \&-x3^{**2}*x4 \\ & \&-x3^{**2}*x5-x3*x4^{**2}-2.d0*x3*x4*x5-x3*x4*x6-x3*x5^{**2}- \\ x3*x5*x6 \\ & \&-x4^{**2}*x5 \\ & \&-x4^{**2}*x6-x4*x5^{**2}-3.d0*x4*x5*x6-x4*x6^{**2}-x5^{**2}*x6- \\ x5*x6^{**2} \end{aligned}$$

解析近似解=0.2762092253588

laportaf

$$I = \int_0^1 \int_0^{1-x_1} \int_0^{1-x_1-x_2} \int_0^{1-x_1-x_2-x_3} \int_0^{1-x_1-x_2-x_3-x_4} \frac{1}{D^2} dx_5 dx_4 dx_3 dx_2 dx_1$$

$$x_6 = 1 - x_1 - x_2 - x_3 - x_4 - x_5$$

D=

$$\begin{aligned} &.-x1*x1*x2-x1*x1*x4-x1*x1*x5-x1*x1*x6-x1*x2*x2-x1*x2*x3 \\ &.-x1*x2*x4 \\ &.-2.0d0*x1*x2*x5-2.0d0*x1*x2*x6-x1*x3*x4-x1*x3*x5-x1*x3*x6 \\ &.-x1*x4*x4-3.0d0*x1*x4*x5 \\ &.-2.0d0*x1*x4*x6-x1*x5*x5-x1*x5*x6- x1*x6*x6-x2*x2*x3 \\ &.-x2*x2*x5-x2*x2*x6 \\ &.-x2*x3*x3-x2*x3*x4-x2*x3*x5-2.0d0*x2*x3*x6-x2*x4*x5 \\ &.-x2*x4*x6-x2*x5*x5-x2*x5*x6-x2*x6*x6-x3*x3*x4-x3*x3*x5 \\ &.-x3*x3*x6-x3*x4*x4-2.0d0*x3*x4*x5-2.0d0*x3*x4*x6- \\ &x3*x5*x5-x3*x5*x6 \\ &.-x3*x6*x6-x4*x4*x5-x4*x4*x6-x4*x5*x5-x4*x5*x6-x4*x6*x6 \end{aligned}$$

解析解は算出できなかったため,2つの異なる積分方法で結果を確認。

Laporta (d)

**SR16000/M1,xm1 1ノード。
サイズN=128、演算量 2668GFLOP**

| 実行時間（秒）一覧表 | | | | | | |
|------------|--------|--------|------------|--------|------------|--------|
| smp数 | xm1 | | sr16000/M1 | | SR16000/M1 | |
| | f90 | xl_f_r | f90 | xl_f_r | f90 | xl_f_r |
| 32 | 30.005 | 52.86 | 11.615 | 38.46 | | |
| 64 | 31.151 | 54.52 | 7.498 | 38.51 | | |
| 128 | 19.369 | 54.08 | | | | |

**f90,SR16000/M1 の実行効率36.2%と
突出して良い値となっています。**

laporta (f)

サイズN=128、演算量 3642GFLOP
ソースは二次元積分

スーパーコンピュータとGPU

| | 実行時間(秒) | | | | | |
|---------|---------|------|------|-------------|----------------|-------------|
| CPU | ノード数 | smp数 | mpi数 | 実行時間 (秒) | 性能 (GFLOPs) | 実行効率 (%) |
| BG/Q | 32 | 1 | 2048 | 1.289 | 2825 | 43.1 |
| SR16000 | 1 | 64 | 1 | 8.808 | 413 | 42.2 |
| HD5870 | 2 | 3200 | 1 | 8.094 | 450 | 41.4 |
| HD6970 | 4 | 6144 | 1 | 4.252 | 857 | 31.7 |

どの機種も高い実行効率をしめしています。

GPUとHOST

| | 実行時間(秒) | | |
|--------|---------|------|----------|
| cpu | gpu | host | host/gpu |
| HD5870 | 8.094 | 2459 | 304 |
| HD6970 | 4.252 | 3009 | 708 |

各種計算機詳細

| GPU | | | | |
|----------------------------------|------|--------|--------|--------|
| 実行時間(秒)一覧表 | | | | |
| | ボード数 | HD5870 | | HD6970 |
| | | gpu0 | gpu1 | |
| | 1 | 15.678 | 15.702 | 15.428 |
| | 2 | 8.08 | | 7.894 |
| | 3 | | | 5.448 |
| | 4 | | | 4.251 |
| BG/Q | | | | |
| case1 -O5 -qhot=level=2 | | | | |
| case2 -O3 -qstrict -qhot=level=1 | | | | |
| 32ノード実行時間(秒) | | | | |
| | case | flat | hybrid | |
| | 1 | 1.289 | 1.324 | |
| | 2 | 4.855 | 4.106 | |

GPU:ボード数の効果がよくでています。
BG/Q: コンパイルオプションの効果が大きい。
オプションによりflat MPIとハイブリッドMPI
の効果が変わっています。

| | | | | | |
|----------------------|-----------|-------------|----------------|----------------|-------------|
| SR16000/M1 | | | | | |
| 1ノード実行時間(秒) | | | | | |
| | smt | smp | 実行時間 (秒) | 性能 (GFLOPs) | 実行効率 (%) |
| | on | 64 | 7.909 | 460 | 47 |
| | off | 32 | 11.674 | 312 | 31.8 |
| T2K | | | | | |
| 実行時間(秒)一覧表 | | | | | |
| | MPI数 | 実行時間 (秒) | 性能 (GFLOPs) | 実行効率 (%) | |
| | 64 | 17.275 | 211 | 35.6 | |
| | 128 | 8.646 | 421 | 35.8 | |
| | 256 | 4.33 | 841 | 35.8 | |
| | 512 | 2.199 | 1656 | 35.2 | |
| XM1 | | | | | |
| 実行時間(秒)一覧表 論理コア数64 | | | | | |
| f90 | smt | 32 | 64 | | |
| | on | 88.458 | 55.063 | | |
| | off | 57.756 | | | |
| xlf_r | execution | 29.01 | 18.95 | | |
| 実行時間(秒)一覧表 論理コア数 128 | | | | | |
| | smp | 32 | 64 | 128 | |
| | f90 | 40.911 | 38.31 | 24.677 | |
| | xlf_r | 26.62 | 22.22 | 20.82 | |

SR16000/M1,T2K とともに実行効率は高くなっています。

Xm1: 論理コア数増加の効果はf90に大きくでています。

| | | | | | | | |
|------------|---------|-------|---------|---------|----------|---------|--------|
| 演算量 | (N=120) | | | | | | |
| case | GFLOP | | | | | | |
| laporta d | 2514 | | | | | | |
| laporta f | 2638 | | | | | | |
| 実行時間一覧表(秒) | | | | | | | |
| CPU | SR16000 | | E5-2670 | | Phi5110P | | HD5870 |
| プログラム | 32core | 64smp | c | fortran | c | fortran | 2面 |
| laporta d | 8.404 | 5.426 | 27.756 | 27.621 | 7.474 | 7.665 | 5.868 |
| laporta f | 9.841 | 6.373 | 28.275 | 27.921 | 7.324 | 7.462 | 5.928 |

演算量が約2500GFLOP程度だとSR16000とPhi5110P,HD5870の性能はほぼ等しい。これは4次元積分でも同様でした。

4.6.4.3 6次元積分計算

laportag

$$I = \int_0^1 \int_0^{1-x_1} \int_0^{1-x_1-x_2} \int_0^{1-x_1-x_2-x_3} \int_0^{1-x_1-x_2-x_3-x_5} \int_0^{1-x_1-x_2-x_3-x_5-x_6} \frac{C}{D^3} dx_7 dx_6 dx_5 dx_3 dx_2 dx_1$$

$$x_4 = 1 - x_1 - x_2 - x_3 - x_5 - x_6 - x_7$$

$$C = x_1 * x_4 + x_1 * x_5 + x_1 * x_6 + x_2 * x_4 + x_2 * x_5 + x_2 * x_6 + x_3 * x_4 + x_3 * x_5 + x_3 * x_6 + x_4 * x_5$$

$$\& + x_4 * x_6 + x_4 * x_7 + x_5 * x_7 + x_6 * x_7$$

$$D =$$

$$\&-$$

$$(x_1^{**2} + x_2^{**2} + x_3^{**2} + x_7^{**2} + x_1 * x_2 + x_1 * x_3 + x_1 * x_7 + x_2 * x_3 + x_2 * x_7 + x_3 * x_7)$$

$$\& * (x_4 + x_5 + x_6)$$

$$\&- x_4^{**2} * (x_1 + x_2 + x_3 + x_5 + x_6 + x_7)$$

$$\&- (x_5^{**2} + x_6^{**2} + x_5 * x_6) * (x_1 + x_2 + x_3 + x_4 + x_7)$$

$$\&- 3.0 * x_4 * (x_1 * x_5 + x_6 * x_7)$$

$$\&- 2.0 * ((x_1 + x_2 + x_3) * x_4 * x_6 + (x_2 + x_3 + x_7) * x_4 * x_5)$$

解析近似解=0.1723367907503

laportah

$$I = \int_0^1 \int_0^{1-x_1} \int_0^{1-x_1-x_3} \int_0^{1-x_1-x_3-x_2} \int_0^{1-x_1-x_3-x_2-x_7} \int_0^{1-x_1-x_3-x_2-x_7-x_6} \frac{C}{D^3} dx_4 dx_6 dx_7 dx_2 dx_3 dx_1$$

$$x_5 = 1 - x_1 - x_3 - x_2 - x_7 - x_6 - x_4$$

$$C = (x_1 + x_2 + x_3 + x_4) * (x_4 + x_5 + x_6 + x_7) - x_4 * x_4$$

$$cc = x_1 * m_{12} + x_2 * m_{22} + x_3 * m_{32} + x_4 * m_{42} + x_5 * m_{52} + x_6 * m_{62} + x_7 * m_{72}$$

$$D = -c * cc$$

$$. + s * (x_1 * x_2 * (x_4 + x_5 + x_6 + x_7) + x_5 * x_6 * (x_1 + x_2 + x_3 + x_4) + x_1 * x_4 * x_6 + x_2 * x_4 * x_5)$$

$$. + t * x_3 * x_4 * x_7$$

$$. + p_{12} * (x_1 * x_3 * (x_4 + x_5 + x_6 + x_7) + x_3 * x_4 * x_5)$$

$$. + p_{22} * (x_2 * x_3 * (x_4 + x_5 + x_6 + x_7) + x_3 * x_4 * x_6)$$

$$. + p_{32} * (x_5 * x_7 * (x_1 + x_2 + x_3 + x_4) + x_1 * x_4 * x_7)$$

$$. + p_{42} * (x_6 * x_7 * (x_1 + x_2 + x_3 + x_4) + x_2 * x_4 * x_7)$$

テストデータ

m12=1.0d0

m22=1.0d0

m32=1.0d0

m42=1.0d0

m52=1.0d0

m62=1.0d0

m72=1.0d0

p12=1.0d0

p22=1.0d0

p32=1.0d0

p42=1.0d0

s =1.0d0

t =1.0d0

解析近似解=0.1036407209893

aportai

$$I = \int_0^1 \int_0^{1-x_1} \int_0^{1-x_1-x_2} \int_0^{1-x_1-x_2-x_3} \int_0^{1-x_1-x_2-x_3-x_4} \int_0^{1-x_1-x_2-x_3-x_4-x_5} \frac{C}{D^3} dx_6 dx_5 dx_4 dx_3 dx_2 dx_1$$

$$x_7 = 1 - x_1 - x_2 - x_3 - x_4 - x_5 - x_6$$

$$C = (x_1 + x_2 + x_3 + x_4 + x_5) * (x_1 + x_2 + x_3 + x_6 + x_7) - (x_1 + x_2 + x_3) ** 2$$

$$cc = x_1 * m_{12} + x_2 * m_{22} + x_3 * m_{32} + x_4 * m_{42} + x_5 * m_{52} + x_6 * m_{62} + x_7 * m_{72}$$

$$D = -c * cc$$

$$. + s * (x_1 * x_2 * (x_4 + x_5 + x_6 + x_7) + x_1 * x_5 * x_6 + x_2 * x_4 * x_7 - x_3 * x_4 * x_6)$$

$$. + t * x_3 * (-x_4 * x_6 + x_5 * x_7)$$

$$. + p_{12} * (x_1 * x_3 * (x_4 + x_5 + x_6 + x_7) + x_3 * x_4 * (x_6 + x_7))$$

$$. + p_{22} * (x_2 * x_3 * (x_4 + x_5 + x_6 + x_7) + x_3 * x_6 * (x_4 + x_5))$$

$$. + p_{32} * (x_4 * x_5 * (x_1 + x_2 + x_3 + x_6 + x_7) + x_4 * x_6 * (x_2 + x_3) + x_1 * x_5 * x_7)$$

$$. + p_{42} * (x_6 * x_7 * (x_1 + x_2 + x_3 + x_4 + x_5) + x_4 * x_6 * (x_1 + x_3) + x_2 * x_5 * x_7)$$

テストデータ

m12=1.0d0

m22=1.0d0

m32=1.0d0

m42=1.0d0

m52=1.0d0

m62=1.0d0

m72=1.0d0

p12=1.0d0

p22=1.0d0

p32=1.0d0

p42=1.0d0

s =1.0d0

t =1.0d0

解析近似解=0.0853513981538

6次元積分実行結果一覧表

演算量 (N=120)

| case | GFLOP |
|-----------|--------|
| laporta g | 312064 |
| laporat h | 243328 |
| laporta i | 232896 |

実行時間一覧表(秒)

| cpu | SR16000 | | E5-2670 | | Phi5110P | | HD5870 |
|-----------|----------|----------|----------|----------|----------|----------|---------|
| プログラム | 32core | 64smp | c | fortran | c | fortran | 二面 |
| laporta g | 2223.744 | 1418.553 | 2385.352 | 2907.167 | 962.356 | 943.418 | 589.471 |
| laporat h | 1929.049 | 1256.823 | 2096.437 | 2717.488 | 925.742 | 959.321 | 568.483 |
| laporta i | 2212.909 | 1408.712 | 2467.079 | 4071.100 | 888.431 | 1063.900 | 606.803 |

演算量がこれだけ大きくなると,Phi5110P, HD5870の性能がSR16000を大きく上回ります。また,Phi5110P,HD5870のカタログ性能はほぼ同じですがHD5870の性能がPhi5110Pの倍近く良くなっています。これはPhi5110Pは60CPU, 240coreという構成によるものと考えられます。

laporta 計算結果一覧表

演算量 (N=120)

| プログラム | GFLOP |
|-----------|--------|
| LAPORTA D | 2514 |
| LAPORTA F | 2638 |
| LAPORTA G | 312064 |
| LAPORTA H | 243328 |
| LAPORTA I | 232896 |

実行時間一覧表(秒)

SR16000

| プログラム | 32core | 64smp |
|-----------|----------|----------|
| LAPORTA D | 8.404 | 5.426 |
| LAPORTA F | 9.841 | 6.373 |
| LAPORTA G | 2223.744 | 1418.553 |
| LAPORTA H | 1929.049 | 1256.823 |
| LAPORTA I | 2212.909 | 1408.712 |

E5-2670 HOST 16smp

| プログラム | c | fortran |
|-----------|----------|----------|
| LAPORTA D | 27.756 | 27.621 |
| LAPORTA F | 28.275 | 27.921 |
| LAPORTA G | 2385.352 | 2907.167 |
| LAPORTA H | 2096.437 | 2717.488 |
| LAPORTA I | 2467.079 | 4071.100 |

Phi 240smp(60core)

| プログラム | c | fortran |
|-----------|---------|----------|
| LAPORTA D | 7.474 | 7.665 |
| LAPORTA F | 7.324 | 7.462 |
| LAPORTA G | 962.356 | 943.418 |
| LAPORTA H | 925.742 | 959.321 |
| LAPORTA I | 888.431 | 1063.900 |

| laporta | Phi5110P | 実行時間(秒)一覧表 | | |
|-----------|-------------|------------|------------|------------|
| プログラム | 1smp /core | 2smp /core | 3smp /core | 4smp /core |
| laporta d | 15.894091 | 8.930061 | 8.245382 | 7.477543 |
| laporta f | 15.883854 | 9.015369 | 7.781932 | 7.302511 |
| laporta g | 1567.222350 | 947.766614 | 956.547483 | 893.604456 |
| laporta h | 1475.760124 | 890.712335 | 840.753795 | 794.503370 |
| laporta i | 1682.613524 | 973.251626 | 936.788364 | 908.041320 |

グラフィックボード性能比較表

| | 実行時間(秒) | | | |
|-----------|------------|------------|------------|--|
| プログラム | HD7970 | W8000 | HD7980 | |
| laporta d | 7.541418 | 7.764761 | 8.173080 | |
| laporta f | 7.600745 | 7.821768 | 8.249741 | |
| laporta g | 718.902868 | 738.792693 | 745.477537 | |
| laporta h | 684.978227 | 710.901497 | 745.486218 | |
| laporta i | 766.602135 | 788.137704 | 834.070693 | |

SR16000/M1 複数ノード

LAPORTA (D)

| MPI数 | ノード数 | 実行時間 (秒) |
|------|------|-------------|
| 128 | 4 | 3.231716 |
| 256 | 4 | 2.165075 |
| 256 | 8 | 1.617797 |
| 512 | 8 | 1.107155 |

LAPORTA(G)

| MPI数 | ノード数 | 実行時間 (秒) |
|------|------|-------------|
| 128 | 4 | 684.465022 |
| 256 | 4 | 544.483556 |
| 256 | 8 | 345.817823 |
| 512 | 8 | 277.552501 |

LAPORTA (H)

| MPI数 | ノード数 | 実行時間 (秒) |
|------|------|-------------|
| 128 | 4 | 541.664086 |
| 256 | 4 | 387.666776 |
| 256 | 8 | 270.937051 |
| 512 | 8 | 198.333612 |

LAPORTA (I)

| MPI数 | ノード数 | 実行時間 (秒) |
|------|------|-------------|
| 128 | 4 | 728.709051 |
| 256 | 4 | 508.013126 |
| 256 | 8 | 368.304897 |
| 512 | 8 | 258.708141 |

S221 N=2048

| MPI数 | ノード数 | 実行時間 (秒) |
|------|------|-------------|
| 128 | 4 | 467.774509 |
| 256 | 4 | 412.210191 |
| 256 | 8 | 233.916246 |
| 512 | 8 | 206.360301 |

GPGPU

LAPORTA

| プログラム | 実行時間(秒) |
|-------|-------------|
| D | 5.85 |
| G | 589.553 |
| H | 569.934 |
| I | 611.884 |
| S221 | 2166.834527 |

BG/Q

LAPORTA(D)

| MPI数 | ノード数 | 実行時間 (秒) |
|------|------|-------------|
| 512 | 32 | 12.844877 |
| 1024 | 32 | 6.633127 |
| 2048 | 32 | 3.967958 |

LAPORTA(G)

| MPI数 | ノード数 | 実行時間 (秒) |
|------|------|-------------|
| 512 | 32 | 977.217064 |
| 1024 | 32 | 541.747376 |
| 2048 | 32 | 439.703755 |

LAPORTA(H)

| MPI数 | ノード数 | 実行時間 (秒) |
|------|------|-------------|
| 512 | 32 | 946.719043 |
| 1024 | 32 | 514.122564 |
| 2048 | 32 | 391.466375 |

LAPORTA(I)

| MPI数 | ノード数 | 実行時間 (秒) |
|------|------|-------------|
| 512 | 32 | 954.046258 |
| 1024 | 32 | 532.563084 |
| 2048 | 32 | 430.696899 |

S221 N=2048

| MPI数 | ノード数 | 実行時間 (秒) |
|------|------|-------------|
| 512 | 32 | 2144.31316 |
| 1024 | 32 | 1161.5669 |
| 2048 | 32 | 801.675789 |

理論最大性能(GFLOPs)

BG/Q 6553.6

SR16000 4node 3921.92

8node 7843.84

GPGPU 1088

4.6.5 3loop積分

今回扱った3loop積分は

$$\int_0^1 \int_0^{1-x_1} \int_0^{1-x_1-x_2} \int_0^{1-x_1-x_2-x_3} \int_0^{1-x_1-x_2-x_3-x_4} \int_0^{1-x_1-x_2-x_3-x_4-x_5} \int_0^{1-x_1-x_2-x_3-x_4-x_5-x_6} \frac{1}{D^2} d\Omega$$

$$d\Omega = dx_7 dx_6 dx_5 dx_4 dx_3 dx_2 dx_1$$

でDが次の3ケース(N0, L01, L02)の場合です。

解析解は $20\zeta_5 = 20.7385551028673985\dots$

| 3 loop | | 実行結果一覧表 | |
|--------|--------------|---------|------|
| N = 25 | | | |
| 刻み幅 | | | |
| N 0 | h = 4.734897 | / 24 | |
| L 01 | h = 4.696708 | / 24 | |
| L 02 | h = 4.705669 | / 24 | |
| | SR16000 | 64smp | 4倍精度 |
| | プログラム | 実行時間(秒) | |
| | N0 | 93.6390 | |
| | L01 | 81.0711 | |
| | L02 | 67.2363 | |

NO

$$x_8 = 1.0 - x_1 - x_2 - x_3 - x_4 - x_5 - x_6 - x_7$$

$$x_{23} = x_2 + x_3$$

$$x_{24} = x_2 + x_4$$

$$x_{247} = x_2 + x_4 + x_7$$

$$x_{1235} = x_1 + x_2 + x_3 + x_5$$

$$x_{2346} = x_2 + x_3 + x_4 + x_6$$

$$x_{5678} = x_5 + x_6 + x_7 + x_8$$

$$\begin{aligned} D = & x_{24}^2 x_5^2 - x_{2346} x_{247} x_5^2 - x_2^2 x_{2346} x_{5678} \\ & + 2 x_2 x_{23} x_{24} x_{5678} - x_{1235} x_{24}^2 x_{5678} \\ & - x_{23}^2 x_{247} x_{5678} + x_{1235} x_{2346} x_{247} x_{5678} \\ & + 2 x_2 x_{24} x_5 x_6 - 2 x_{23} x_{247} x_5 x_6 + x_2^2 x_6^2 \\ & - x_{1235} x_{247} x_6^2 + 2 x_2 x_{2346} x_5 x_7 \\ & - 2 x_{23} x_{24} x_5 x_7 + 2 x_2 x_{23} x_6 x_7 \\ & - 2 x_{1235} x_{24} x_6 x_7 + x_{23}^2 x_7^2 - x_{1235} x_{2346} x_7^2 \end{aligned}$$

L01

$$x_8 = 1.0 - x_1 - x_2 - x_3 - x_4 - x_5 - x_6 - x_7$$

$$x_{123} = x_1 + x_2 + x_3$$

$$x_{167} = x_1 + x_6 + x_7$$

$$x_{348} = x_3 + x_8 + x_4$$

$$x_{2578} = x_2 + x_5 + x_7 + x_8$$

$$\begin{aligned} D &= -x_{167} * x_{2578} * x_3^{**2} - x_{167} * x_2^{**2} * x_{348} - x_1^{**2} * x_{2578} * x_{348} \\ &+ x_{123} * x_{167} * x_{2578} * x_{348} - 2 * x_1 * x_2 * x_{348} * x_7 + x_3^{**2} * x_7^{**2} \\ &- x_{123} * x_{348} * x_7^{**2} - 2 * x_{167} * x_2 * x_3 * x_8 - 2 * x_1 * x_3 * x_7 * x_8 \\ &+ x_1^{**2} * x_8^{**2} - x_{123} * x_{167} * x_8^{**2} \end{aligned}$$

L02

$$x_8 = 1.0 - x_1 - x_2 - x_3 - x_4 - x_5 - x_6 - x_7$$

$$x_{123} = x_1 + x_2 + x_3$$

$$x_{1456} = x_1 + x_4 + x_5 + x_6$$

$$x_{678} = x_6 + x_7 + x_8$$

$$x_{247} = x_2 + x_4 + x_7$$

$$\begin{aligned} D &= x_2^{**2} * x_6^{**2} - x_{123} * x_{247} * x_6^{**2} - x_{1456} * x_2^{**2} * x_{678} \\ &- x_1^{**2} * x_{247} * x_{678} + x_{123} * x_{1456} * x_{247} * x_{678} - 2 * x_1 * x_2 * x_4 * x_{678} \\ &- x_{123} * x_4^{**2} * x_{678} - 2 * x_1 * x_2 * x_6 * x_7 - 2 * x_{123} * x_4 * x_6 * x_7 \\ &+ x_1^{**2} * x_7^{**2} - x_{123} * x_{1456} * x_7^{**2} \end{aligned}$$

4.6.6 4loop積分

今回扱った4loop積分は

$$\int_0^1 \int_0^{1-x_1} \int_0^{1-x_1-x_2} \int_0^{1-x_1-x_2-x_3} \int_0^{1-x_1-x_2-x_3-x_4} \int_0^{1-x_1-x_2-x_3-x_4-x_5} \int_0^{1-x_1-x_2-x_3-x_4-x_5-x_6} \int_0^{1-x_1-x_2-x_3-x_4-x_5-x_6-x_7}$$

$$\frac{1}{CD} d\Omega = dx_8 dx_7 dx_6 dx_5 dx_4 dx_3 dx_2 dx_1$$

でC,Dが次の2ケース(M_{44}, M_{45})の場合です。

解析解は

$$M_{44} \text{ は } \frac{441\zeta_7}{8} = 55.5852539156784\dots。$$

$$M_{45} \text{ は } 36\zeta_3^2 = 52.017868743610\dots。$$

演算精度に関しては、解析解と10進10桁以上

合わせるには

M_{44} では倍精度演算で事足ります。

M_{45} では、拡張倍精度、4倍精度演算が必要。

M₄₄ 実行結果一覧表

条件: 分点数25

刻み幅 = 4.813324 / 24

$$t_{\max} = 2.406662, \varepsilon^2 = 2^{-49.88652029} \doteq 9.6 \times 10^{-16}$$

E5-2670 16smp —O1 —OPENMP

| 言語 | 精度 | 実行時間(秒) | 備考 |
|---------|-------|------------|-----|
| FORTRAN | 倍精度 | 206.9346 | |
| C | 倍精度 | 227.7403 | |
| C | 拡張倍精度 | 491.3110 | |
| FORTRAN | 4倍精度 | 22487.9081 | |
| FORTRAN | 4倍精度 | 16751.9997 | —O2 |

Hpi5110P 240SMP —O1 —OPENMP

| 言語 | 精度 | 実行時間(秒) |
|---------|-------|-----------|
| FORTRAN | 倍精度 | 1569.4017 |
| C | 倍精度 | 1455.5575 |
| C | 拡張倍精度 | 2334.1927 |

e5430 8smp —O1 —OPENMP

| 言語 | 精度 | 実行時間(秒) |
|----|-----|----------|
| C | 倍精度 | 597.7637 |

M₄₅ 実行結果一覧表

条件 : 分点数 25

刻み幅 $h = 4.78558154 / 24$

$$t_{\max} = 2.39279077, \varepsilon^2 = 2^{-49.18797875} \doteq 1.6 \times 10^{-15}$$

E5-2670 16smp -O1 -OPENMP

| 言語 | 精度 | 実行時間(秒) | 備考 |
|---------|-------|------------|-----|
| C | 拡張倍精度 | 688.6699 | |
| FORTRAN | 4倍精度 | 39713.7063 | |
| FORTRAN | 4倍精度 | 30367.7276 | -O2 |
| FORTRAN | 4倍精度 | 30745.1106 | -O3 |

SR16000 64smp -O3 -OMP

| 言語 | 精度 | 実行時間(秒) |
|---------|------|-----------|
| FORTRAN | 4倍精度 | 6387.4925 |

Phi5110P 240 smp -O1 -OPENMP

| 言語 | 精度 | 実行時間(秒) |
|----|-------|-----------|
| C | 拡張倍精度 | 3379.0798 |

性能的には拡張倍精度演算を使用するのが良い事を示しています。

M_{44}

$$x_9 = 1.0 - x_1 - x_2 - x_3 - x_4 - x_5 - x_6 - x_7 - x_8$$

$$x_{123} = x_1 + x_2 + x_3$$

$$x_{167} = x_1 + x_6 + x_7$$

$$x_{278} = x_2 + x_7 + x_8$$

$$x_{349} = x_3 + x_4 + x_9$$

$$x_{589} = x_5 + x_8 + x_9$$

$$C = x_{167} * x_{278} * x_{349} * x_{589} - x_{349} * x_{589} * x_7^{**2} - x_{167} * x_{349} * x_8^{**2} \\ - x_{167} * x_{278} * x_9^{**2} + x_7^{**2} * x_9^{**2}$$

$$D = -(x_{167} * x_{278} * x_3^{**2} * x_{589}) - x_{167} * x_2^{**2} * x_{349} * x_{589} \\ - x_1^{**2} * x_{278} * x_{349} * x_{589} \\ + x_{123} * x_{167} * x_{278} * x_{349} * x_{589} - 2 * x_1 * x_2 * x_{349} * x_{589} * x_7 \\ + x_3^{**2} * x_{589} * x_7^{**2} \\ - x_{123} * x_{349} * x_{589} * x_7^{**2} + x_{167} * x_3^{**2} * x_8^{**2} \\ + x_1^{**2} * x_{349} * x_8^{**2} \\ - x_{123} * x_{167} * x_{349} * x_8^{**2} - 2 * x_{167} * x_2 * x_3 * x_8 * x_9 \\ - 2 * x_1 * x_3 * x_7 * x_8 * x_9 \\ + x_{167} * x_2^{**2} * x_9^{**2} + x_1^{**2} * x_{278} * x_9^{**2} \\ - x_{123} * x_{167} * x_{278} * x_9^{**2} \\ + 2 * x_1 * x_2 * x_7 * x_9^{**2} + x_{123} * x_7^{**2} * x_9^{**2}$$

M_{45}

$$x_9 = 1.0 - x_1 - x_2 - x_3 - x_4 - x_5 - x_6 - x_7 - x_8$$

$$x_{123} = x_1 + x_2 + x_3$$

$$x_{1567} = x_1 + x_5 + x_6 + x_7$$

$$x_{279} = x_2 + x_7 + x_9$$

$$x_{349} = x_3 + x_4 + x_9$$

$$x_{589} = x_5 + x_8 + x_9$$

$$\begin{aligned} c = & -x_{279} * x_{349} * x_5^{**2} + x_{1567} * x_{279} * x_{349} * x_{589} - x_{349} * x_{589} * x_7^{**2} \\ & - 2 * x_{349} * x_5 * x_7 * x_9 - x_{1567} * x_{279} * x_9^{**2} - x_{1567} * x_{349} * x_9^{**2} \\ & + x_5^{**2} * x_9^{**2} - x_{1567} * x_{589} * x_9^{**2} + 2 * x_5 * x_7 * x_9^{**2} \\ & + x_7^{**2} * x_9^{**2} + 2 * x_{1567} * x_9^{**3} \end{aligned}$$

$$\begin{aligned} d = & x_{279} * x_3^{**2} * x_5^{**2} + x_2^{**2} * x_{349} * x_5^{**2} - x_{123} * x_{279} * x_{349} * x_5^{**2} \\ & - x_{1567} * x_{279} * x_3^{**2} * x_{589} - x_{1567} * x_2^{**2} * x_{349} * x_{589} \\ & - x_1^{**2} * x_{279} * x_{349} * x_{589} + x_{123} * x_{1567} * x_{279} * x_{349} * x_{589} \\ & - 2 * x_1 * x_2 * x_{349} * x_{589} * x_7 + x_3^{**2} * x_{589} * x_7^{**2} \\ & - x_{123} * x_{349} * x_{589} * x_7^{**2} + 2 * x_1 * x_{279} * x_3 * x_5 * x_9 \\ & - 2 * x_1 * x_2 * x_{349} * x_5 * x_9 + 2 * x_2 * x_3 * x_5^{**2} * x_9 - 2 * x_{1567} * \\ & x_2 * x_3 * x_{589} * x_9 \\ & + 2 * x_2 * x_3 * x_5 * x_7 * x_9 + 2 * x_3^{**2} * x_5 * x_7 * x_9 - 2 * x_{123} * x_{349} * \\ & x_5 * x_7 * x_9 \\ & - 2 * x_1 * x_3 * x_{589} * x_7 * x_9 + x_{1567} * x_2^{**2} * x_9^{**2} + x_1^{**2} * x_{279} * x_9^{**2} \\ & - x_{123} * x_{1567} * x_{279} * x_9^{**2} + 2 * x_{1567} * x_2 * x_3 * x_9^{**2} \\ & + x_{1567} * x_3^{**2} * x_9^{**2} + x_1^{**2} * x_{349} * x_9^{**2} - x_{123} * x_{1567} * x_{349} * x_9^{**2} \\ & + 2 * x_1 * x_2 * x_5 * x_9^{**2} - 2 * x_1 * x_3 * x_5 * x_9^{**2} + x_{123} * x_5^{**2} * x_9^{**2} \\ & + x_1^{**2} * x_{589} * x_9^{**2} - x_{123} * x_{1567} * x_{589} * x_9^{**2} + 2 * x_1 * x_2 * x_7 * x_9^{**2} \\ & + 2 * x_1 * x_3 * x_7 * x_9^{**2} + 2 * x_{123} * x_5 * x_7 * x_9^{**2} + x_{123} * x_7^{**2} * x_9^{**2} \\ & - 2 * x_1^{**2} * x_9^{**3} + 2 * x_{123} * x_{1567} * x_9^{**3} \end{aligned}$$

多倍長計算手法まとめ

平成23年度-平成27年度

1. はじめに

2. 多倍長精度演算

2.1 浮動小数点演算方式

2.2 整数演算方式

2.3 ルーチン作成前に決定すべき事項

2.4 ルーチン作成の要点

2.5 注意点詳細

2.6 整数演算方式の並列化に関して

3. 実アプリケーション

3.1 ヒルベルト行列Hによる連立一次方程式 $Hx=b$ の求解

3.1.1 ヒルベルト行列の条件数

3.1.2 ヒルベルト行列実測結果

3.1.2.1 64倍精度演算までの結果

3.1.2.2 128-248倍精度演算での結果

3.1.2.3 308-488倍精度演算での結果

3.1.2.4 548倍精度演算での結果

3.2 対称疎行列Aによる連立一次方程式 $Ax=b$ の求解

3.3 非対称疎行列Aによる連立一次方程式 $Ax=b$ の求解

3.3.1 $nx=ny=nz=65$ の場合

3.3.1.1 bcg法の収束状況

3.3.1.2 cgs法の収束状況

3.3.2 サイズを拡大した場合

3.3.3 精度改善例

多倍長計算手法まとめ

3.4 ファインマンループ積分

3.4.1 数値積分法

3.4.2 massless計算

3.4.3 bsgamma

3.4.4 4次元積分

3.4.5 two loop vertex

3.4.6 3loop積分

3.4.7 4loop積分

3.4.8 3loop,4loop積分作業手順まとめ

3.5 量子モンテカルロ法による物性

スペクトル計算

3.5.1 指数部11ビットの限界について

3.5.2 必要演算精度見積り

1.はじめに

倍精度演算で正しい結果が得られない場合の原因としては以下の2つの場合が考えられます。

- (1) 近接する2変数の減算による桁落ち
- (2) 演算中に表現できる数値範囲を超える場合

対策としては

- (1) 倍精度浮動小数点数を複数個つなげた演算を行う
 - (2) ieee754-2008形式の4倍精度変数を拡張する。
- があり, (1) をDD形式 (浮動型), (2) をieee形式 (整数型) と称します。場合によっては, (2) の形式を複数個つなげる方式 (DQ形式) を使用します。

どちらの方式も一長一短がありすべてのケースを網羅する方式は現在はないと言えます。

また並列化により発生する問題として, 指数部の差が大きい場合の加算での演算順序や部分和の採り方により逐次実行と結果が大きく異なる場合があります。それもかならずしも並列化時の精度が悪いわけでもないと言う厄介な問題もあります。

簡単な問題でその例を示します。

c

```
implicit real*4 (a-h,o-z)
s=0.0
a=1.0
do i=1,1000000000
s=s+a
end do
write (6,1) s
1 format (1h ,2x,f20.5)
stop
end
```

正しい結果は1000000000ですが次ページ以降に示すように最適化オプションや並列化で様子が異なります。

SR16000/xm1 f90 並列化をしない場合

```
% f90 a.f -O3 -o a  
f90: compile start : a.f
```

```
*OFORT90 V03-02-/B entered.
```

```
*program name = MAIN
```

```
*end of compilation : MAIN
```

```
% ./a &
```

```
% 16777216.00000
```

```
% f90 a.f -Os -nolooexpand -  
noparallel -o a  
f90: compile start : a.f
```

```
*OFORT90 V03-02-/B entered.
```

```
*program name = MAIN
```

```
*end of compilation : MAIN
```

```
% ./a
```

```
16777216.00000
```

```
% f90 a.f -O3 -noprof -o a
f90: compile start : a.f
```

```
*OFORT90 V03-02-/B entered.
*program name = MAIN
*end of compilation : MAIN
% ./a
      100000000.00000
```

SR16000/xm1 f90 並列化をした場合

```
% f90 a.f -O3 -o a
f90: compile start : a.f
```

```
*OFORT90 V03-02-/B entered.
*program name = MAIN
*end of compilation : MAIN
*end of compilation :
_parallel_func_1_MAIN
% ./a
      100000000.00000
%
```


次にスレッド数指定で異なる例を以下の例で示します。先のプログラムの1000000000を10000000000に変更しただけのものです。

c

```
implicit real*4 (a-h,o-z)
s=0.0d0
a=1.0d0
C$OMP PARALLEL DO
C$OMP& reduction (+:s)
do i=1,loop
s=s+a
end do
C$OMP END PARALLEL DO
write (6,1) s
1 format (1h ,2x,f20.5)
stop
end
```

E5 - 2670

16smp

$$268435456.00000 = 2^{28} = 2^{24} \times 16 < 10^9$$

より結果は $2^{28} = 2^{24} \times 16$ となる。

100smp

$$1000000000.00000 = 10^9 < 2^{24} \times 100$$

より正しい結果となる。

Phi5110P

100smp 1000000000.00000

240smp 1000000000.00000

**ここで 2^{24} は単精度加算演算で正確に計算できる
個数となっています。**

2. 多倍長精度演算

演算方式には、浮動小数点演算方式と整数演算方式がある。

2.1 浮動小数点演算方式

多倍長精度変数を複数個の倍精度変数の和で表す。
表現できる数値範囲は、ieee754の倍精度と同じ。

a : $2n$ 倍精度変数

a_1, a_2, \dots, a_n : 倍精度変数

$$a = a_1 + a_2 + \dots + a_n$$

有効ビット数 = 仮数部のビット数 + 1

$2n$ 倍精度 $(52 + 1) \times n$ ビット

$n = 2$ 106ビット

$n = 3$ 159ビット

$n = 4$ 212ビット

乗加算命令がある場合とない場合の処理に分かれる。
コンパイラの最適化方式に性能が大きく依存する。

次に示す基本演算例よりわかります。

基本の演算

倍精度変数の加減算, 乗除算の結果を2つの倍精度変数の和で表す。

$$a, b, c, d \text{ 倍精度変数}; \quad a \pm b, a \times b, a \div b = c + d$$

加算 : $c = a + b$

$$t = c - a$$

$$d = (a - (c - t)) + (b - t)$$

減算 : $c = a - b$

$$t = c - a$$

$$d = (a - (c - t)) - (b - t)$$

加算, 減算ともに最適化オプションで括弧をはずした演算順序にならない様に注意が必要

乗算(乗加算命令あり)

$$c = a * b$$

$$d = a * b - c \quad (\text{最適化オプションにより } d = 0 \text{ とならないように注意が必要})$$

乗算(乗加算命令なし)

$$r = 134217729.0d0 \quad (= 2^{27} + 1)$$

$$c = a * b$$

$$t1 = a * r$$

$$a1 = t1 - (t1 - a)$$

$$a2 = a - a1$$

$$t2 = b * r$$

$$b1 = t2 - (t2 - b)$$

$$b2 = b - b1$$

$$d = ((a1 * b1 - c) + a1 * b2 + a2 * b1) + a2 * b2$$

| | | |
|-----|-----|-----------|
| 演算量 | 加減算 | n^2 に比例 |
| | 乗算 | n^3 に比例 |

$n \geq 3$ では

n 個の変数の絶対値が大きい順にならべるソート処理が必要.

2.2 整数演算方式

**多倍長精度変数はieee754-2008の4倍精度の仮数部を変えたものであらず。
表現できる数値範囲はieee754-2008の4倍精度と同じ。**

| | | | | |
|-------------------------------|---------|-----|-----|-----------|
| a : p 倍精度($p \geq 3$)変数 | p 倍精度 | | | |
| 符号部 1ビット | | 演算量 | 加減算 | p に比例 |
| 指数部 15ビット | | | 乗算 | p^2 に比例 |
| 仮数部 $32 \times p - 16$ ビット | | | | |

有効ビット数

$p=4$ 113ビット

$p=6$ 177ビット

$p=8$ 241ビット

| | | |
|-------------|--------------|---|
| 符号部 1ビット | 指数部 15ビット | 仮数部 $32 * p - 16$ ビット ($p=4$: 112, $p=6$: 176, $p=8$: 240) |
|-------------|--------------|---|

2.3 ルーチン作成前に決定すべき事項

ルーチン作成にあたって以下の項目を決めて置く必要があります。

(1) 最終ビット処理

現在まで一般的に使用されていた丸め処理を適用

(2) アンダーフロー,オーバーフロー処理

浮動小数点演算方式では既存の倍精度演算と同じとし,整数演算方式ではともに結果を0とし,オーバーフローは使用者責任とした。

(3) ゼロ割り処理

浮動小数点演算方式では既存の倍精度演算と同じとし,整数演算方式ではすべて結果を0としこれも使用者責任とした。

$0/0=0, a/0=0.$

2.4 ルーチン作成の要点

最初に加減算,乗算ルーチンを作成し平方根は既存の倍精度演算を使用して多倍長演算の初期値として反復法により求める。除算に関しては,浮動小数点演算方式では既存の倍精度除算を複数回使用する。6倍精度以上(使用する倍精度変数が3以上の場合,絶対値が大きい順になる様にする注意が必要。整数演算方式では逆数の初期値を既存の4倍精度除算を使用して反復法により逆数を求め,被除数との積をとり求める。

数学関数等の作成は上記の5演算の組み合わせで行う。具体的に立方根,対数関数,指数関数,正弦関数計算でその注意事項を記述する。

引数の取り得る範囲(ここでは表現可能な数値の絶対値
 最大値をMとする)は立方根, 指数関数, 正弦関数は $|x| \leq M$.
 対数関数は $0 < x \leq M$. ここで関数値yのとり得る範囲は,
 立方根, 対数関数は $|y| \leq M$, 指数関数は $0 < y \leq M$.
 正弦関数は $|y| \leq 1$. ここで, 指数関数は $x \geq 0$ で $y > e^x$
 より $0 \leq x \leq \log(M)$, $e^{-x} = \frac{1}{e^x}$ より $|x| \leq \log(M)$ となる.

立方根に関しては $x = y \times z$ (yの立方根は容易に計算出来る
 数値, zをある標準区間)とすると, $\sqrt[3]{x} = \sqrt[3]{y} \times \sqrt[3]{z}$ より, $x = y \times z$ の
 分解によって誤差は発生しにくい。立方根に関してはこの関数
 が準備されていないシステムもあり, $\sqrt[3]{x} = e^{\frac{1}{3}x \log(x)}$ (べき乗)で計算
 される事があるが $x \leq 0$ ではエラーとなるので注意が必要である。
 判れば簡単な事ではあるが, 多くの人が同じ間違いを繰り返した
 問題であるので注意が必要である。

指数関数及び正弦関数は

テーラー展開式があるが, 引数範囲すべてで計算すると
 性能, 精度の問題が発生する。また対数関数では引数範囲の
 テーラー展開はなく, $x = y + z$ の様に分解してある近似区間でz
 で計算してxを求めるが, $e^x = e^y \times e^z$ なので指数関数は誤差が
 発生しにくい。対数関数と正弦関数を比較すると, 結果の範囲
 が $|y| \leq M$, と $|y| \leq 1$ から, 正弦関数の計算の方が誤差が出易い
 事がわかる。正弦関数の計算方法の一例をあげる。

$$I = [|x| / \frac{\pi}{2}], t = |x| - I \times \frac{\pi}{2} \text{ とし } 0 \leq t < \frac{\pi}{2}, 0 < \frac{\pi}{2} - t \leq \frac{\pi}{2} \text{ より}$$

$$\sin(x) = \pm \sin(t), \pm \sin(\frac{\pi}{2} - t) \text{ で計算する。}$$

ここで問題なのは, $|x|$ が大きい場合, xとtの持つ精度が異なる
 ことである。(tを求める際の桁落ちのため)。また, $|x|$ が小さくても
 xが $n\pi$ に近い場合, tは桁落ちが発生するがこの場合は $\sin(x) \doteq 0$
 のため, 相対誤算は大きい絶対誤差は小さくて済む。精度上の
 問題が発生した場合には, 作成者により精度に関する思想, 扱い
 が異なるという意識を持つことが必要となる。

2.5 注意点詳細

(1) 浮動小数点演算方式

(ア) 小さな数は精度が保持できない場合がある。

$1/10^{-305}$ などでは6倍精度, 8倍精度演算では精度分の結果を得る事が出来ない。

(イ) 性能やソース作成の手間を考慮すると,

12倍精度演算までにする必要がある。

(ウ) 数値表現の制限にかかる場合は, 拡張倍精度,

ieee754 – 2008の4倍精度の変数をつなげた演算を行う必要があるこの場合はつなげる個数は2つまで。

(2) 整数演算方式

(ア) プログラム作成でもっとも間違えやすいのは,

近接する2つの数の減算での桁落ちの数を求める部分。

(イ) 4倍精度演算で一付近の数 x に対し $1-x$ の桁落ちが発生

する場合には, 1変数の8倍精度演算より4倍精度変数を2つつなげた8倍精度演算を使用した方が良い。

拡張倍精度変数を2つつなげた演算で行えれば, 性能的にはより有効な方法となる。

(ウ) (イ)と同じ様なケースが4倍超精度演算で発生する場合

1変数のさらに高精度な演算ではなく, 4倍超精度変数を2つつなげた高精度な演算を使用した方が良い。

2.6 整数演算方式の並列化に関して

整数演算方式では、浮動小数点数 a, b を正整数 ia, ib に変換して、 ia と ib の加減算、乗算、除算を行なう。加減算では ia, ib に変換する ($ia \geq ib$) 際、 a, b の値により ib のシフト数が定まる。一組の数に対する操作では問題ないが、`simd` の様に `lcore` 内で複数組の数を並列に操作する場合には、`lcore` 内で各組毎に異なるシフト処理が出来る様にする必要がある。複数 `core` で複数組の数を並列に操作する場合は各 `core` 毎に異なるシフト処理ができるので問題はない。これは `simd` と言っても `SR16000, BG/Q` と `HD5870` の様な GPU では、適用範囲が異なる事を意味する。乗算、除算に関しては複数組の数で異なる処理はない。演算後の処理では、加算、乗算、除算は桁上げ (加算、乗算)、桁下げ (除算) があるかないかの2ケースしかないので、`lcore` 内での `simd` が適用できる様にするには、マスク処理が出来る様にする必要がある。減算の場合、桁下げの数を求めるのに、左から検索して最初に1が現れるビット位置をもとめる処理が必要になる。`lcore` 内での `simd` が適用できる様にするには、この処理が出来る様にする必要がある。

多倍長整数演算の場合、 n ビット ($n \gg 1$) を複数ビット毎に分けて演算するが、加減算、乗算は市販本などでよく知られている方法で容易に演算出来るが、除算では特別なアルゴリズムが必要となる。また除算では逆数 ($1 \leq a < 2$) の初期近似を既存の浮動小数点除算で求め、 $x_{n+1} = x_n (2 - ax_n)$ で $1/a$ を求めて、 $b/a = b \times 1/a$ で除算を行う方法がある。 $2 - ax_n \doteq 1$ なので $2 - ax_n$ の桁下がりはあるかないかの2ケースとなり、`lcore` 内での `simd` 処理には、他の演算と同じ様にマスク処理があれば良い。これまでの実行では除算に関しては、3倍精度から8倍精度演算ではビット数が固定なら特別なアルゴリズムの使用した除算、可変なら任意の整数除算を使用した除算、8倍精度超精度演算では、既存の除算命令と反復法で逆数を求めて除算を行うのが良いという結果となっている。

**これを以下のRump's例題を使用して
検証しました。**

Rump's**例題**

$$a = 77617.0 \quad b = 33096.0$$

$$f = 333.75b^6 + a^2(11a^2b^2 - b^6 - 121b^4 - 2)$$

$$+ 5.5b^8 + \frac{a}{2b}$$

$$\text{理論解} = -\frac{54767}{66192} = -0.827396059946$$

$$[333.75b^6 + a^2(11a^2b^2 - b^6 - 121b^4 - 2)] + 5.5b^8$$

の演算で121ビットの桁落ちが発生。

桁落ちが影響を受けると0,受けないと-2となる。

4倍精度演算では有効ビット数が113のため

桁落ちの影響を受けるため1.172603940053となり,

有効ビット数が121より大きい演算

(5倍超精度演算)では桁落ちの影響を

受けないので-0.827396059946となる。

Core内simdは適用できないのでcore間smpで実行している。

多倍長rump's例題一覧表

1,000,000回実行

実行時間一覧表(秒)

E5-2670

Phi5110P

4smp/core

| 演算精度 | 16smp | 240smp |
|--------|----------|-----------|
| 68倍精度 | 11.9698 | 46.3840 |
| 128倍精度 | 42.3808 | 156.0239 |
| 188倍精度 | 89.0890 | 331.2860 |
| 248倍精度 | 152.0543 | 585.7436 |
| 308倍精度 | 248.2340 | 966.5418 |
| 368倍精度 | 355.4690 | 1378.1645 |
| 428倍精度 | 476.9385 | 1859.8102 |
| 488倍精度 | 617.0996 | 2410.4360 |
| 548倍精度 | 833.8722 | 3244.1159 |

Core間のスレッド並列の効果が出ている。

| |
|--|
| 多倍長rump's例題一覧表 1,000,000回実行 |
|--|

実行時間一覧表(秒)

E5-2670

| 演算精度 | 16smp | 8smp | 4smp | 2smp | 1smp |
|--------|----------|----------|----------|-----------|-----------|
| 68倍精度 | 11.9698 | 23.8582 | 47.8585 | 95.5189 | 191.5384 |
| 128倍精度 | 42.3808 | 84.7253 | 169.0772 | 338.4619 | 677.3167 |
| 188倍精度 | 89.0890 | 177.8675 | 355.6048 | 711.6836 | 1425.8922 |
| 248倍精度 | 152.0543 | 303.7099 | 607.2627 | 1214.3922 | 2438.3971 |

Phi5110P 4smp/core

| 演算精度 | 240smp | 180smp | 120smp | 60smp |
|--------|----------|----------|----------|----------|
| 68倍精度 | 46.3840 | 48.7955 | 50.8138 | 69.1542 |
| 128倍精度 | 156.0239 | 178.3118 | 181.1152 | 244.4755 |
| 188倍精度 | 331.2860 | 378.7431 | 384.5338 | 525.7136 |
| 248倍精度 | 585.7436 | 669.6312 | 694.6440 | 938.0996 |

| 演算精度 | 4smp | 1smp |
|-------|----------|-----------|
| 68倍精度 | 868.7135 | 3463.0626 |

3.実アプリケーション

3.1 ヒルベルト行列Hによる連立一次方程式Hx=bの求解

3.1.1 ヒルベルト行列の条件数

ヒルベルト行列 $H_{ij} = \frac{1}{i+j-1} (1 \leq i, j \leq n)$

逆行列 $H_{ji}^{-1} = (-1)^{i+j} \frac{(n+i-1)!(n+j-1)!}{(i+j-1)[(i-1)!(j-1)!]^2 (n-i)!(n-j)!}$

H_{ij} のノルムは $1 + \frac{1}{2} + \dots + \frac{1}{n}$ n が大になると、

$\ln(n) + \gamma$ $\gamma = 0.57721566490153286060$ (オイラー数)

逆行列 H_{ji}^{-1} のノルムを $|H_{ji}^{-1}|$ の最大値とする。

また n は大として、スターリングの公式 $n! \sim \sqrt{2\pi e}^{-n} n^{n+\frac{1}{2}}$ を使用する。

逆行列の絶対値 P は変形して、

$$P = \frac{(n+i)!(n+j)!i^2j^2}{(n+i)(n+j)(i+j-1)[i!j!]^2 (n-i)!(n-j)!}$$

$i = an, j = bn$ とすると、

$$P = \frac{a^2 b^2 n^2 ((1+a)n)!((1+b)n)!}{((a+b)n-1)(1+a)(1+b)[(an)!(bn)!]^2 ((1-a)n)!((1-b)n)!}$$

$$= \frac{ab \sqrt{\frac{1+a}{1-a}} \sqrt{\frac{1+b}{1-b}}}{(1+a)(1+b)((a+b)n-1)4\pi^2} \left(\frac{1+a}{1-a}\right)^{(1-a)n} \left(\frac{1+b}{1-b}\right)^{(1-b)n} \left(\frac{1+a}{a}\right)^{2an} \left(\frac{1+b}{b}\right)^{2bn}$$

P は a と b に対して対称より、 $a = b$ とすると、

$$P = \frac{a^2}{(1-a^2)(2an-1)4\pi^2} \left(\frac{1+a}{1-a}\right)^{2(1-a)n} \left(\frac{1+a}{a}\right)^{4an}$$

$$f(a) = \ln\left[\left(\frac{1+a}{1-a}\right)^{(1-a)} \left(\frac{1+a}{a}\right)^{2a}\right] \text{ とすると } f'(a) = \ln\left(\frac{1-a^2}{a^2}\right)$$

$0.5 \leq a \leq 0.75$ では $f(a)$ は $a = \sqrt{0.5} = 0.7071$ で最大となる.

$i = an, j = bn$ が整数となる事から, $a = 0.7$ とする.

すると $P_{\max} = \frac{0.0243}{1.4n-1} \left(\frac{17}{7}\right)^{2.8n} \left(\frac{17}{3}\right)^{0.6n} = \frac{0.0243}{1.4n-1} 10^{1.530979n}$

より詳細にすると以下の様になる。

$$a = 0.7 \quad P = \frac{0.02433695097}{1.4n-1} \left(\frac{17}{3}\right)^{0.6n} \left(\frac{17}{7}\right)^{2.8n}$$

$$= 10^{1.530979068n-1.613733833-\log_{10}(1.4n-1)} \quad (1)$$

$$a = \sqrt{0.5} = \frac{\sqrt{2}}{2} \quad P = \frac{1}{(\sqrt{2}n-1)4\pi^2} \left(\frac{2+\sqrt{2}}{2-\sqrt{2}}\right)^{(2-\sqrt{2})n} (\sqrt{2}+1)^{2\sqrt{2}n}$$

$$= 10^{1.531102741n-1.596359739-\log_{10}(\sqrt{2}n-1)} \quad (2)$$

$$(2)/(1) = 10^{0.000123673n+0.017374096+\log_{10}(1.4n-1)-\log_{10}(\sqrt{2}n-1)}$$

10^m の m

| | (1) | (2) | (2)/(1) | 条件数比率 |
|-----------|-------------|-------------|---------|-------|
| $n = 200$ | 302.1364756 | 302.1741817 | 0.0377 | 1.091 |
| $n = 400$ | 608.0304816 | 608.0929301 | 0.0624 | 1.155 |

近似的には条件数 $= 10^{1.5N}$ となる.

条件数は $Ax = b$ を $(A + \Delta A)(x + \Delta x) = (b + \Delta b)$ で計算する場合の Δx の大きさに関する目安となるものである。ヒルベルト行列 H (ここでは A とする) の係数を 8 倍精度演算で求めるとします。ここで解 $x = (1, 1, \dots, 1)^T$ となる様に b を 8 倍精度演算で計算します。すなわち $\Delta A, \Delta b \neq 0$ の場合, 8 倍精度演算で計算すると,

```
DIMENSION SIZE =      40
```

```
int 8bai seido
```

```
gosa = 5.453971473889753996929348189724412E - 0016
```

```
DIMENSION SIZE =      60
```

```
int 8bai seido
```

```
gosa = 86.1703510314325363937588497909226
```

となる。

ここで A の係数を 4 倍精度演算でもとめると, $\Delta A, \Delta b = 0$ となり

```
DIMENSION SIZE =      200
```

```
int 8bai seido
```

```
gosa = 3.305918377126923593570282216668663E - 0036
```

A の係数を倍精度演算で求め, 他の演算を

4 倍精度で行った場合でも

```
DIMENSION SIZE =      200
```

```
GOSAMAX = 7.568098984088555143981688648697012E - 0017
```

となる。

この事は, 入力データは低精度 (もともとデータで 10 進 30 桁の精度がある事は稀である。) で演算のみを高精度で行い, 計算結果を低精度でも出力するという場合に適用できる。

多倍長精度演算のテストでは, $\Delta A, \Delta b \neq 0$ の場合で実施。

3.1.2 ヒルベルト行列実測結果

3.1.2.1 64倍精度演算までの結果

| 次元数 | 倍精度 | 4倍精度 | 8倍精度 |
|-----|----------|----------|----------|
| 20 | 51.616 | 1.44E-07 | 2.13E-47 |
| 40 | 182.107 | 62.034 | 8.72E-16 |
| 60 | 1971.569 | 62.804 | 251.132 |
| 80 | 642.074 | 300.734 | 252.653 |
| 100 | 201.355 | 378.428 | 242.672 |

| 次元数 | 16倍精度 | 32倍精度 |
|-----|----------|-----------|
| 20 | 1.47E-99 | 1.44E-276 |
| 40 | 4.09E-86 | 4.30E-243 |
| 60 | 2.66E-60 | 1.36E-210 |
| 80 | 3.65E-31 | 1.08E-178 |
| 100 | 2.58E+00 | 1.41E-150 |

| N | 演算精度 | 最大誤差 | 条件数 (ビット数表示) |
|-----|-------|----------|-----------------|
| 170 | 32倍精度 | 4.11E-48 | 853 |
| 180 | 32倍精度 | 2.00E-32 | 904 |
| 190 | 32倍精度 | 7.11E-17 | 955 |
| 200 | 32倍精度 | 1.27E-02 | 1006 |
| 210 | 32倍精度 | 1.37E+02 | 1057 |
| 370 | 64倍精度 | 9.63E-35 | 1870 |
| 380 | 64倍精度 | 7.98E-30 | 1920 |
| 390 | 64倍精度 | 7.61E-15 | 1971 |
| 400 | 64倍精度 | 7.10E+01 | 2022 |

3.1.2.2 128-248倍精度演算結果

| ヒルベルト行列の精度 | | |
|------------|------------|--------|
| N | 最大誤差 | 精度 |
| 400 | 1.014E-621 | 128倍精度 |
| 500 | 1.681E-467 | 128倍精度 |
| 600 | 1.321E-314 | 128倍精度 |
| 700 | 1.349E-161 | 128倍精度 |
| 800 | 7.603E-009 | 128倍精度 |
| 1000 | 1.013E-280 | 188倍精度 |
| 1100 | 4.211E-127 | 188倍精度 |
| 1400 | 1.013E-245 | 248倍精度 |

最大誤差のビット数 = 有効ビット数 - 条件数のビット数
となっています。

248倍精度演算では $N = 1400$ が使用できるメモリ容量
の上限となっています。

3.1.2.3 308-488倍精度演算での結果

| | | | |
|----------------------------------|--------|------------|----------------|
| N=100でのヒルベルト行列計算 | | | |
| 条件数0.127E+152 | | ビット数501 | |
| 精度 | 有効ビット数 | 誤差 | |
| | | 実測 | 理論値 |
| 308 | 9841 | 4.73E-2814 | 2.80E-2812 |
| 368 | 11761 | 3.38E-3392 | 2.52E-3390 |
| 428 | 13681 | 1.61E-3971 | 2.66E-3968 |
| 488 | 15601 | 5.36E-4198 | 2.80E-4546 (注) |
| 488 | 15601 | 1.00E-4547 | 2.80E-4546 |
| (注)逆数計算で4倍精度の初期値から7回反復した場合の値 | | | |
| 308,368,428倍精度は7回反復,488倍精度は8回反復が | | | |
| 必要 | | | |

3.1.2.4 548倍精度演算での結果

誤差は解 $x = (1,1,\dots,1)^T$ と比較していますので、小さなNに対しては差が0と正しく計算しているかの検証とは言えません。そこでNを変えながら正しい事を検証しました。

| x5570 | | | |
|-----------|-------------|---------------|-------------|
| 最大誤差 | 実行時間 (秒) | 条件数 (ビット数) | 有効ビット-条件数 |
| 0.000D-00 | 182.566 | 501 | 0.000D-0000 |
| 0.000D-00 | 1304.570 | 1010 | 0.000D-0000 |
| 1.647D-48 | 4368.843 | 1518 | 4.140D-4818 |
| 1.656D-46 | 10544.205 | 2022 | 2.168D-4666 |
| 4.445D-45 | 21630.467 | 2530 | 1.817D-4513 |

誤差が出るサイズ

条件数1138ビットとなるN

| N | 条件数 (ビット数) |
|-----|---------------|
| 223 | 1127 |
| 224 | 1132 |
| 225 | 1137 |
| 226 | 1142 |
| 227 | 1147 |
| 228 | 1152 |

3.2 対称疎行列Aによる連立一次方程式 $Ax=b$ の求解

扱った問題

ポアソン方程式

$$\Delta u = -f \quad (\Omega), u = 0 \quad (\partial\Omega)$$

$$\Omega = [0,1] \times [0,1] \times [0,1]$$

$$N = 200 \times 200 \times 200$$

収束判定値 : 共役残差 10^{-12}

$$u = \sin(\pi x) \sin(\pi y) \sin(\pi z)$$

$$f = 3 \times \pi^2 \times \sin(\pi x) \sin(\pi y) \sin(\pi z)$$

初期値は $x(i) = 1.0$

**cgs, cgsilu, cgsmilの非対称疎行列
用反復法では収束しない。**

この様な場合, 初期値は

$x(i) : (0,1)$ の一樣乱数値としている。

倍精度演算実行での反復回数

| | 反復回数 | |
|--------|--------|-------------------------|
| 解法 | 反復回数 | 備考 |
| sor | 4293 | 陰解法 |
| sor2 | 141799 | 陽解法 |
| sor3 | 4275 | 陰解法+odd-even法 |
| adi | 34195 | 陽解法 |
| cg | 690 | |
| bcg | 704 | |
| bicgs | 495 | |
| cgs | 640 | 初期値 $x(i)=1.0$ では収束しない。 |
| cgsml | 288 | cgsiluの並列版 |
| 前処理付き | | |
| scg | 693 | 前処理付きの最も簡単なケース |
| cgsml | 241 | 初期値 $x(i)=1.0$ では収束しない。 |
| cgsilu | 272 | 初期値 $x(i)=1.0$ では収束しない。 |
| cgsml | 306 | cgsmlの並列版 |
| gpbcg | 142 | |

並列実行にすると、初期値 $x(i) = 1.0$ でも収束するように改善される場合がある。反復回数の削減には、初期値の変更、並列化などがある事になる。

3.3 非対称疎行列Aによる連立一次方程式 $Ax=b$ の求解

問題は3次元ポアソン方程式

$$\Delta u + R \frac{\partial u}{\partial x} = -f$$

領域 $[0,1] \times [0,1] \times [0,1]$

解析解 $u(x, y, z) = e^{xyz} \times \sin(\pi x) \times \sin(\pi y) \times \sin(\pi z)$

非対称問題。

解法

bcg(biconjugate gradient)法

$$R = 100, n_x = n_y = n_z = 65$$

$$R = 100, n_x = n_y = n_z = 129$$

cgs(conjugate gradient square)法

$$R = 100, n_x = n_y = n_z = 65$$

$$R = 100, n_x = n_y = n_z = 113$$

$$R = 100, n_x = n_y = n_z = 129$$

収束判定値は共役残差 10^{-12}

初期値 $u(x, y, z) = 0$

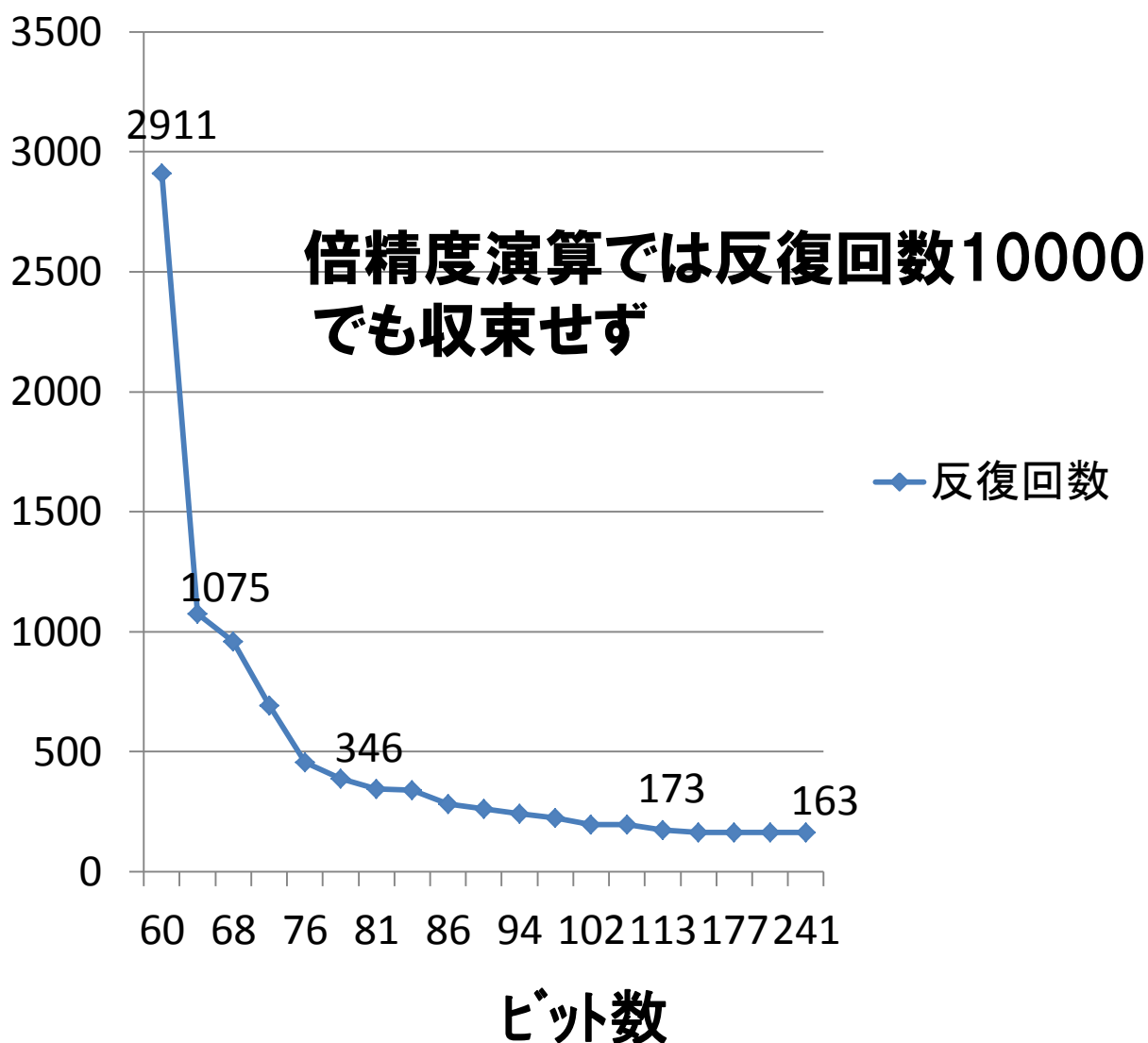
サイズは精度改善により拡大しています。

3.3.1 $n_x=n_y=n_z=65$ の場合

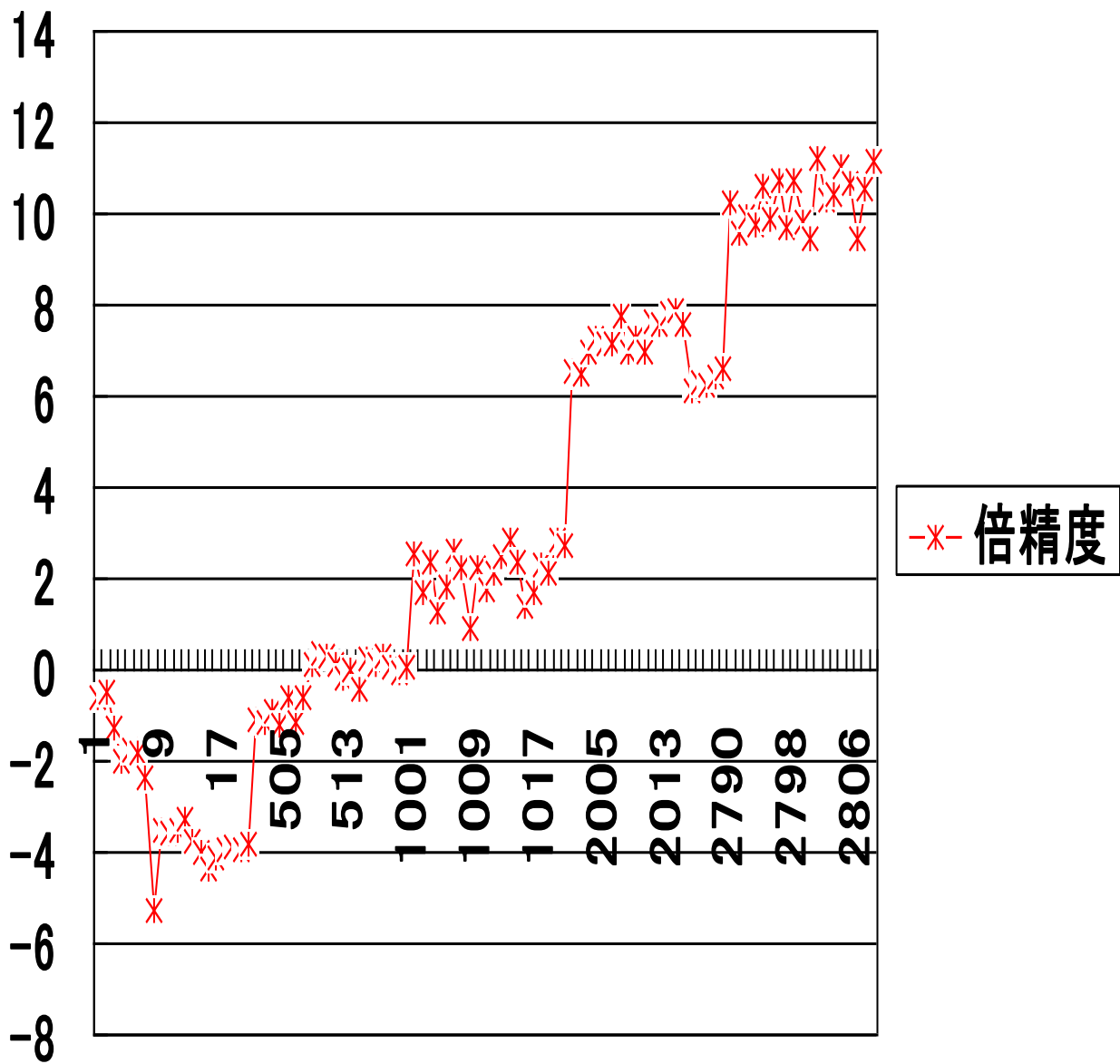
3.3.1.1 BCG法の収束状況

bcg 法

反復回数

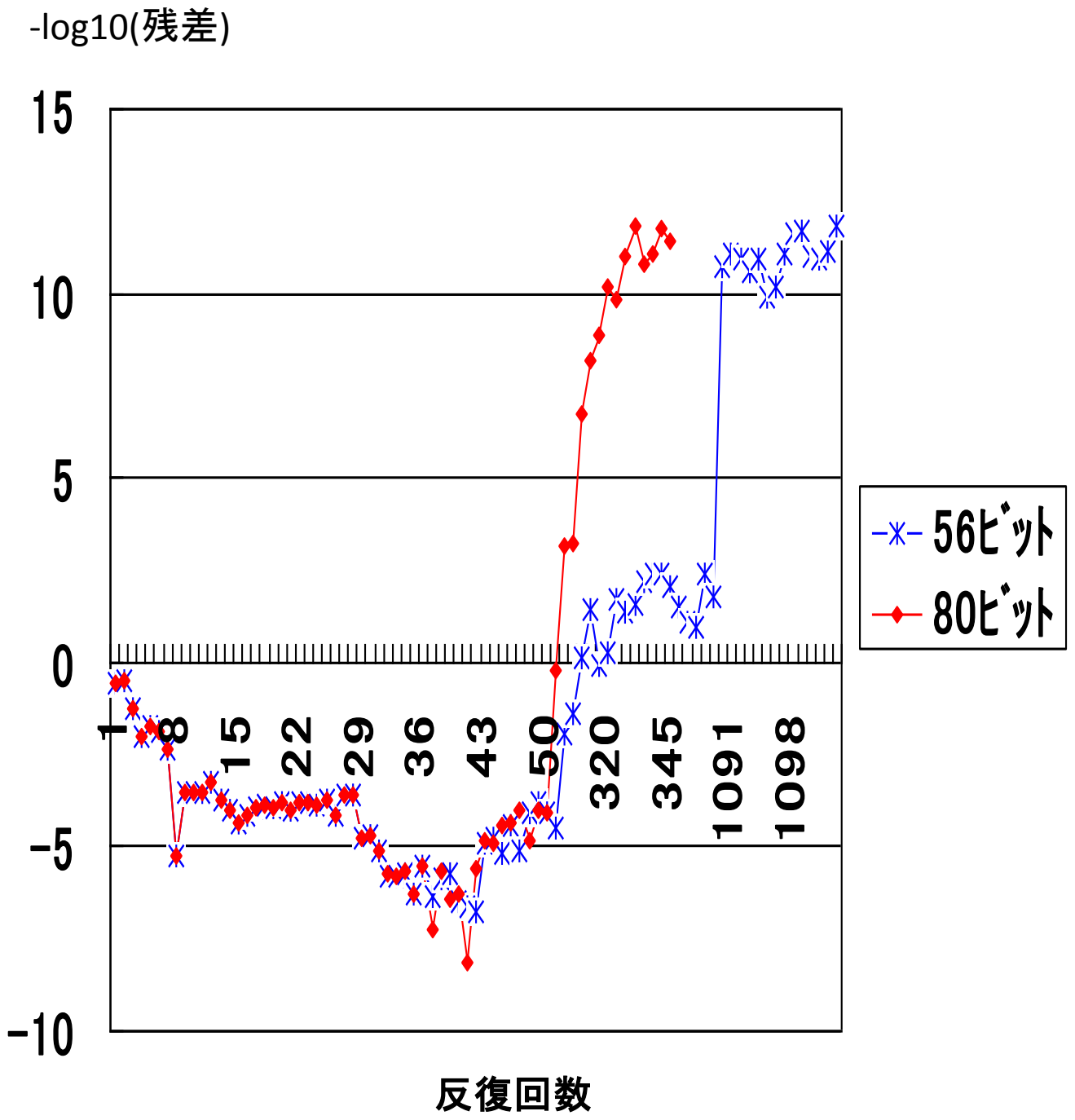


$-\log_{10}$ (残差)

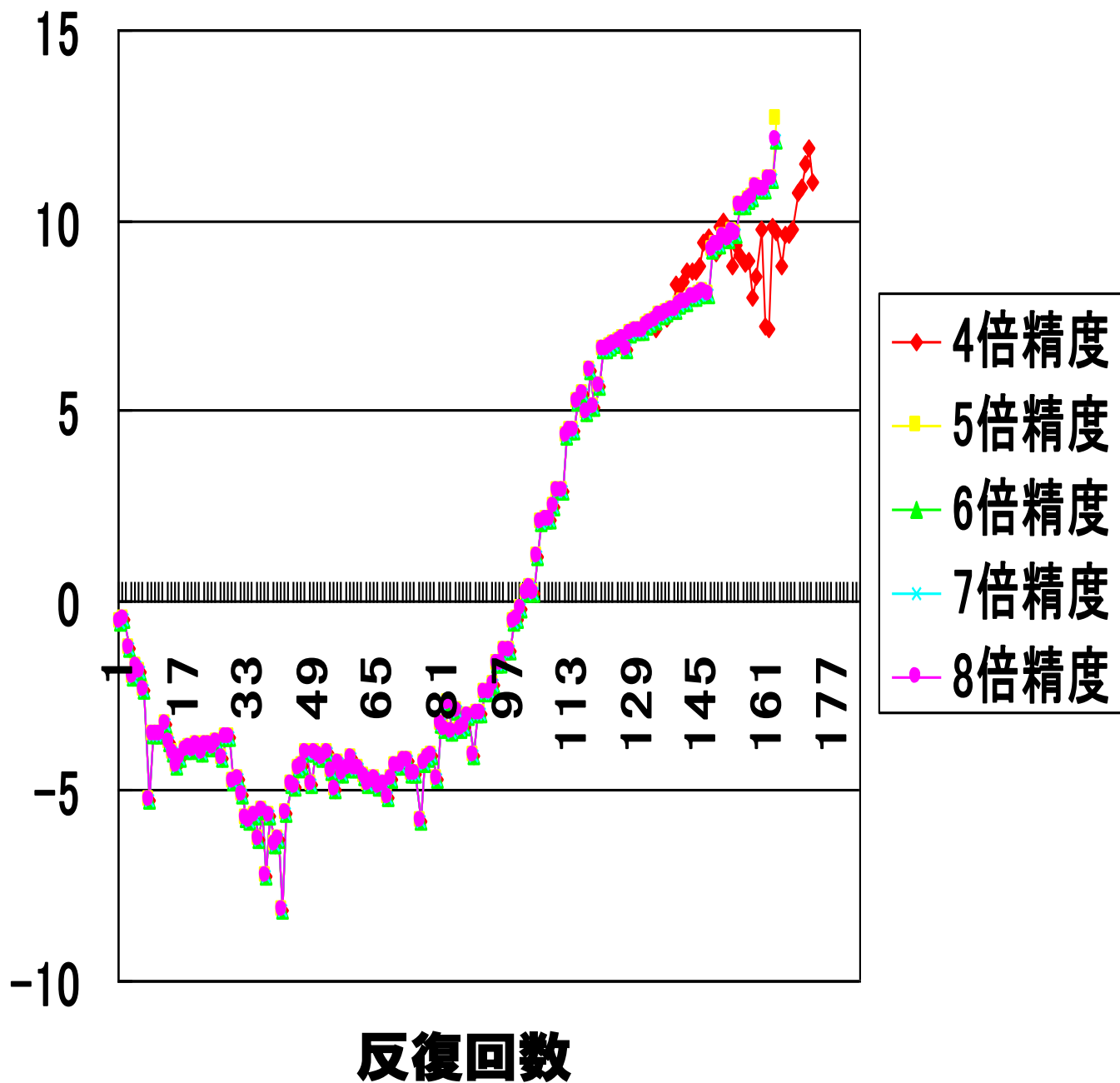


反復回数

BCG法の収束状況
nx=ny=nz=65 収束判定値=1.0q-12



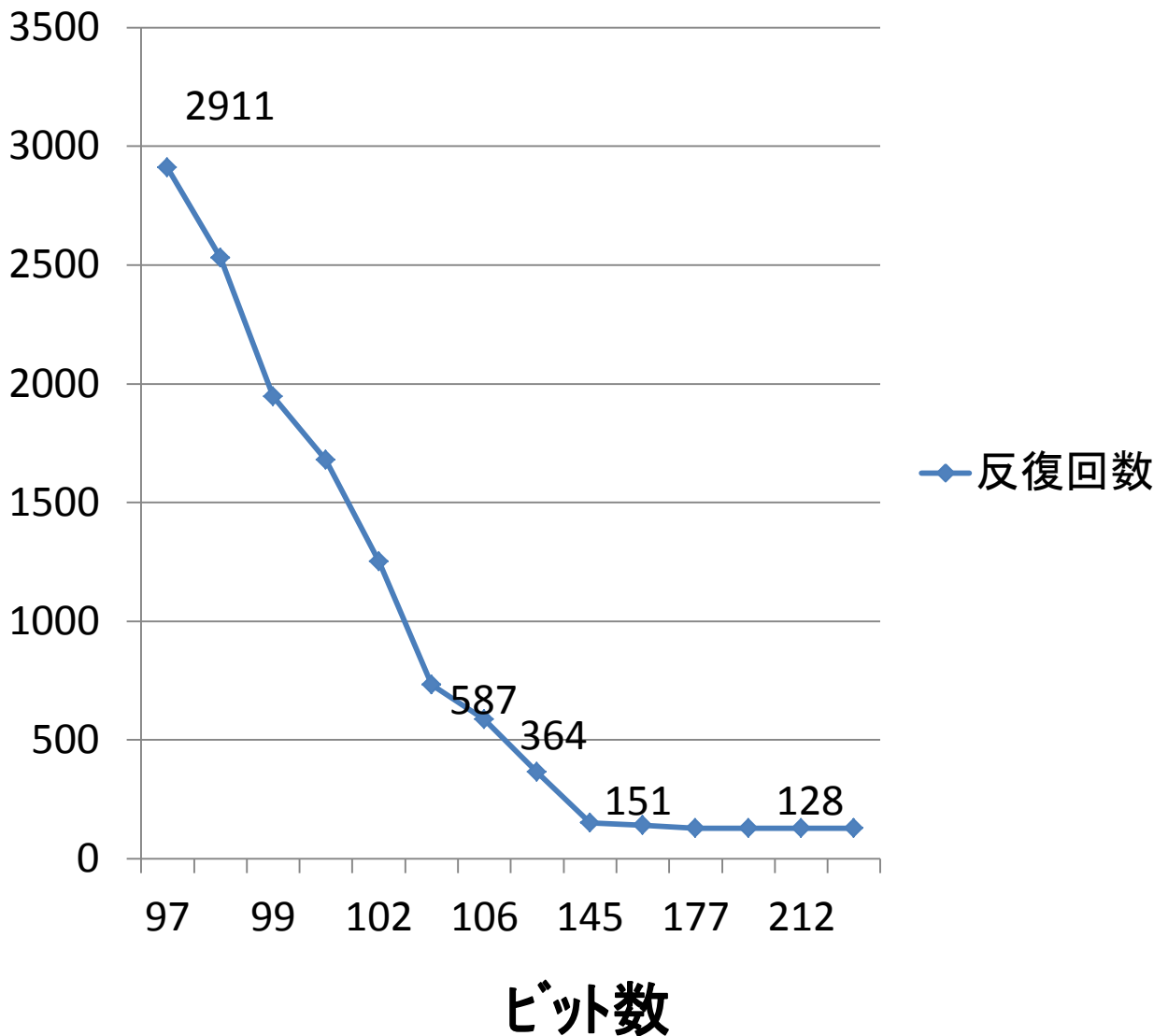
$-\log_{10}$ (残差)



CGS法の収束状況
nx=ny=nz=65 収束判定値=1.0q-12
倍精度演算では収束しない。

CGS 法

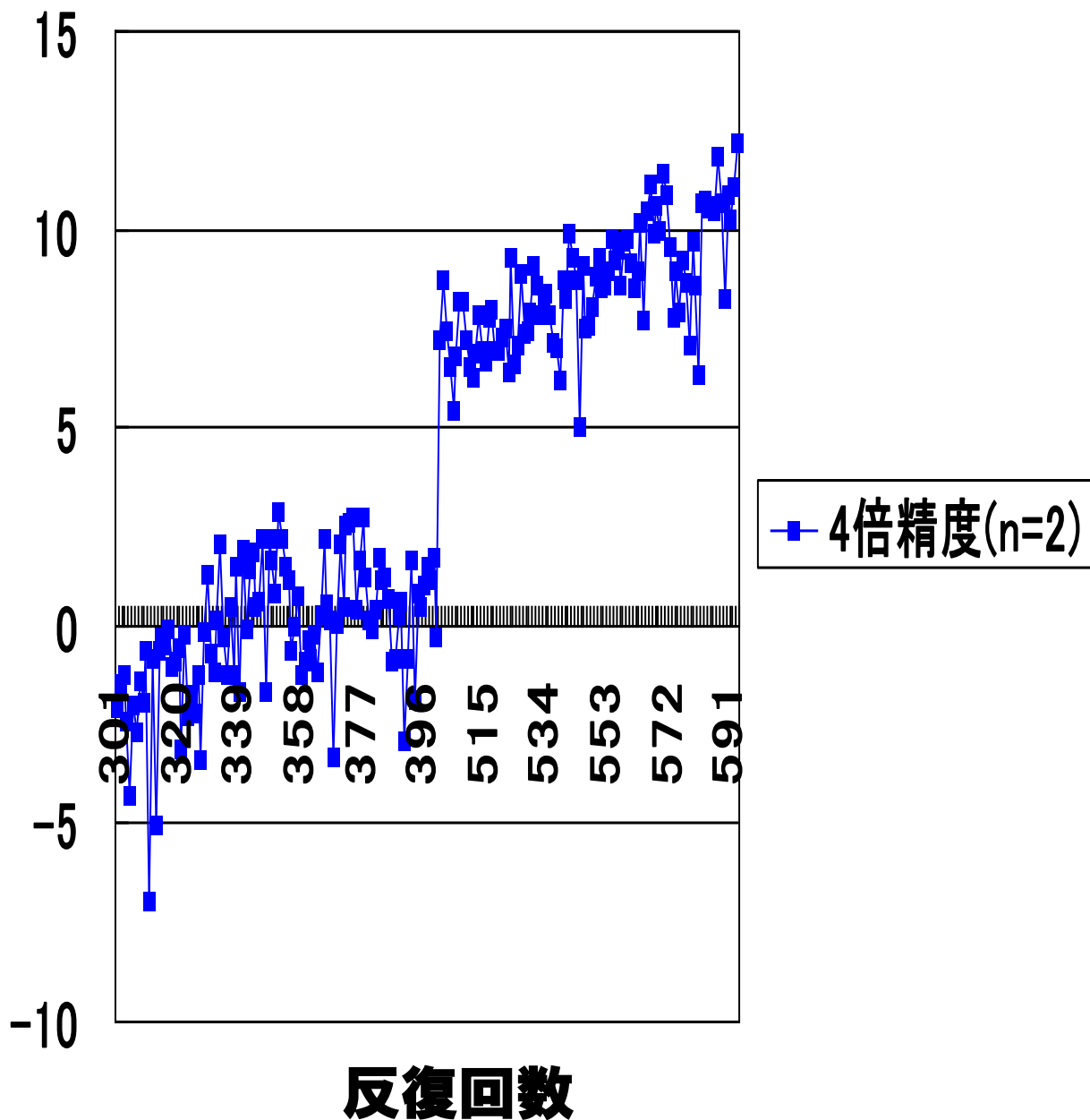
反復回数



3.3.1.2 CGS法の収束状況

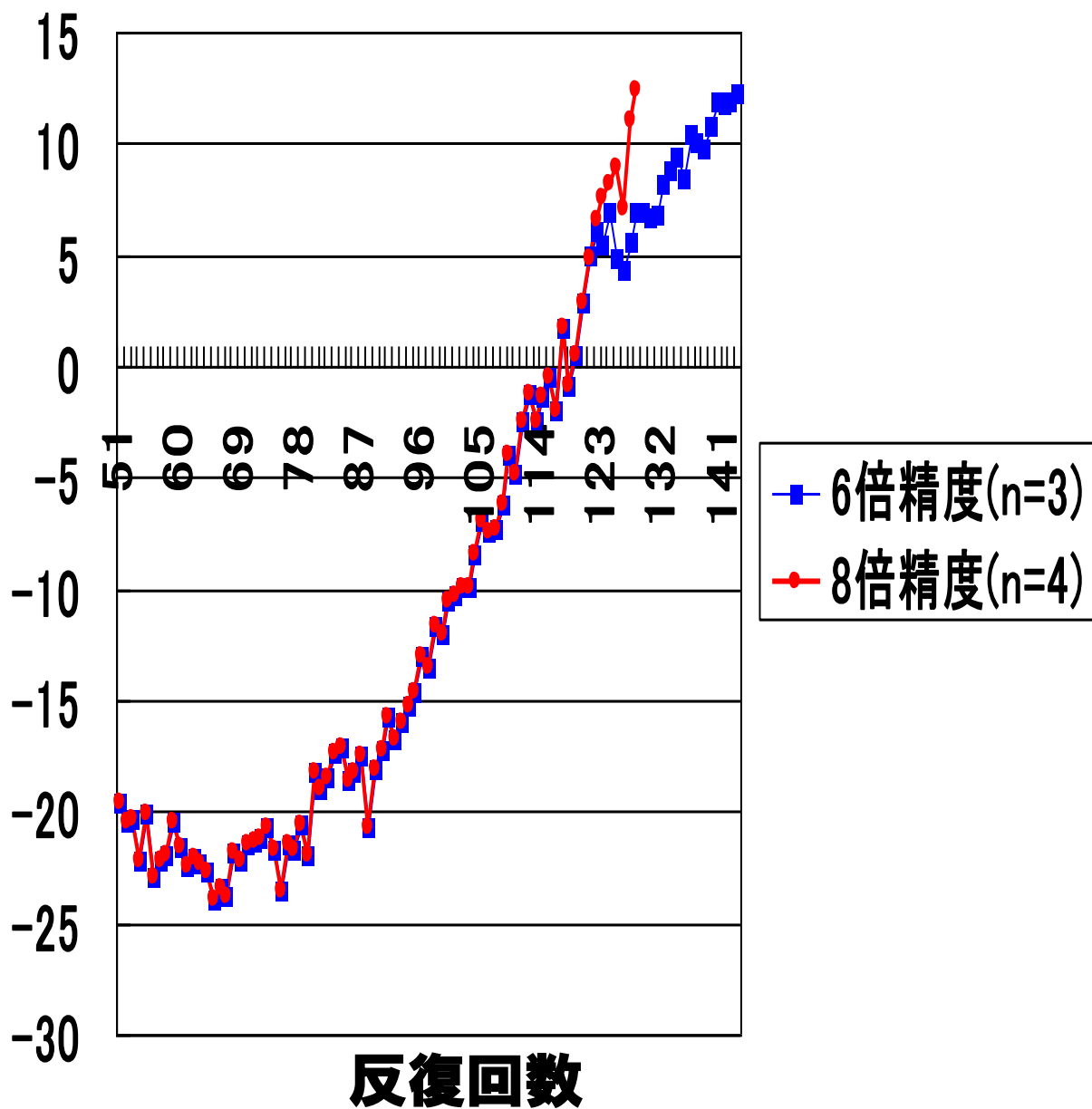
$-\log_{10}$ (残差)

4倍精度



$-\log_{10}$ (残差)

6倍精度,8倍精度



| | | | |
|------------------|------|----------|------|
| cgs法反復回数 | | | |
| 倍精度は10000回で収束せず。 | | | |
| 反復回数 | | | |
| 精度 | ieee | ieee smp | dd |
| 4倍精度 | 392 | 448 | 670 |
| 5倍精度 | 226 | 155 | none |
| 6倍精度 | 130 | 131 | 144 |
| 7倍精度 | 128 | 128 | none |
| 8倍精度 | 128 | 128 | 128 |
| q4sum,q5sum 使用 | | | |
| 精度 | 反復回数 | | |
| 4倍精度 | 378 | | |
| 5倍精度 | 155 | | |

- (1) ieee形式,dd形式ともに6倍精度演算が最も効率が良い事を示しています。
- (2) q4sum,q5sumの様に総和演算を無限精度演算を使用すると,5倍精度の収束が良くなり,ieeeでのsmp実行と同じ反復回数となっています。

詳細な収束状況

| dd形式cgs反復回数 | |
|-------------|------|
| ビット数 | 反復回数 |
| 95 | 4931 |
| 96 | 2155 |
| 97 | 3506 |
| 98 | 2811 |
| 99 | 1250 |
| 100 | 1103 |
| 101 | 1080 |
| 102 | 1027 |
| 103 | 815 |
| 104 | 702 |
| 105 | 630 |
| 106 | 670 |

3.3.2 サイズを拡大した場合

通常サイズを大きくすると収束に要する反復回数は増えますが、その状況を以下の条件で検証しました。

解法

bcg(biconjugate gradient)法

R = 100, nx = ny = nz = 129

cgs(conjugate gradient square)法

R = 100, nx = ny = nz = 113

収束判定値は共役残差 10^{-12}

初期値 $u(x, y, z) = 0$

の場合

**反復回数10000まででは、
bcg法は倍精度演算、
cgs法は4倍精度演算まで収束しません。**

bcg法反復回数一覧

| 演算精度 | SR16000 | x5570 | E5-2670 | Phi5110P |
|-------------|------------|------------|------------|------------|
| 3倍精度 | | 482 | | |
| 4倍精度 | 316 | 308 | 308 | 314 |
| 5倍精度 | | 317 | | |
| 6倍精度 | | 317 | | |
| 7倍精度 | | 317 | | |
| 8倍精度 | | 317 | | |

cgs法反復回数一覧表

| 演算精度 | SR16000 | x5570 | E5-2670 | Phi5110P |
|------|------------|------------|------------|------------|
| 5倍精度 | | 373 | 368 | 368 |
| 6倍精度 | 281 | 237 | 240 | 240 |
| 7倍精度 | | 217 | 217 | 217 |
| 8倍精度 | 217 | 217 | 217 | 217 |

(注)

- 1.赤字はその計算機で最も性能がよかったもの。
- 2.6倍精度の有効ビット数はSR16000は
159ビット,他は177ビット
- 3.E5-2670,Phi5110Pでは内積部分に
無限精度演算を適用しています。

| bcg法反復回数 | | | |
|----------|-------|------|--------|
| 精度 | 反復回数 | 正規化 | 実測/正規化 |
| 56ビット | 50001 | none | none |
| 60ビット | 4315 | node | none |
| 64ビット | 1579 | 931 | 1.696 |
| 68ビット | 938 | 826 | 1.136 |
| 72ビット | 784 | 738 | 1.062 |
| 76ビット | 593 | 664 | 0.893 |
| 3倍精度 | 482 | 600 | 0.803 |
| 84ビット | 439 | 545 | 0.806 |
| 88ビット | 396 | 497 | 0.797 |
| 92ビット | 368 | 455 | 0.809 |
| 96ビット | 336 | 418 | 0.804 |
| 100ビット | 325 | 386 | 0.842 |
| 104ビット | 319 | 357 | 0.894 |
| 108ビット | 313 | 331 | 0.946 |
| 4倍精度 | 308 | 308 | 1 |

(注)50001回は50000回反復で収束しなかった事を示しています。

正規化
P有効ビット数=精度のビット数+1

正規化反復回数

$$308 \times \left(\frac{113}{P}\right)^2$$

性能的には3倍精度が最も効率が良いと言えます。

3.3.3 精度改善例

以下の様に精度改善を行う事により、
これまでのサイズおよびサイズをさらに
拡大しても4倍精度演算で収束するよう
になりました。

前処理付き cgs 法により、並列処理で精度改善
cgs(conjugate gradient square)法

$$R = 100, nx = ny = nz = 129$$

収束判定値は共役残差 10^{-12}

初期値 $u(x, y, z) = 0$

4倍精度演算

CGS (PARALLEL)

SIZE NX, NY, NZ = 129 129 129

EPS = 1.000000000E - 0012

ITERATION = 142

3.4 ファインマンループ積分

ファインマンループ積分の一般式は以下の様になる。

$$I(\varepsilon) = (-1)^N \left(\frac{1}{4\pi}\right)^{nL/2} \Gamma(N - nL/2) \int_0^1 \prod_{i=1}^N dx_i \delta(1 - x_1 - x_2 - \dots - x_N) \frac{C^{N-n(L+1)/2}}{(D - i\varepsilon C)^{N-nL/2}}$$

n : 時空次元 ($n = 4$), N : ループ内の素粒子の数, L : ループの多重度

ε : 実定数, C, D : x_1, x_2, \dots, x_N の多項式

演算精度が問題となるのは, 以下の例の様に仮想光子 λ が含まれる場合である。

(1) Infra vtx

$$I(s) = \int_0^{1-x} \int_0^1 \frac{1}{D} dy dx \quad (D = -xys + (x+y)^2 m_e^2 + (1-x-y)\lambda^2)$$

(2) Infra box

$$I(s) = \int_0^1 \int_0^{1-x} \int_0^{1-x-y} \frac{1}{D^2} dz dy dx$$

$$(D = -xys - tz(1-x-y-z) + (x+y)\lambda^2$$

$$+ (1-x-y-z)(1-x-y)m_e^2 + z(1-x-y)m_f^2)$$

3. 4. 1 数値積分法

数値積分法としては、

- (1) 誤差を評価しながら領域を二分分割して行く Gauss-Kronrod積分法
- (2) 端点特異点を持つ被積分関数の積分に強く、基本的には領域は分割せず、標本点をふやして積分計算結果の精度をあげていく二重指数関数型積分法がある。

これ以外にも一重指数関数型積分法もあるが、二重指数関数型積分法に比べ標本点数を大きくとる必要がある。

端点と領域内部で同時に特異点をもつ場合の計算を、 $\sin c$ 求積法による Hadamard 有限部分計算で行う方法もあるがファインマンループ積分への適用出来る例は少ない。

数値積分で積分領域内に特異点がある場合微小量 ε を使用して $D- \rightarrow D + i\varepsilon$ と有理化して $\varepsilon \rightarrow 0$ で得た値を求める積分値とする場合に加速法を使用するが主に Ricardson 加速法、エイトケン加速法、Wynn の $\varepsilon -$ 算法等を用いる。

Gauss – Kronrod積分法と二重指数関数型積分法の選択に関しては以下の差があります。

分点と重み係数のテーブル作成方法では

Gauss – Kronrod法では、まずGauss – 積分法で $2n + 1$ の分点と重み係数を求めます。

$$-1 < x_1 < x_2 < \dots < x_n < x_{n+1} = 0 < x_{n+2} < x_{n+3} < \dots < x_{2n+1} < 1$$

これに $2n + 2$ の分点を追加して計 $4n + 3$ 個の分点と重み係数を求めます。これは反復法により求めるため、積分計算の前に分点と重み係数の計算が必要となります。

これに対し、二重指数関数型積分は分点と重み係数は関数計算 (\sinh, \cosh, \exp) で求まるため、積分計算のプログラムに入れる事が可能です。二重指数関数型積分の誤差評価は、 $N = 2n + 1$ で求めた値 $w_1, w_2, \dots, w_{2n+1}$ で

$$I_1 = h \times \sum_{i=1}^{2n+1} w_i \quad \text{と} \quad I_2 = 2h \times \sum_{i=1}^{n+1} w_{2i-1} \quad \text{を比較して求められますし、}$$

誤差 = $\exp(-c_2 \frac{N}{\log(N)})$ で評価ができます。

内部特異点がある場合は領域分割によって計算が可能です。

幾つかの例を次ページに記しました。

例題

4倍精度演算, 分点数496, 変数変換区間 $[-1,1]$

で計算. 分母 d で $d = 0$ となる点で領域を分割し,

それぞれの領域で $d- > d + i\varepsilon$ ($\varepsilon_0 = 1.2^{-30}, \dots, \varepsilon_{14} = 1.2^{-44}$)

ε -算法で計算

$$\int_{-1}^1 \frac{x}{(x - \frac{1}{e})} dx = 3.141592653589793$$

計算結果 = 3.141592653589793

$$\int_0^{\frac{\pi}{2}} \frac{x}{(\sin x - 2 \cos x)^2} dx = -0.7669479668299477$$

計算結果 = -0.7669479668299477

$$\int_0^{\frac{\pi}{2}} \frac{x \sin 2x}{1 - 2 \times 2.0 \cos 2x + 2.0^2} dx = 0.1592257756149500$$

計算結果 = 0.1592257756149501

$$\int_0^1 \frac{1}{\log |\log(x)|} dx = -0.154479641320$$

計算結果 = -0.154479641320

(注)この積分値は約200年間0と考えられていました。

$$I = \int_{-1}^1 f(x) dx \quad f(x) = \frac{1}{(2-x)(1+x)^{\frac{3}{4}}(1-x)^{\frac{1}{4}}}$$

$h = 0.2, N = 40 \quad 10^{-13}$ の相対誤差

$$C_2 = 2.76 \quad \exp\left(-C_2 \frac{N}{\ln(N)}\right)$$

$$f(x) = \frac{(1+x)^{\frac{1}{4}}(1-x)^{\frac{3}{4}}}{(2-x)(1+x)(1-x)} = -\frac{1}{3} \frac{(1+x)^{\frac{1}{4}}(1-x)^{\frac{3}{4}}}{2-x} + \frac{1}{6} (1+x)^{-\frac{3}{4}}(1-x)^{\frac{3}{4}} + \frac{1}{2} (1+x)^{\frac{1}{4}}(1-x)^{-\frac{1}{4}}$$

$$y = \frac{1}{2}(x+1) \quad dx = 2dy \quad x+1 = 2y, 1-x = 2(1-y)$$

$$I = \int_{-1}^1 f(x) dx = -\frac{4}{3} \int_0^1 \frac{y^{\frac{1}{4}}(1-y)^{\frac{3}{4}}}{3-2y} dy + \frac{1}{3} \int_0^1 y^{-\frac{3}{4}}(1-y)^{\frac{3}{4}} dy + \int_0^1 y^{\frac{1}{4}}(1-y)^{-\frac{1}{4}} dy$$

$$= -\frac{4}{3} \int_0^1 \frac{y^{\frac{1}{4}}(1-y)^{\frac{3}{4}}}{3-2y} dy + \frac{1}{2} \Gamma\left(\frac{1}{4}\right) \Gamma\left(\frac{3}{4}\right)$$

$$J = \int_0^1 \frac{y^{\frac{1}{4}}(1-y)^{\frac{3}{4}}}{3-2y} dy = \frac{1}{2} \int_0^1 y^{\frac{1}{4}}(1-y)^{-\frac{1}{4}} dy + \frac{1}{4} \int_0^1 y^{-\frac{3}{4}}(1-y)^{-\frac{1}{4}} dy$$

$$- \frac{3}{4} \int_0^1 \frac{y^{-\frac{3}{4}}(1-y)^{-\frac{1}{4}}}{3-2y} dy = \left(\frac{1}{8} + \frac{1}{4} - \frac{\sqrt[4]{3}}{4}\right) \Gamma\left(\frac{1}{4}\right) \Gamma\left(\frac{3}{4}\right)$$

$$I = \left[\frac{1}{2} - \frac{4}{3} \left(\frac{3}{8} - \frac{\sqrt[4]{3}}{4}\right)\right] \Gamma\left(\frac{1}{4}\right) \Gamma\left(\frac{3}{4}\right) = \frac{\sqrt[4]{12}}{3} \pi = 1.949054259166747$$

実測値(4倍精度演算) = 1.949054259166746

**被積分関数が内部特異点を持つ場合,
 $D \rightarrow D - i\varepsilon$ で有理化して, $\varepsilon \rightarrow 0$ として積分値を
 求めるのが一般的であるが収束が遅くなったり,
 異なる積分値を得る場合がある。**

(1) infr vertex

$$\int_0^1 \int_0^{1-x} \frac{1}{D} dy dx \quad (D = -sxy + (x+y)^2 m^2 + (1-x-y)\lambda^2)$$

では

$s < 0$ の場合の解析近似解は

$$\left(\frac{1}{-s}\right) \left[\ln\left(\frac{\lambda^2}{m_e^2}\right) \ln\left(\frac{m_e^2}{-s}\right) + \frac{1}{2} \ln^2\left(\frac{m_e^2}{-s}\right) - \frac{\pi^2}{6} \right]$$

で $s > 0$ のときは, $s \rightarrow s + i\varepsilon$ で解析接続して求める。

$s = 500^2, m = 0.0005$ で Gauss - Kronrod 法
 4倍精度演算で計算した時の実行時間(秒)は
 以下の様になっています。

$$D \rightarrow D - i\varepsilon \quad e = \varepsilon$$

$$s \rightarrow s + i\varepsilon \quad e = -xy\varepsilon$$

| λ | $e = \varepsilon$ | $e = -xy\varepsilon$ | 性能向上比 |
|------------|-------------------|----------------------|-------|
| 10^{-9} | 1006.713 | 505.57 | 1.99 |
| 10^{-12} | 1819.767 | 542.21 | 3.36 |
| 10^{-15} | 2684.821 | 505.80 | 5.31 |
| 10^{-20} | 3254.224 | 522.48 | 6.22 |

$s- > s + i\varepsilon$ で計算

$\lambda = 10^{-30}$ から 10^{-240} までの計算

実数部演算結果

| λ | 演算精度 | 解析値 | 実測値 |
|-------------|--------|-----------------------------|---------------------------|
| 10^{-30} | 8 倍精度 | -0.1508992869804822915D-01 | -0.150899286980769753D-01 |
| 10^{-60} | 16 倍精度 | -0.3035939525622601542D-01 | -0.303593952562854951D-01 |
| 10^{-80} | 16 倍精度 | -0.4053903962834453960D-01 | -0.405390396284235075D-01 |
| 10^{-160} | 32 倍精度 | -0.81257617116818636323D-01 | -0.812576170752810666D-01 |
| 10^{-200} | 32 倍精度 | -0.10161690586105568468 | -0.101616905857448388 |
| 10^{-240} | 32 倍精度 | -0.12197619460529273304 | -0.121976194600966288 |

実数部演算結果

| λ | 演算精度 | 解析値 | 実測値 |
|-------------|--------|-----------------------------|---------------------------|
| 10^{-30} | 8 倍精度 | -0.1508992869804822915D-01 | -0.150899286980769753D-01 |
| 10^{-60} | 16 倍精度 | -0.3035939525622601542D-01 | -0.303593952562854951D-01 |
| 10^{-80} | 16 倍精度 | -0.4053903962834453960D-01 | -0.405390396284235075D-01 |
| 10^{-160} | 32 倍精度 | -0.81257617116818636323D-01 | -0.812576170752810666D-01 |
| 10^{-200} | 32 倍精度 | -0.10161690586105568468 | -0.101616905857448388 |
| 10^{-240} | 32 倍精度 | -0.12197619460529273304 | -0.121976194600966288 |

非常に良い精度の結果が得られている。

(2) inf ra box

$$I = \int_0^1 \int_0^{1-x} \int_0^{1-x-y} \frac{1}{D^2} dz dy dx$$

$$D = -xys - tz(1-x-y-x) + (x+y)\lambda^2 + (1-x-y-z)(1-x-y)m_e^2 + z(1-x-y)m_f^2$$

で $s < 0$ の場合の解析近似解

$$I = \frac{1}{-s(-t+m_f^2)} \ln\left(\frac{-s}{\lambda^2}\right) \ln\left(\frac{(-t+m_f^2)^2}{m_e^2 m_f^2}\right)$$

から $s > 0$ の場合 $s \rightarrow s + i\varepsilon$ と解析接続して計算します。

$$I = \int_0^1 \int_0^{1-x} \int_0^{1-x-y} \frac{1}{D^2} dz dy dx \quad \text{で } D \rightarrow D - i\varepsilon \text{ で有理化して得た虚数部の}$$

値は ε の初期値 ε_0 の取り方により結果が大きく異なる。

(数列としては十分な精度で収束している。)

$$(1) \varepsilon_0 \gg m_e^2 \quad 0.142647572794761143d - 09$$

$$(2) m_e^2 \gg \varepsilon_0 \gg \lambda^2 \quad 0.371536892867592250d - 08$$

$$(3) \lambda^2 \gg \varepsilon_0 \quad 0.743073784900021472d - 08$$

収束の速さでは圧倒的に (1) が速い。

これに対し、 $s \rightarrow s + i\varepsilon$ では (1) と同じ収束の速さで (3) の結果が得られる。

ループ積分で注意すべき点は、積分値が \log の関数を含んだ場合である。

例えば、

$$\int_0^1 \frac{1}{M^2 x + (1-x)\lambda^2} dx = \frac{1}{M^2 - \lambda^2} \log\left(\frac{M^2}{\lambda^2}\right) \text{で}$$

$\lambda^2 = 0$ とすると数学上では ∞ で、プログラム実行時にエラーが発生すると考えられる。ところが $\lambda^2 = 0$ としてもプログラムは正常に終了し、それらしい結果が得られる。数値積分法で広義積分と結果が一致するのは広義積分が有限値を持つ場合である。二重指数関数型積分法で

$$\int_0^1 \frac{1}{x} dx \text{ の } z = \text{重み} \times \text{被積分関数の値は}$$

$$z = (1-x) \sqrt{\log\left(\frac{x}{1-x}\right)^2 + \pi^2} \text{ で } 0 < x \text{ でもっとも小さい値を } \varepsilon$$

とすると、この値は $\log\left(\frac{1}{\varepsilon}\right)$ となる。この値は大きい様に

見えるが、倍精度 $\varepsilon = 10^{-308}$ なら $\log\left(\frac{1}{\varepsilon}\right) \doteq 709$

4倍精度 $\varepsilon = 10^{-4931}$ なら $\log\left(\frac{1}{\varepsilon}\right) \doteq 11354$ で例題で $M = 100$

なら、倍精度演算で 0.0709, 4倍精度演算で 1.1354 とエラーが発生する様な値にはならない。

二重指数型積分法では, $x = \phi(t)$

$|f(\phi(t))\phi'(t)| \approx \exp(-c \exp |t|)$, $|t| \rightarrow \infty$ の様に
減衰するとき最適の公式が得られる。

変数変換区間 $[0,1]$ での DE では,

$$y = \frac{\pi}{2} \sinh(t), x = \frac{e^y}{e^y + e^{-y}}, 1 - x = \frac{e^{-y}}{e^y + e^{-y}} \text{ より}$$

$$x(1-x) = \frac{1}{(e^y + e^{-y})^2}, w = \phi'(t) = \frac{\pi \times \cosh(t)}{(e^y + e^{-y})^2}$$

$$\frac{x}{1-x} = e^{2y}, 2y = \log\left(\frac{x}{1-x}\right),$$

$$\pi \times \cosh(t) = \pi \times \sqrt{\sinh(t)^2 + 1} = \pi \times \sqrt{\left(\frac{2}{\pi} y\right)^2 + 1}$$

$$= \pi \times \sqrt{\frac{4y^2 + \pi^2}{\pi^2}} = \sqrt{4y^2 + \pi^2}$$

$$= \sqrt{\left(\log\left(\frac{x}{1-x}\right)\right)^2 + \pi^2}$$

$$w = \phi'(t) = x(1-x) \sqrt{\left(\log\left(\frac{x}{1-x}\right)\right)^2 + \pi^2}$$

このため被積分関数 $f(x)$ の $[0,1]$ における積分で

DE が効果があるかどうかは $x = \varepsilon, 1 - \varepsilon$ ($0 < \varepsilon \ll 1$) での

$f(x)x(1-x) \sqrt{\left(\log\left(\frac{x}{1-x}\right)\right)^2 + \pi^2}$ が十分減衰しているか

どうかを見れば良い。

Beta関数

$$\int_0^1 x^{\alpha-1} (1-x)^{\beta-1} dx \quad (\alpha > 0, \beta > 0) \text{では,}$$

$$I = f(\phi(t))\phi'(t) = \sqrt{\left(\log\left(\frac{x}{1-x}\right)\right)^2 + \pi^2 x^\alpha (1-x)^\beta}$$

$$x = \frac{1}{2} \quad I = \pi\left(\frac{1}{2}\right)^{\alpha+\beta} \cong \pi \quad (0 < \alpha, \beta \ll 1)$$

$$x = \varepsilon \quad I = \sqrt{(\log(\varepsilon))^2 + \pi^2 \varepsilon^\alpha} \cong \varepsilon^\alpha \log\left(\frac{1}{\varepsilon}\right)$$

$$x = 1 - \varepsilon \quad I \cong \varepsilon^\beta \log\left(\frac{1}{\varepsilon}\right)$$

一般に, $f(x) = x^\alpha \log x$ ($0 < \alpha < 1, 0 < x < 1$)

$$x = 10^{-n} \text{とおくと, } |f(x)| = \frac{n \log 10}{10^{n\alpha}}$$

$|f(x)| = 10^{-m}$ (m は得たい精度を表わす数)となる

n は $n > \frac{m}{\alpha}$ 。 $m = 10, \alpha = 0.01$ なら $n > 1000$ より

指数部は15ビットが必要になる事がわかる。また

$x = 1 - \varepsilon$ での β から, $\varepsilon = 10^{-1000}$ が必要となり, 指数部

15ビットの変数を2つつなげた演算が必要になる

事が容易にわかる。

具体的計算例

(1) inf ra vtx

変数変換後のfは

$$f = \frac{x}{-sx^2y(1-y) + x^2m_e^2 + (1-x)\lambda^2} \quad (s = -500^2, m_e = 0.0005)$$

これから $|f(\phi(t_1), \phi(t_2))\phi'(t_1)\phi'(t_2)|$ を求めると,

$$x = \varepsilon, y = \varepsilon, 1 - \varepsilon$$

$$\text{で } \frac{\varepsilon^3 (\log(\frac{1}{\varepsilon}))^2}{-s\varepsilon^3 + \varepsilon^2 m_e^2 + \lambda^2} \doteq 1.51 \times 10^{-17} \quad \lambda = 10^{-30}, \varepsilon = \frac{\lambda}{m_e} = 2 \times 10^{-27}$$

$$x = 1 - \varepsilon, y = \varepsilon, 1 - \varepsilon$$

$$\text{で } \frac{\varepsilon^2 (\log(\frac{1}{\varepsilon}))^2}{-s\varepsilon + m_e^2 + \varepsilon\lambda^2} \doteq 1.53 \times 10^{-15} \quad \varepsilon = \frac{m_e^2}{-s} = 10^{-12}$$

これより, $x = \varepsilon, y = 1 - \varepsilon$ に重点を置けば良い事がわかる。

(2) inf ra box

変数変換後のfは

$$f = \frac{x(1-x)}{D^2}$$

$$D = -sx^2y(1-y) + x\lambda^2 + (1-x)^2 A(z)$$

$$A(z) = tz^2 + (-t + m_f^2 - m_e^2)z + m_e^2$$

$$(s = -500^2, t = -150^2, m_f = 150, m_e = 0.0005)$$

$y = \varepsilon, 1 - \varepsilon$ で, $|f(\phi(t_1), \phi(t_2), \phi(t_3))\phi'(t_1)\phi'(t_2)\phi'(t_3)|$ は

$$\frac{x^2(1-x)^2 z(1-z) \sqrt{(\log(\frac{x}{1-x}))^2 + \pi^2} \sqrt{(\log(\frac{z}{1-z}))^2 + \pi^2} \varepsilon \log(\frac{1}{\varepsilon})}{D^2}$$

$$D = -sx^2\varepsilon + x\lambda^2 + (1-x)^2 A(z)$$

$z = \varepsilon$ のとき $A(z) = m_e^2$, $z = 1 - \varepsilon$ のとき $A(z) = m_f^2$ から

$z = \varepsilon$ のときが最大値

$$\frac{x^2(1-x)^2 \sqrt{\left(\log\left(\frac{x}{1-x}\right)\right)^2 + \pi^2 \varepsilon^2 \left(\log\left(\frac{1}{\varepsilon}\right)\right)^2}}{D^2}$$

$D = -sx^2\varepsilon + x\lambda^2 + (1-x)^2 m_e^2$ となる。

$x = \varepsilon, 1 - \varepsilon$ ともに分子は同じで

$$\frac{\varepsilon^4 \left(\log\left(\frac{1}{\varepsilon}\right)\right)^3}{D^2}$$

$$x = \varepsilon \quad D = -s\varepsilon^3 + \varepsilon\lambda^2 + m_e^2 \geq m_e^2$$

$$x = 1 - \varepsilon \quad D = -s\varepsilon + \lambda^2 + \varepsilon^2 m_e^2 \geq \lambda^2$$

これより

$z = \varepsilon, x = 1 - \varepsilon$ の場合の $\frac{\varepsilon^4 \left(\log\left(\frac{1}{\varepsilon}\right)\right)^3}{\lambda^4}$ を考えれば良い。

$\lambda = 10^{-m}, \varepsilon = 10^{-n} \lambda = 10^{-(n+m)}$ とすると,

$$\frac{\varepsilon^4 \left(\log\left(\frac{1}{\varepsilon}\right)\right)^3}{\lambda^4} = 10^{-4n} ((m+n) \log 10)^3$$

$$m = 30, n = 3 \text{だと } 4.387 \times 10^{-7} \quad n = 2.9 \text{だと } 1.09 \times 10^{-6}$$

これは、10進6桁の精度を得るには $1 - \varepsilon$ で $\varepsilon = 2^{-109}$ が必要と

示している。これは4倍精度で iee754 - 2008形式では

10進6桁の精度の結果が得られ、DD形式では1に近い数の

表現に注意しないと10進6桁の精度が得られず、1に近い数の

表現に注意すると、iee754 - 2008形式よりも精度の良い結果

が得られる事と良く対応している。

3.4.2 massless計算

$$a^x = 1 + (\log(a))x + \frac{(\log(a))^2}{2!}x^2 + \dots \quad (a > 0, |x| < \infty)$$

ここで, $|x|$ が小として一次の項まで取って

$a^x = 1 + (\log(a))x$ とする.

$$\frac{1}{a} \log\left(\frac{a}{c}\right) = \frac{a^{\eta-1}}{\eta} \quad \eta = \frac{1}{\log\left(\frac{1}{c}\right)}$$

$$\frac{1}{a} \log(a) + \frac{1}{a} \log\left(\frac{1}{c}\right) = \frac{\log(a)}{a} + \frac{1}{a\eta} = \frac{1 + (\log(a))\eta}{a\eta} = \frac{a^{\eta-1}}{\eta}$$

(1) vtx

$$\int_0^1 \int_0^{1-x} \frac{1}{-sxy + (x+y)^2 m^2 + (1-x-y)\lambda^2} dy dx$$

$s < 0, -s \gg m^2 \gg \lambda^2, \frac{m^2}{-s} = e, \frac{\lambda^2}{-s} = g$ と正規化して,

$$I = \int_0^1 \int_0^{1-x} \frac{1}{xy + (x+y)^2 e + (1-x-y)g} dy dx$$

$$= \int_0^1 \int_0^1 \frac{p}{p^2 q(1-q) + p^2 e + (1-p)g} dp dq$$

$D = g^2 - 4g(q(1-q) + e) < 0$ より

$$I = \int_0^1 \frac{1}{2A} \log\left(\frac{A}{g}\right) dq \quad A = q(1-q) + e$$

$$= \frac{1}{2\eta} \int_0^1 A^{\eta-1} dq \quad \eta = \frac{1}{\log\left(\frac{1}{g}\right)}$$

$$J = \int_0^1 \int_0^{1-x} \frac{1}{(xy + (x+y)^2 e)^{1-\eta}} dy dx = \int_0^1 \int_0^1 \frac{p}{p^{2-\eta} A^{1-\eta}} dp dq = \frac{1}{2\eta} \int_0^1 A^{\eta-1} dq$$

よって $I = J$

$$I = J = \frac{1}{2} \int_0^1 \frac{\log(A)}{A} dq + \frac{1}{2\eta} \int_0^1 \frac{1}{A} dq \quad \log\left(\frac{1}{\lambda^2}\right) \text{の一次式}$$

$m^2 = 0, e = 0$ とすると

$$I = \int_0^1 q^{\eta-1} (1-q)^{\eta-1} dq = \frac{1}{2\eta} B(\eta, \eta) = \frac{1}{\eta^2} \frac{(\Gamma(1+\eta))^2}{\Gamma(1+2\eta)}$$

$\log\left(\frac{1}{\lambda^2}\right)$ の二次式

一般公式

$$0 < t \ll 1 \quad \int_0^1 \frac{1}{-x^2 + x + t} dx = 2 \log\left(\frac{1}{t}\right)$$

$a < 0, 0 < c \ll 1$

$$\int_0^1 \frac{\log\left(\frac{-ax(1-x) + c}{c}\right)}{-ax(1-x) + c} dx = \frac{1}{-a} \left[\log^2\left(\frac{c}{-a}\right) - \frac{\pi^2}{3} \right]$$

$s = -500^2, m = 0.0005, \lambda = 10^{-2500}$

解析近似解 1.272295747

計算解 1.272296056

$s = 500^2, m = 0.0005, \lambda = 10^{-2500}$

解析近似解 実数部 -1.272276008

虚数部 0.1448318783

計算解 実数部 -1.272276295

虚数部 0.1448319591

$$s = 500^2, m = 0.0005$$

λ の値が充分小さくないと結果の精度が良くない
事があります。

実測値と解析式の相対誤差

| λ | 実数部 | 虚数部 |
|---------------|-----------------------|-----------------------|
| 10^{-15} | 6.23×10^{-3} | 1.38×10^{-2} |
| 10^{-150} | 6.30×10^{-5} | 1.49×10^{-4} |
| 10^{-1500} | 6.68×10^{-7} | 1.59×10^{-6} |
| 10^{-2500} | 2.26×10^{-7} | 5.58×10^{-7} |
| 10^{-15000} | 6.42×10^{-9} | 1.61×10^{-8} |

$m^2 = 0, e = 0$ とすると

$$\int_0^1 \int_0^{1-x} (xy)^{\eta-1} dy dx = \frac{1}{\eta} \int_0^1 x^{\eta-1} (1-x)^{\eta} dx = \frac{1}{\eta^2} \frac{(\Gamma(1+\eta))^2}{\Gamma(1+2\eta)}$$

$$I = \int_0^1 x^{\eta-1} (1-x)^{\eta} dx \text{ で}$$

$$|f(\phi(t))\phi'(t)| = \sqrt{(\log(\frac{x}{1-x}))^2 + \pi^2 x^{\eta} (1-x)^{1+\eta}}$$

$$x = \frac{1}{2} \quad |f(\phi(t))\phi'(t)| \cong \frac{\pi}{2}$$

$$x = 1 - \varepsilon \quad |f(\phi(t))\phi'(t)| \cong \log(\frac{1}{\varepsilon}) \varepsilon^{\eta+1}$$

$$\eta = 0.01 \quad \varepsilon = 10^{-12} \quad |f(\phi(t))\phi'(t)| \cong 2.5 \times 10^{-11}$$

$$x = \varepsilon \quad |f(\phi(t))\phi'(t)| \cong \log(\frac{1}{\varepsilon}) \varepsilon^{\eta}$$

$$\eta = 0.01 \quad \varepsilon = 10^{-300} \quad |f(\phi(t))\phi'(t)| \cong 0.691$$

$$\varepsilon = 10^{-2450} \quad |f(\phi(t))\phi'(t)| \cong 2 \times 10^{-21}$$

計算結果

case1

$\eta=0.01$ $\lambda=1.928749847963918E-022$

解析解 9998.3788657943168703256823523950561

倍精度 9328.03614724728 N=1024

倍精度(改) 9998.37886579432 N=1024

拡張倍精度 9998.37886579431643 N=738

4倍精度(ieee) 9998.37886579431687032567867936706 N=772

4倍精度(dd) 9362.3766317791673695811894621156875 N=1184

case2

$\eta=7.238241365054197E-003$ $\lambda=1.0000000000000000E-030$

解析解 19085.205538478496689369143315971833

倍精度 15919.3830485798 N=1024

倍精度(改) 19085.2055384785 N=1024

拡張倍精度 19085.2055384784966e N=738

4倍精度(ieee) 19085.2055384784966414971500589276 N=772

4倍精度(dd) 16034.373970898940278247867121568078 N=1184

解析結果

$$\int_0^1 \int_0^{1-x} \frac{1}{(xy)^{1-\eta}} dy dx = \frac{1}{\eta^2} \frac{(\Gamma(1+\eta))^2}{\Gamma(1+2\eta)}$$

$$\int_0^1 \int_0^{1-x} \frac{1}{(xy)^{1-\eta}} dy dx = \frac{1}{\eta} \int_0^1 x^{\eta-1} (1-x)^\eta dx$$

$f(x) = x^{\eta-1} (1-x)^\eta$ とすると

$$|f(\phi(t))\phi'(t)| = \sqrt{\left(\log\left(\frac{x}{1-x}\right)\right)^2 + \pi^2 x^\eta (1-x)^{1+\eta}}$$

$x = \varepsilon, |f(\phi(t))\phi'(t)| \cong \varepsilon^\eta \log\left(\frac{1}{\varepsilon}\right)$ となり, 表現可能な ε の

値に精度が依存する事になる。

$$\int_0^1 \int_0^{1-x} (xy)^\eta dy dx = \frac{1}{\eta+1} \int_0^1 x^\eta (1-x)^{\eta+1} dx = \frac{(\Gamma(1+\eta))^2}{(1+2\eta)(2+2\eta)\Gamma(1+2\eta)}$$

より $\int_0^1 \int_0^{1-x} \frac{1}{(xy)^{1-\eta}} dy dx = \frac{(1+2\eta)(2+2\eta)}{\eta^2} \int_0^1 \int_0^{1-x} (xy)^\eta dy dx$

$\int_0^1 \int_0^{1-x} (xy)^\eta dy dx$ は $x = p(1-q), y = pq$ で変数変換して,

$$\int_0^1 \int_0^{1-x} (xy)^\eta dy dx = \int_0^1 P^{1+2\eta} dp \times \int_0^1 q^\eta (1-q)^\eta dq$$

$\int_0^1 P^{1+2\eta} dp$ では, $|f(\phi(t))\phi'(t)| = \sqrt{\left(\log\left(\frac{x}{1-x}\right)\right)^2 + \pi^2 x^{2+\eta} (1-x)}$

$x = \varepsilon, 1-\varepsilon$ で $|f(\phi(t))\phi'(t)|$ は十分小さくなる。

$\int_0^1 q^\eta (1-q)^\eta dq$ では, $x = \varepsilon, 1-\varepsilon$ で $|f(\phi(t))\phi'(t)| \cong \varepsilon^{\eta+1} \log\left(\frac{1}{\varepsilon}\right)$

となり, 倍精度変数で ε の値は取れる。

一般化

$$\int_0^1 \int_0^{1-x} \dots \int_0^{1-x_1-\dots-x_{n-1}} \frac{1}{(x_1 x_2 \dots x_n)^{1-\eta}} dx_n dx_{n-1} \dots dx_1$$

$$= \frac{1}{\eta^n} \frac{(\Gamma(1+\eta))^n}{\Gamma(1+n\eta)}$$

$$\frac{(\Gamma(1+\eta))^n}{\Gamma(1+n\eta)} = \frac{1+n\eta}{(1+\eta)^n} \exp\left[\sum_{m=2}^{\infty} (-1)^m \frac{\zeta(m)-1}{m} (n-n^m)\eta^m\right]$$

$\frac{(\Gamma(1+\eta))^n}{\Gamma(1+n\eta)}$ は以下の様にして求める事ができる。

$$a_m = (-1)^m \frac{n-n^m}{m} \zeta(m)$$

$$f_0 = 1, f_1 = 0, f_2 = a_2, f_3 = a_3, f_4 = a_4 + \frac{1}{2}a_2^2, f_5 = a_5 + a_2a_3$$

$$f_6 = a_6 + a_2a_4 + \frac{1}{2}a_3^2 + \frac{1}{6}a_2^3$$

$$f_7 = a_7 + a_2a_5 + a_3a_4 + \frac{1}{2}a_2^2a_3$$

$$f_8 = a_8 + a_2a_6 + a_3a_5 + \frac{1}{2}a_4^2 + \frac{1}{2}a_2^2a_4 + \frac{1}{2}a_2a_3^2 + \frac{1}{24}a_2^4$$

$$n = 5$$

$$a_2 = -10\zeta(2), a_3 = 40\zeta(3), a_4 = -155\zeta(4)$$

$$a_5 = 624\zeta(5)$$

展開式

$$1 - 10\zeta(2)\eta^2 + 40\zeta(3)\eta^3 \\ + (-155\zeta(4) + 50(\zeta(2))^2)\eta^4 \\ + (624\zeta(5) - 400\zeta(2)\zeta(3))\eta^5$$

$$n = 6$$

$$a_2 = -15\zeta(2), a_3 = 70\zeta(3), a_4 = -\frac{645}{2}\zeta(4)$$

$$a_5 = 1554\zeta(5), a_6 = -7775\zeta(6)$$

展開式

$$1 - 15\zeta(2)\eta^2 + 70\zeta(3)\eta^3 \\ + \left(-\frac{645}{2}\zeta(4) + \frac{225}{2}(\zeta(2))^2\right)\eta^4 \\ + (1554\zeta(5) - 1050\zeta(2)\zeta(3))\eta^5 \\ + \left(-7775\zeta(6) + \frac{9675}{2}\zeta(2)\zeta(4) + 2450(\zeta(3))^2\right. \\ \left. - \frac{1125}{2}(\zeta(2))^3\right)\eta^6$$

$$n = 7$$

$$a_2 = -21\zeta(2), a_3 = 112\zeta(3), a_4 = -\frac{1197}{2}\zeta(4)$$

$$a_5 = 3360\zeta(5), a_6 = -19607\zeta(6), a_7 = 117648\zeta(7)$$

展開式

$$\begin{aligned} & 1 - 21\zeta(2)\eta^2 + 112\zeta(3)\eta^3 \\ & + \left(-\frac{1197}{2}\zeta(4) + \frac{441}{2}(\zeta(2))^2\right)\eta^4 \\ & + (3360\zeta(5) - 2352\zeta(2)\zeta(3))\eta^5 \\ & + \left(-19607\zeta(6) + \frac{25137}{2}\zeta(2)\zeta(4) + 6272(\zeta(3))^2\right. \\ & \quad \left. - \frac{3087}{2}(\zeta(2))^3\right)\eta^6 \\ & + (117648\zeta(7) - 70560\zeta(2)\zeta(5) - 67032\zeta(3)\zeta(4) \\ & + 24696(\zeta(2))^2\zeta(3))\eta^7 \end{aligned}$$

$$n = 8$$

$$a_2 = -28\zeta(2), a_3 = 168\zeta(3), a_4 = -1022\zeta(4)$$

$$a_5 = 6552\zeta(5), a_6 = -\frac{131068}{3}\zeta(6), a_7 = 299592\zeta(7)$$

$$a_8 = -2097151\zeta(8)$$

展開式

$$\begin{aligned} & 1 - 28\zeta(2)\eta^2 + 168\zeta(3)\eta^3 \\ & + (-1022\zeta(4) + 392(\zeta(2))^2)\eta^4 \\ & + (6552\zeta(5) - 4704\zeta(2)\zeta(3))\eta^5 \\ & + \left(-\frac{131068}{3}\zeta(6) + 28616\zeta(2)\zeta(4) + 14112(\zeta(3))^2\right. \\ & \quad \left. - \frac{21952}{6}(\zeta(2))^3\right)\eta^6 \\ & + (299592\zeta(7) - 183456\zeta(2)\zeta(5) - 171696\zeta(3)\zeta(4) \\ & + 65856(\zeta(2))^2\zeta(3))\eta^7 \\ & + (-2097151\zeta(8) + \frac{3669904}{3}\zeta(2)\zeta(6) + 110736\zeta(3)\zeta(5) \\ & + 522242(\zeta(4))^2 - 400624(\zeta(2))^2\zeta(4) - 395136\zeta(2)(\zeta(3))^2 \\ & + \frac{76382}{3}(\zeta(2))^4)\eta^8 \end{aligned}$$

$$\zeta(2) = \frac{\pi^2}{6}, \zeta(4) = \frac{\pi^4}{90}, \zeta(6) = \frac{\pi^6}{945}, \zeta(8) = \frac{\pi^8}{9450}$$

実測結果 $\eta = 0.01$

dim5 = 0.998402809124425953047924794752494

dim5 = 0.998402809640216913557719749246

dim6 = 0.997616251685321110907418255207708

dim6 = 0.997616251653673359393296190115

dim7 = 0.996679645316743857719951968389312

dim7 = 0.996679645317184684228686126118

dim8 = 0.995595435273981970066429062072135

dim8 = 0.995595435274204817137389673495

実測結果 $\eta = 0.001$

dim5 = 0.99998359870899406828716309047912985

dim5 = 0.999983598708994592536696357810

dim6 = 0.99997541008787161963796582035430388

dim6 = 0.999975410087871616448538275141

dim7 = 0.99996559096266763917441568060487196

dim7 = 0.999965590962667639178603625416

dim8 = 0.99995414374373370183843190221152245

dim8 = 0.999954143743733701839646669370

積分値の精度は η の値により表現可能な数値範囲に依存するため、この影響を少なくするために以下の公式を用いて計算する。

$$\begin{aligned}
 & \int_0^1 \int_0^{1-x} \dots \int_0^{1-x_1-\dots-x_{n-1}} \frac{1}{(x_1 x_2 \dots x_n)^{1-\eta}} dx_n dx_{n-1} \dots dx_1 \\
 &= \frac{1}{\eta^n} \frac{(\Gamma(1+\eta))^n}{\Gamma(1+n\eta)} \\
 & \eta^n \int_0^1 \int_0^{1-x} \dots \int_0^{1-x_1-\dots-x_{n-1}} \frac{1}{(x_1 x_2 \dots x_n)^{1-\eta}} dx_n dx_{n-1} \dots dx_1 \\
 &= (1+n\eta)(2+n\eta)\dots(n+n\eta) \int_0^1 \int_0^{1-x} \dots \int_0^{1-x_1-\dots-x_{n-1}} (x_1 x_2 \dots x_n)^\eta dx_n dx_{n-1} \dots dx_1
 \end{aligned}$$

一般ベータ関数

$$I_n = \int_{\Omega} X_1^{y_1-1} X_2^{y_2-1} \dots X_n^{y_n-1} d\Omega \quad (1)$$

$$J_n = \int_{\Omega} X_1^{y_1} X_2^{y_2} \dots X_n^{y_n} d\Omega \quad (2)$$

$$\Omega = \{x_i \geq 0 \mid \sum_{i=1}^{n+1} x_i = 1\}, d\Omega = dx_n dx_{n-1} \dots dx_1$$

$$(y_1 y_2 \dots y_n) I_n = (z_1 z_2 \dots z_n) J_n \quad : \quad z_i = i + \sum_{j=1}^n y_j$$

(1)で計算する場合,4倍精度または4倍精度変数を2つつなげた8倍精度演算が必要。(DQ形式)

(2)で計算する場合は倍精度またはDD形式の4倍精度演算で精度の良い結果が得られる。

(2)box

$$\eta = \frac{1}{\log\left(\frac{1}{\lambda^2}\right)}$$

$$I = \int_0^1 \int_0^{1-x} \int_0^{1-x-y} \frac{1}{D^{2-\eta}} dz dy dx$$

$$D = xz + y(1-x-y-z)$$

では,

$$I = \frac{1}{1-\eta} \frac{2}{\eta} \left(\frac{2}{\eta} - \frac{\pi^2}{4} 2^{1-\eta} \eta \right) \frac{(\Gamma(1+\eta))^2}{\Gamma(1+2\eta)}$$

$$\frac{(\Gamma(1+\eta))^2}{\Gamma(1+2\eta)} = \frac{1+2\eta}{(1+\eta)^2} \exp\left[\sum_{k=2}^{\infty} (-1)^k (2-2^k) \left(\frac{\zeta(k)-1}{k} \right) \eta^k \right]$$

$$\log \Gamma(1+x) = -\log(1+x) + (1-\gamma)x + \sum_{k=2}^{\infty} (-1)^k \left(\frac{\zeta(k)-1}{k} \right) x^k \text{より。}$$

$$I = \frac{a_{-2}}{\eta^2} + \frac{a_{-1}}{\eta} + a_0 \text{とすると, } a_{-2} = 4, a_{-1} = 4, a_0 = -4\left(\frac{5}{12}\pi^2 - 1\right) = -\frac{5}{3}\pi^2 + 4$$

これは以下の事からきています。

$$I = \left[\int_0^1 \frac{(1-q)^{1-\eta} - q^{1-\eta}}{(1-2q)q^{1-\eta}(1-q)^{1-\eta}} dq \right] \times \frac{1}{1-\eta} \left[\int_0^1 \frac{1}{p^{1-\eta}(1-p)^{1-\eta}} dp \right]$$

$$\text{から } \frac{1}{1-\eta} \left[\int_0^1 \frac{1}{p^{1-\eta}(1-p)^{1-\eta}} dp \right] = \frac{1}{1-\eta} \frac{2}{\eta} \frac{(\Gamma(1+\eta))^2}{\Gamma(1+2\eta)}.$$

$$\int_0^1 \frac{(1-q)^{1-\eta} - q^{1-\eta}}{(1-2q)q^{1-\eta}(1-q)^{1-\eta}} dq = \frac{2}{\eta} - \frac{\pi^2}{4} 2^{1-\eta} \eta \text{となるがより詳細には}$$

次ぎの様になります。

$$\int_0^1 \frac{(1-q)^{1-\eta} - q^{1-\eta}}{(1-2q)q^{1-\eta}(1-q)^{1-\eta}} dq = \int_0^1 \left[\frac{q^\eta}{(1-2q)q} - \frac{(1-q)^\eta}{(1-2q)(1-q)} \right] dq$$

$$= 2 \int_0^1 \frac{q^\eta - (1-q)^\eta}{1-2q} dq + \frac{2}{\eta} = \frac{2}{\eta} + 2^{1-\eta} \int_0^1 \frac{(1-t)^\eta - (1+t)^\eta}{t} dt$$

$$= \frac{2}{\eta} - 2^{1-\eta} 2\eta \left(1 + \sum_{k=1}^{\infty} \frac{(\eta-1)(\eta-2)\dots(\eta-2k)}{(2k+1)!(2k+1)} \right)$$

()の定数項は $-2 \left(1 + \sum_{k=1}^{\infty} \frac{1}{(2k+1)^2} \right) = -2 \left(\sum_{k=1}^{\infty} \frac{1}{(2k-1)^2} \right) = -2 \frac{3}{4} \zeta(2)$

$$= -\frac{\pi^2}{4}$$

()の η の一次の項は負の数の和の絶対値で計算すると

$$\sum_{k=1}^{\infty} \frac{\text{分子の項}}{(2k+1)!(2k+1)}$$

$$\text{分子の項} = (2k)! \sum_{r=1}^{2k} \frac{1}{r} < (2k)! [\log(2k+1) + \gamma]$$

$\gamma = 0.5772156649$ (オイラーの定数)

$$\sum_{k=1}^{\infty} \frac{(2k)! [\log(2k+1) + \gamma]}{(2k+1)!(2k+1)} = \sum_{k=1}^{\infty} \frac{\log(2k+1)}{(2k+1)^2} + \gamma \sum_{k=1}^{\infty} \frac{1}{(2k+1)^2}$$

$$\sum_{k=1}^{\infty} \frac{\log(2k+1)}{(2k+1)^2} = \pi^2 \left[\frac{3}{2} \log A - \frac{1}{6} \log(2) - \frac{1}{8} \log(\pi) - \frac{\gamma}{8} \right] = 0.4181157384$$

$$A = \lim_{n \rightarrow \infty} \frac{1 \times 2^2 \times 3^3 \times \dots \times n^n}{n^{n^2/2+n/2+1/12}} e^{\frac{n^2}{4}} = 1.282427130$$

$$\log A = 0.2487544703$$

$$\gamma \sum_{k=1}^{\infty} \frac{1}{(2k+1)^2} = \gamma \left[\sum_{k=1}^{\infty} \frac{1}{(2k-1)^2} - 1 \right] = \gamma \left(\frac{\pi^2}{8} - 1 \right) = 0.1348956184$$

これから()内の η の一次の項の係数は -0.5530113568

全体では $-2^{1-\eta} \times 2\eta$ をかけて $2.212\eta^2$ となりこれが一次式を取った場合の誤差となる。

実測例としては以下のものがあります。

解析近似式を使用して、 $\lambda = 10^{-1000000001} \sim 10^{-1000000045}$

で計算しました。ただしgamma関数はサポートされていない機種もあり、展開式より計算しています。

```
a2= 4.000000000000000065094194454995095
a1= 4.0000000000000001117756660514563709
a0= -12.4493406676118712066445306454111
```

変数変換区間SR16000 $[10^{-100}, 1 - 10^{-100}]$, x5570とx2670では $[10^{-200}, 1 - 2^{-113}]$ の4倍精度では

epsilon**算法の収束具合は**

$\lambda = 10^{-150}$ で

| | 値 | 誤差 |
|---------|----------------------------|----------------------------|
| x5570 | 0.191143398445070834D + 07 | 0.140633312313127879D - 05 |
| x2670 | 0.191143398444577885D + 07 | 0.210270925388344072D - 07 |
| sr16000 | 0.191143398444582948Q + 07 | 0.156658222921909210Q - 05 |

$\lambda = 10^{-1500}$ で

| | | |
|---------|----------------------------|----------------------------|
| x5570 | 0.190895950695064375D + 09 | 0.919500023320091177D - 01 |
| x2670 | 0.190895950598091269D + 09 | 0.477814929853799862D - 01 |
| sr16000 | 0.190895950686589134Q + 09 | 0.470812225711499829Q - 01 |

$\lambda = 10^{-15000}$ で

| | | |
|---------|----------------------------|----------------------------|
| x5570 | 0.190871021209837876D + 11 | 0.771928148538333458D + 04 |
| x2670 | 0.190871096344010433D + 11 | 0.183847060803184605D + 03 |
| sr16000 | 0.190871111864473018Q + 11 | 0.190871121114962521Q + 11 |

(注)SR16000では他に変化の小さい要素がある。

となっています。

あとSR16000でのある λ の範囲での a_{-2}, a_{-1}, a_0 は以下の様になっています。

ramda= $10^{-16} \sim 10^{-30}$

a2= 4.00000344724677645844034046757416

a1= 3.99861407619387554668745765583265

a0= -12.2639453402406000000000000020020

ramda= $10^{-31} \sim 10^{-45}$

a2= 4.00000099577869056434484930528836

a1= 3.99939509233538395973479843855165

a0= -12.326990512798999999999999759162

ramda= $10^{-46} \sim 10^{-60}$

a2= 4.00000041264201279800645140064705

a1= 3.99966395945103743579061852729121

a0= -12.358196281822999999999999796046

ramda=10^{-61}~10^[-75]

a2= 4.00000019676625921874246419452751

a1= 3.99979490092391388668793381657374

a0= -12.3781474808740000000000001848136

ramda=10^{-76}~10^[-90]

a2= 4.00000014459869220092907590162562

a1= 3.99983240900972265003642249066011

a0= -12.3848690023040000000000001603800

rambda=10^{-91}~10^{-105}

a2= 4.00000003694782985017339116664484

a1= 3.99996494892422507975597908036244

a0= -12.41545871332175260000000000000001

λ の値が小さくなるほど

a_0 は $-\frac{5\pi^2}{3} + 4$ に近付いています。

3.4.3 bsgamma

bsy planar

$$\begin{aligned}
 D = & \mathbf{c}(x_1(p_1^2 - m_1^2) + x_2(p_2^2 - m_2^2) - x_3 m_3^2 - x_6 m_6^2) \\
 & - \mathbf{c}_1(x_5^2 p_2^2 + x_4^2 p_1^2 + x_4 x_5(p_1^2 + p_2^2)) \\
 & - \mathbf{c}_2(x_2^2 p_2^2 + x_1^2 p_1^2 + x_1 x_2(p_1^2 + p_2^2)) \\
 & - 2x_2 x_3 x_5 p_2^2 - 2x_1 x_3 x_4 p_1^2 - x_3(x_2 x_4 + x_1 x_5)(p_1^2 + p_2^2)
 \end{aligned}$$

$$x_6 = 1 - x_1 - x_2 - x_3 - x_4 - x_5$$

$$\mathbf{c}_1 = x_1 + x_2 + x_3$$

$$\mathbf{c}_2 = 1 - x_1 - x_2$$

$$\mathbf{c} = x_3(1 - x_1 - x_2 - x_3) + (x_1 + x_2)(1 - x_1 - x_2) = x_3(\mathbf{c}_2 - x_3) + (1 - \mathbf{c}_2)\mathbf{c}_2$$

$$p_1^2 = m_b^2, p_2^2 = m_s^2, m_1^2 = m_2^2 = 1.5^2, m_3^2 = 80.3477^2,$$

$$m_b^2 = 4.7^2, m_s^2 = 0.094^2, m_6^2 = \lambda^2$$

$$\mathbf{I} = \int_0^1 \int_0^{1-x_1} \int_0^{1-x_1-x_2} \int_0^{1-x_1-x_2-x_3} \int_0^{1-x_1-x_2-x_3-x_4} \frac{1}{D^2} dx_5 dx_4 dx_3 dx_2 dx_1$$

bsy planar

5次元用の変数変換

$$x_1 = xy(1 - z)$$

$$x_1 + x_2 = xy$$

$$x_2 = xyz$$

$$x_1 + x_2 + x_3 = x$$

$$x_3 = x(1 - y)$$

$$c_1 = x$$

$$x_4 = (1 - x)u(1 - v)$$

$$c_2 = 1 - xy$$

$$x_5 = (1 - x)uv$$

$$x_4 + x_5 = (1 - x)u$$

$$x_6 = (1 - x)(1 - u)$$

$$c = x[(1 - x)(1 - y) + y(1 - xy)]$$

$$J = x^2(1 - x)^2 yu$$

$$\frac{J}{D^2} = \frac{J_0}{D_0^2} \quad J_0 = (1 - x)^2 yu$$

$$\begin{aligned} D_0 = & -[(1 - x)(1 - y) + y(1 - xy)][xym_1^2 + x(1 - y)m_3^2 \\ & + (1 - x)(1 - u)m_6^2] \\ & - (1 - x)^2 u^2 [(1 - v)p_1^2 + vp_2^2] \\ & + x(1 - x)y(1 - y)[(1 - z)p_1^2 + zp_2^2 \\ & - 2u(zvp_2^2 + (1 - z)(1 - v)p_1^2) \\ & - u(z(1 - v) + (1 - z)v)(p_1^2 + p_2^2)] \end{aligned}$$

これを更に4次元化する。

4次元化後のbs γ

$$I = \int_{\Omega^5} \frac{(1-x)^2 y u}{D^2} d\Omega^5 = \int_{\Omega^4} \frac{(1-x)^2 y u}{(A+B)B} d\Omega^4$$

$$\begin{aligned} D = & [1-x+xy(1-y)][xy(1-z)(p_1^2 - m_1^2) + xyz(p_2^2 - m_2^2)] \\ & - [1-x+xy(1-y)][x(1-y)m_3^2 + (1-x)(1-u)\lambda^2] \\ & - (1-x)^2 u^2 [(1-v)p_1^2 + vp_2^2] \\ & - (1-xy)xy^2 [(1-z)p_1^2 + zp_2^2] \\ & - x(1-x)y(1-y)u[(2-z-v)p_1^2 + (z+v)p_2^2] \end{aligned}$$

$$A = (p_1^2 - p_2^2)(1-x)u[(1-x)u + xy(1-y)]$$

$$\begin{aligned} B = & [1-x+xy(1-y)][xy(1-z)(p_1^2 - m_1^2) + xyz(p_2^2 - m_2^2)] \\ & - [1-x+xy(1-y)][x(1-y)m_3^2 + (1-x)(1-u)\lambda^2] \\ & - (1-x)^2 u^2 p_1^2 - x(1-x)y(1-y)u[(2-z)p_1^2 + zp_2^2] \\ & - (1-xy)xy^2 [(1-z)p_1^2 + zp_2^2] \end{aligned}$$

$$\begin{aligned} p_1^2 = m_b^2, p_2^2 = m_s^2, m_1^2 = m_2^2 = 1.5^2, m_3^2 = 80.3477^2, \\ m_b^2 = 4.7^2, m_s^2 = 0.094^2, m_6^2 = \lambda^2 \end{aligned}$$

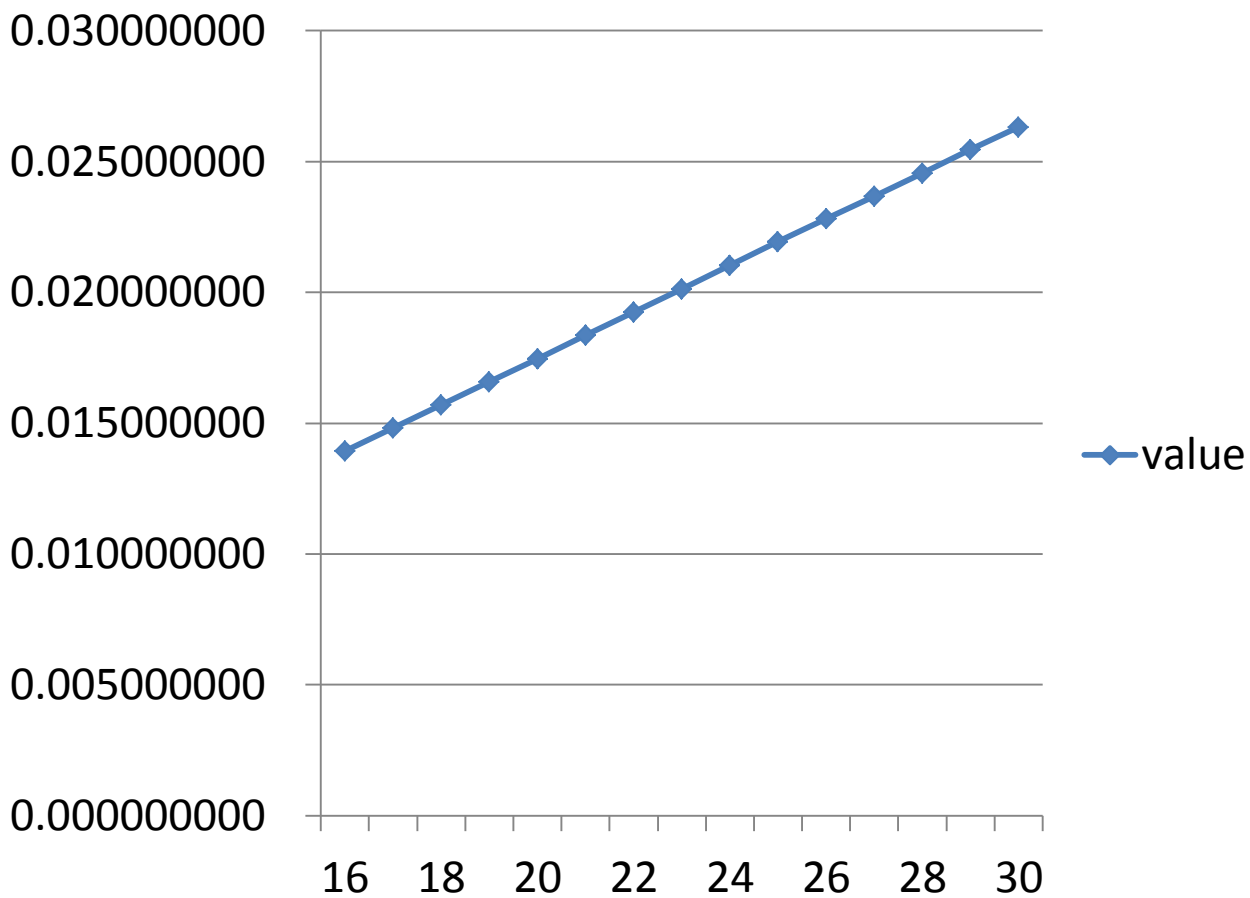
bsgamma

planar

$$\lambda = 10^{-n}$$

| n | value |
|----|-------------|
| 16 | 0.013945911 |
| 17 | 0.014826698 |
| 18 | 0.015707767 |
| 19 | 0.016590158 |
| 20 | 0.017473234 |
| 21 | 0.018355518 |
| 22 | 0.019238562 |
| 23 | 0.020130180 |
| 24 | 0.021035437 |
| 25 | 0.021938463 |
| 26 | 0.022811082 |
| 27 | 0.023666177 |
| 28 | 0.024552533 |
| 29 | 0.025458382 |
| 30 | 0.026327504 |

value



$$\lambda = 10^{-n}$$

bsgamma 一次差分結果

| n | N=728 | N=1024 | N=1456 |
|----|-------------------|-------------------|-------------------|
| 16 | 0.000881676036303 | 0.000881676024318 | 0.000881676024308 |
| 17 | 0.000881675957819 | 0.000881676024256 | 0.000881676024308 |
| 18 | 0.000881676127056 | 0.000881676024379 | 0.000881676024308 |
| 19 | 0.000881676192593 | 0.000881676024096 | 0.000881676024308 |
| 20 | 0.000881675929067 | 0.000881676025850 | 0.000881676024307 |
| 21 | 0.000881675933258 | 0.000881676026869 | 0.000881676024308 |
| 22 | 0.000881675979610 | 0.000881676024874 | 0.000881676024305 |

3.4.5 two loop vertex

bsy planar

を変形して, $p_1^2 = p_2^2 = m_1^2 = m_2^2 = m_\mu^2$ として,

g2を作成する。

$$D = -C(x_3 m_3^2 + x_6 m_6^2) \\ - [(x_1 + x_2 + x_3)(x_4 + x_5)^2 + (x_1 + x_2)^2(1 - x_1 - x_2) \\ + 2x_3(x_1 + x_2)(x_4 + x_5)] m_\mu^2$$

$$807 \quad m_\mu = 0.1057, m_3 = m_6 = \lambda$$

$$808 \quad m_\mu = 0.1057, m_3 = M_z = 91.19, m_6 = \lambda$$

$$809 \quad m_\mu = 0.1057, m_3 = M_H = 125.5, m_6 = \lambda$$

変数変換

$$\begin{array}{ll} x_1 = xy(1-z) & x_1 + x_2 = xy \\ x_2 = xyz & x_1 + x_2 + x_3 = x \\ x_3 = x(1-y) & c_1 = x \\ x_4 = (1-x)u(1-v) & c_2 = 1-xy \\ x_5 = (1-x)uv & x_4 + x_5 = (1-x)u \\ x_6 = (1-x)(1-u) & c = x[(1-x)(1-y) + y(1-xy)] \end{array}$$

$$J = x^2(1-x)^2 yu$$

$$\frac{J}{D^2} = \frac{J_0}{D_0^2} \quad J_0 = (1-x)^2 yu$$

g2

$$D_0 = -[(1-x)(1-y) + y(1-xy)][x(1-y)m_3^2 + (1-x)(1-u)m_6^2] \\ - [xy^2(1-xy) + (1-x)^2 u^2 + 2x(1-x)y(1-y)u] m_\mu^2$$

と3次元化して $m_\mu^2 = 1$ と正規化して計算する。

15の $\lambda = 10^{-n}$ ($16 \leq n \leq 30$) に対して計算し, 807は二次差分を, 808, 809

は一次差分をとり, $\log(\frac{1}{\lambda^2})$ の二次式, 一次式となる事を検証。

g2 808一次差分

N=2912で10進11桁(全桁)一致

| g2 808 一次差分 | | | | |
|-------------|-------------------|-------------------|-------------------|--|
| n | N=728 | N=1456 | N=2912 | |
| 16 | 0.000038733241268 | 0.000038733248507 | 0.000038733248507 | |
| 17 | 0.000038733234064 | 0.000038733248507 | 0.000038733248507 | |
| 18 | 0.000038733266331 | 0.000038733248507 | 0.000038733248507 | |
| 19 | 0.000038733326864 | 0.000038733248507 | 0.000038733248507 | |
| 20 | 0.000038733174086 | 0.000038733248506 | 0.000038733248507 | |
| 21 | 0.000038733353236 | 0.000038733248506 | 0.000038733248507 | |
| 22 | 0.000038733544343 | 0.000038733248510 | 0.000038733248507 | |
| 23 | 0.000038731850666 | 0.000038733248499 | 0.000038733248507 | |
| 24 | 0.000038732625311 | 0.000038733248540 | 0.000038733248507 | |
| 25 | 0.000038734471892 | 0.000038733248546 | 0.000038733248507 | |
| 26 | 0.000038731896322 | 0.000038733248424 | 0.000038733248507 | |
| 27 | 0.000038724804488 | 0.000038733248425 | 0.000038733248507 | |
| 28 | 0.000038738845469 | 0.000038733249112 | 0.000038733248507 | |
| 29 | 0.000038740941884 | 0.000038733249063 | 0.000038733248507 | |

g2 809一次差分

N=2912で10進11桁(全桁)一致

| g2 809一次差分 | | | | |
|------------|-------------------|-------------------|-------------------|--|
| n | N=728 | N=1456 | N=2912 | |
| 16 | 0.000021493099355 | 0.000021493102821 | 0.000021493102821 | |
| 17 | 0.000021493093286 | 0.000021493102821 | 0.000021493102821 | |
| 18 | 0.000021493115638 | 0.000021493102821 | 0.000021493102821 | |
| 19 | 0.000021493142483 | 0.000021493102821 | 0.000021493102821 | |
| 20 | 0.000021493082925 | 0.000021493102821 | 0.000021493102821 | |
| 21 | 0.000021493117428 | 0.000021493102821 | 0.000021493102821 | |
| 22 | 0.000021493302447 | 0.000021493102823 | 0.000021493102821 | |
| 23 | 0.000021492401183 | 0.000021493102817 | 0.000021493102821 | |
| 24 | 0.000021492629664 | 0.000021493102839 | 0.000021493102821 | |
| 25 | 0.000021493704654 | 0.000021493102844 | 0.000021493102821 | |
| 26 | 0.000021492781172 | 0.000021493102769 | 0.000021493102821 | |
| 27 | 0.000021488800060 | 0.000021493102792 | 0.000021493102821 | |
| 28 | 0.000021495565878 | 0.000021493103126 | 0.000021493102821 | |
| 29 | 0.000021496356431 | 0.000021493103198 | 0.000021493102821 | |

3.4.4 4次元積分

4次元積分として、以下の S^{221} を検討した。

$$S^{221}(s; m_1^2, m_2^2, m_3^2, m_4^2, m_5^2) = \int_0^{1-x} \int_0^{1-x-y} \int_0^{1-x-y-z} \int_0^1 \frac{1}{DC} du dz dy dx$$

$$C = (x + y + z + u)(1 - x - y - z - u) + (x + y)(z + u)$$

$$E = (1 - x - y - z - u)(x + z)(y + u) + (x + y)zu + (z + u)xy$$

$$M^2 = xm_1^2 + ym_2^2 + zm_3^2 + um_4^2 + (1 - x - y - z - u)m_5^2$$

$$D = -sE + M^2C$$

積分領域は Ω で表す。

精度チェックのための基本演算の解析解と計算結果は下記の通り。

解析解

case1 $S^{221}(1;0,0,0,0,0) = -6\zeta(3) = -7.21234141895756568$

case2 $S^{221}(-1;0,0,0,0,0) = 6\zeta(3) = 7.21234141895756568$

case3 $S^{221}(0;1,1,1,0) = 1$

case4 $S^{221}(0;0,1,1,0) = \zeta(2) = \frac{\pi^2}{6} = 1.644934066848226436472$

case5 $S^{221}(0;1,1,1,1) = -\int_0^1 \frac{x(\frac{\ln x(1-x)}{1-x+x^2} + 1)}{1-x+x^2} = 0.78130241289648$

計算解

case1 result = - 7.21234141895747793

case2 result = 7.21234141895747793

case3 result = 0.99999999999997335

case4 result = 1.64493406684822352

case5 result = 0.781302412896484055

特殊な計算例は以下の通り

$$S^{221}(s; m^2, 0, 0, 0, 0) \quad s = \pm 1, m^2 = 1 \quad \text{解析解 } \mp 3\zeta(3) = \mp 3.6061707947878284$$

$$s = -1, m^2 = 1$$

$$\text{計算解 } (\epsilon - \text{算法なし}) = 3.60617070947862928$$

$$\text{計算解 } (y = -s/m^2) = 0.107304279342169218 + 162 \quad 0.363 + 149$$

$$\text{計算解 } (x = -m^2/s) = 0.360617069930836021D + 01 \quad 0.257D - 10$$

$$s = 1, m^2 = 1$$

$$\text{計算解 } (\epsilon - \text{算法なし}) = +*****$$

$$\text{計算解 } (y = -s/m^2) = -0.200213566025878417 + 162 \quad 0.261 + 162$$

$$\text{計算解 } (x = -m^2/s) = -0.360611840086198487D + 01 \quad 0.161D - 04$$

尚以下の式は発散する。

$$S^{221}(0; 0, 0, 1, 1, 0) = -\int_0^1 \frac{\ln(1-x)}{x^2} dx$$

$$S^{221}(0; 0, 0, 0, 1, 0) = -\int_0^1 \frac{\ln(1-x)}{x^2} dx \times \int_0^1 \frac{1}{y} dy$$

さらに詳細に解析すると

$$S^{221}(s; m^2, 0, 0, 0, 0) = \int_0^1 \int_0^{1-x} \int_0^{1-x-y} \int_0^{1-x-y-z} \frac{1}{CD} du dz dy dx = \int_{\Omega} \frac{1}{CD} d\Omega$$

$$D = -sE + xm^2C \quad s = -1, m^2 = 1 \Rightarrow D = E + xC$$

$$\frac{1}{CD} = \frac{1}{CE} - \frac{x}{E(E + xC)}$$

$$\int_{\Omega} \frac{1}{CE} d\Omega = 6\zeta(3) \Rightarrow \text{実測結果 result} = 7.21234141895747793$$

$$\int_{\Omega} \frac{x}{E(E + xC)} d\Omega = 3\zeta(3) \Rightarrow \text{実測結果 result} = 3.60617070947877494$$

$$\int_{\Omega} \frac{1}{C^2} d\Omega = S^{221}(0; 1, 1, 1, 1, 1) \Rightarrow \text{実測結果 result} = 0.781302412896484055$$

$$\int_{\Omega} \frac{1}{C} d\Omega = \frac{1}{6} \Rightarrow \text{実測結果 result} = 0.16666666666666665747$$

$$\int_{\Omega} \frac{1}{E} d\Omega = \frac{11}{9}\zeta(3) \Rightarrow \text{実測結果 result} = 1.46918065941728160$$

$$S^{221}(-1; 1, 1, 1, 1, 1) \text{ result} = 0.680876150423024185$$

$$S^{221}(1; 1, 1, 1, 1, 1) \text{ result} = 0.923631826519863641$$

尚, 以下の場合には発散する。

$$\int_{\Omega} \frac{1}{xC^2} d\Omega = -\int_0^1 \frac{\ln(1-x)}{1-x} dx$$

$m^2 = 50$ と固定し, s を5,10,15,...,100と変化させたときの二重指数関数型積分の積分結果は以下の通り.二重指数関数型積分のサイズは $n = 1024$, ε - 算法での ε の初期値は 1.2^{-15}

| s | 積分値 | 積分誤差 |
|-----|---------------------------|-----------|
| 5 | 0.142933799933564448D+00 | 0.864D-06 |
| 10 | 0.874770761633400645D-01 | 0.495D-04 |
| 15 | 0.580754664645131494D-01 | 0.123D-04 |
| 20 | 0.377928730070589761D-01 | 0.444D-06 |
| 25 | 0.218394449541923323D-01 | 0.113D-03 |
| 30 | 0.773426500218699423D-02 | 0.511D-05 |
| 35 | -0.570584090394023972D-02 | 0.168D-04 |
| 40 | -0.198070245154403426D-01 | 0.125D-06 |
| 45 | -0.369777391702599822D-01 | 0.383D-04 |
| 50 | -0.721357975080699487D-01 | 0.333D-05 |
| 55 | -0.989714303728692485D-01 | 0.183D-05 |
| 60 | -0.102840960786493671D+00 | 0.923D-06 |
| 65 | -0.101914671715339883D+00 | 0.185D-06 |
| 70 | -0.991426158779158406D-01 | 0.275D-05 |
| 75 | -0.956234990743119462D-01 | 0.330D-06 |
| 80 | -0.917437470939333061D-01 | 0.166D-03 |
| 85 | -0.877601377899803609D-01 | 0.324D-03 |
| 90 | -0.848383517809659093D-01 | 0.422D-03 |
| 95 | -0.814307958141493454D-01 | 0.575D-03 |
| 100 | -0.772582671356500383D-01 | 0.244D-04 |

さらに複雑にした場合の

$S^{221}(s; m^2, m^2, 0, 0, m^2)$ 計算

$m^2 = 100$ と固定し, s を5,10,15,...,100と変化させたときの二重指数関数型積分の積分結果は以下の通り.二重指数関数型積分のサイズは $n = 1024$, ε -算法での ε の初期値は 1.2^{-15}

| s | 積分値 | 積分誤差 |
|-----|--------------------------|-----------|
| 5 | 0.300712966040258094D-01 | 0.109D-06 |
| 10 | 0.266732292799612622D-01 | 0.190D-08 |
| 15 | 0.247016613851884191D-01 | 0.650D-07 |
| 20 | 0.233122764814605241D-01 | 0.675D-08 |
| 25 | 0.222407169211559473D-01 | 0.115D-08 |
| 30 | 0.213693658017195323D-01 | 0.797D-08 |
| 35 | 0.206356969069118670D-01 | 0.595D-06 |
| 40 | 0.200022139331064649D-01 | 0.213D-08 |
| 45 | 0.194450748750508856D-01 | 0.746D-08 |
| 50 | 0.189476908636132708D-01 | 0.297D-06 |
| 55 | 0.184989268813915836D-01 | 0.590D-07 |
| 60 | 0.180892912432545142D-01 | 0.141D-06 |
| 65 | 0.177130501245448997D-01 | 0.180D-07 |
| 70 | 0.173657808967870794D-01 | 0.151D-06 |
| 75 | 0.170416613603775538D-01 | 0.238D-06 |
| 80 | 0.167388840687285462D-01 | 0.178D-06 |
| 85 | 0.164538254991338749D-01 | 0.124D-07 |
| 90 | 0.161835797358507970D-01 | 0.157D-05 |
| 95 | 0.159310205462771873D-01 | 0.299D-06 |
| 100 | 0.156908197395704066D-01 | 0.802D-06 |

3.4.6 3loop積分

今回扱った3loop積分は

$$\int_0^1 \int_0^{1-x_1} \int_0^{1-x_1-x_2} \int_0^{1-x_1-x_2-x_3} \int_0^{1-x_1-x_2-x_3-x_4} \int_0^{1-x_1-x_2-x_3-x_4-x_5} \int_0^{1-x_1-x_2-x_3-x_4-x_5-x_6} \frac{1}{D^2} d\Omega$$

$$d\Omega = dx_7 dx_6 dx_5 dx_4 dx_3 dx_2 dx_1$$

でDが次の3ケース(N0, L01, L02)の場合です。

解析解は $20\zeta_5 = 20.7385551028673985\dots$ 。

NO

$$x_8 = 1.0 - x_1 - x_2 - x_3 - x_4 - x_5 - x_6 - x_7$$

$$x_{23} = x_2 + x_3$$

$$x_{24} = x_2 + x_4$$

$$x_{247} = x_2 + x_4 + x_7$$

$$x_{1235} = x_1 + x_2 + x_3 + x_5$$

$$x_{2346} = x_2 + x_3 + x_4 + x_6$$

$$x_{5678} = x_5 + x_6 + x_7 + x_8$$

$$\begin{aligned} D = & x_{24}^2 x_5^2 - x_{2346} x_{247} x_5^2 - x_2^2 x_{2346} x_{5678} \\ & + 2 x_2 x_{23} x_{24} x_{5678} - x_{1235} x_{24}^2 x_{5678} \\ & - x_{23}^2 x_{247} x_{5678} + x_{1235} x_{2346} x_{247} x_{5678} \\ & + 2 x_2 x_{24} x_5 x_6 - 2 x_{23} x_{247} x_5 x_6 + x_2^2 x_6^2 \\ & - x_{1235} x_{247} x_6^2 + 2 x_2 x_{2346} x_5 x_7 \\ & - 2 x_{23} x_{24} x_5 x_7 + 2 x_2 x_{23} x_6 x_7 \\ & - 2 x_{1235} x_{24} x_6 x_7 + x_{23}^2 x_7^2 - x_{1235} x_{2346} x_7^2 \end{aligned}$$

L01

$$x_8 = 1.0 - x_1 - x_2 - x_3 - x_4 - x_5 - x_6 - x_7$$

$$x_{123} = x_1 + x_2 + x_3$$

$$x_{167} = x_1 + x_6 + x_7$$

$$x_{348} = x_3 + x_8 + x_4$$

$$x_{2578} = x_2 + x_5 + x_7 + x_8$$

$$\begin{aligned} D &= -x_{167} * x_{2578} * x_3^{**2} - x_{167} * x_2^{**2} * x_{348} - x_1^{**2} * x_{2578} * x_{348} \\ &+ x_{123} * x_{167} * x_{2578} * x_{348} - 2 * x_1 * x_2 * x_{348} * x_7 + x_3^{**2} * x_7^{**2} \\ &- x_{123} * x_{348} * x_7^{**2} - 2 * x_{167} * x_2 * x_3 * x_8 - 2 * x_1 * x_3 * x_7 * x_8 \\ &+ x_1^{**2} * x_8^{**2} - x_{123} * x_{167} * x_8^{**2} \end{aligned}$$

L02

$$x_8 = 1.0 - x_1 - x_2 - x_3 - x_4 - x_5 - x_6 - x_7$$

$$x_{123} = x_1 + x_2 + x_3$$

$$x_{1456} = x_1 + x_4 + x_5 + x_6$$

$$x_{678} = x_6 + x_7 + x_8$$

$$x_{247} = x_2 + x_4 + x_7$$

$$\begin{aligned} D &= x_2^{**2} * x_6^{**2} - x_{123} * x_{247} * x_6^{**2} - x_{1456} * x_2^{**2} * x_{678} \\ &- x_1^{**2} * x_{247} * x_{678} + x_{123} * x_{1456} * x_{247} * x_{678} - 2 * x_1 * x_2 * x_4 * x_{678} \\ &- x_{123} * x_4^{**2} * x_{678} - 2 * x_1 * x_2 * x_6 * x_7 - 2 * x_{123} * x_4 * x_6 * x_7 \\ &+ x_1^{**2} * x_7^{**2} - x_{123} * x_{1456} * x_7^{**2} \end{aligned}$$

L02での計算手順例

(1) $h=0.2$ $-2.4 < t < 2.4$

とてつもない結果

3.483422085800906E-008 0.999999965165779

n= 25
h= 0.2000000000000000
result= 1463432.72964967

(2) hの目安をつける。
10進5桁まで一致
 $h=4.35/24$

1.182374362483700E-006 0.999998817625638

n= 25
h= 0.1812500000000000
result= 20.7383465515643

(3)分点数を増やす
効果なし.

```
1.182374362483700E-006 0.999998817625638  
n= 41  
h= 0.1087500000000000  
result= 20.7294941799961
```

(4)解析値を超すhを求める。
 $h=4.36/24$

```
1.102223275929152E-006 0.999998897776724  
  
n= 25  
h= 0.1816666666666667  
result= 20.7866519155393
```

(5) $h=(4.351から4.359)/24$ で計算
結果が解析値のまわりを振動する。

**演算精度を上げて(1)から(5)まで行い
振動しなければ二分法により精度を上げていく
ことが出来る。**

3.4.7 4loop積分

今回扱った4loop積分は

$$\int_0^1 \int_0^{1-x_1} \int_0^{1-x_1-x_2} \int_0^{1-x_1-x_2-x_3} \int_0^{1-x_1-x_2-x_3-x_4} \int_0^{1-x_1-x_2-x_3-x_4-x_5} \int_0^{1-x_1-x_2-x_3-x_4-x_5-x_6} \int_0^{1-x_1-x_2-x_3-x_4-x_5-x_6-x_7}$$

$$\frac{1}{CD} d\Omega = dx_8 dx_7 dx_6 dx_5 dx_4 dx_3 dx_2 dx_1$$

でC, Dが次の2ケース(M_{44}, M_{45})の場合です。

解析解は

$$M_{44} \text{ は } \frac{441\zeta_7}{8} = 55.5852539156784\dots$$

$$M_{45} \text{ は } 36\zeta_3^2 = 52.017868743610\dots$$

M_{44}

$$x_9 = 1.0 - x_1 - x_2 - x_3 - x_4 - x_5 - x_6 - x_7 - x_8$$

$$x_{123} = x_1 + x_2 + x_3$$

$$x_{167} = x_1 + x_6 + x_7$$

$$x_{278} = x_2 + x_7 + x_8$$

$$x_{349} = x_3 + x_4 + x_9$$

$$x_{589} = x_5 + x_8 + x_9$$

$$C = x_{167} * x_{278} * x_{349} * x_{589} - x_{349} * x_{589} * x_7^{**2} - x_{167} * x_{349} * x_8^{**2} \\ - x_{167} * x_{278} * x_9^{**2} + x_7^{**2} * x_9^{**2}$$

$$D = -(x_{167} * x_{278} * x_3^{**2} * x_{589}) - x_{167} * x_2^{**2} * x_{349} * x_{589} \\ - x_1^{**2} * x_{278} * x_{349} * x_{589} \\ + x_{123} * x_{167} * x_{278} * x_{349} * x_{589} - 2 * x_1 * x_2 * x_{349} * x_{589} * x_7 \\ + x_3^{**2} * x_{589} * x_7^{**2} \\ - x_{123} * x_{349} * x_{589} * x_7^{**2} + x_{167} * x_3^{**2} * x_8^{**2} \\ + x_1^{**2} * x_{349} * x_8^{**2} \\ - x_{123} * x_{167} * x_{349} * x_8^{**2} - 2 * x_{167} * x_2 * x_3 * x_8 * x_9 \\ - 2 * x_1 * x_3 * x_7 * x_8 * x_9 \\ + x_{167} * x_2^{**2} * x_9^{**2} + x_1^{**2} * x_{278} * x_9^{**2} \\ - x_{123} * x_{167} * x_{278} * x_9^{**2} \\ + 2 * x_1 * x_2 * x_7 * x_9^{**2} + x_{123} * x_7^{**2} * x_9^{**2}$$

M_{45}

$$x_9 = 1.0 - x_1 - x_2 - x_3 - x_4 - x_5 - x_6 - x_7 - x_8$$

$$x_{123} = x_1 + x_2 + x_3$$

$$x_{1567} = x_1 + x_5 + x_6 + x_7$$

$$x_{279} = x_2 + x_7 + x_9$$

$$x_{349} = x_3 + x_4 + x_9$$

$$x_{589} = x_5 + x_8 + x_9$$

$$\begin{aligned} c = & -x_{279} * x_{349} * x_5^{**2} + x_{1567} * x_{279} * x_{349} * x_{589} - x_{349} * x_{589} * x_7^{**2} \\ & - 2 * x_{349} * x_5 * x_7 * x_9 - x_{1567} * x_{279} * x_9^{**2} - x_{1567} * x_{349} * x_9^{**2} \\ & + x_5^{**2} * x_9^{**2} - x_{1567} * x_{589} * x_9^{**2} + 2 * x_5 * x_7 * x_9^{**2} \\ & + x_7^{**2} * x_9^{**2} + 2 * x_{1567} * x_9^{**3} \end{aligned}$$

$$\begin{aligned} d = & x_{279} * x_3^{**2} * x_5^{**2} + x_2^{**2} * x_{349} * x_5^{**2} - x_{123} * x_{279} * x_{349} * x_5^{**2} \\ & - x_{1567} * x_{279} * x_3^{**2} * x_{589} - x_{1567} * x_2^{**2} * x_{349} * x_{589} \\ & - x_1^{**2} * x_{279} * x_{349} * x_{589} + x_{123} * x_{1567} * x_{279} * x_{349} * x_{589} \\ & - 2 * x_1 * x_2 * x_{349} * x_{589} * x_7 + x_3^{**2} * x_{589} * x_7^{**2} \\ & - x_{123} * x_{349} * x_{589} * x_7^{**2} + 2 * x_1 * x_{279} * x_3 * x_5 * x_9 \\ & - 2 * x_1 * x_2 * x_{349} * x_5 * x_9 + 2 * x_2 * x_3 * x_5^{**2} * x_9 - 2 * x_{1567} * \\ & x_2 * x_3 * x_{589} * x_9 \\ & + 2 * x_2 * x_3 * x_5 * x_7 * x_9 + 2 * x_3^{**2} * x_5 * x_7 * x_9 - 2 * x_{123} * x_{349} * \\ & x_5 * x_7 * x_9 \\ & - 2 * x_1 * x_3 * x_{589} * x_7 * x_9 + x_{1567} * x_2^{**2} * x_9^{**2} + x_1^{**2} * x_{279} * x_9^{**2} \\ & - x_{123} * x_{1567} * x_{279} * x_9^{**2} + 2 * x_{1567} * x_2 * x_3 * x_9^{**2} \\ & + x_{1567} * x_3^{**2} * x_9^{**2} + x_1^{**2} * x_{349} * x_9^{**2} - x_{123} * x_{1567} * x_{349} * x_9^{**2} \\ & + 2 * x_1 * x_2 * x_5 * x_9^{**2} - 2 * x_1 * x_3 * x_5 * x_9^{**2} + x_{123} * x_5^{**2} * x_9^{**2} \\ & + x_1^{**2} * x_{589} * x_9^{**2} - x_{123} * x_{1567} * x_{589} * x_9^{**2} + 2 * x_1 * x_2 * x_7 * x_9^{**2} \\ & + 2 * x_1 * x_3 * x_7 * x_9^{**2} + 2 * x_{123} * x_5 * x_7 * x_9^{**2} + x_{123} * x_7^{**2} * x_9^{**2} \\ & - 2 * x_1^{**2} * x_9^{**3} + 2 * x_{123} * x_{1567} * x_9^{**3} \end{aligned}$$

M₄₄ 計算作業手順

- (1) DEの積分変数変換区間 $[\varepsilon, 1 - \varepsilon]$ でそれぞれの演算精度に応じて $\varepsilon = 2^{-53}$ (倍精度), $\varepsilon = 2^{-65}$ (拡張倍精度), $\varepsilon = 2^{-113}$ (4倍精度)で計算。全てnanまたはゼロ割りが発生。
- (2) $\varepsilon = 2^{-53}$ (4倍精度) ($h = 0.25$), 倍精度 $t = -2.4$ から $t = 2.4$, 拡張倍精度 $t = -2.6$ から $t = 2.6$ ($h = 0.2$) にして実行。結果の精度は倍精度演算, 拡張倍精度, 4倍精度の順。すなわち計算結果精度は ε ではなく h に大きく依存する。
- (3) $t = -2.6$ から $t = 2.6$ 倍精度演算で実行すると, nanが発生。これは $\varepsilon^2 > 2^{-53}$ の条件を満たしていない。
- (4) $\varepsilon = 2^{-m+1}$ ($m =$ 仮数部のビット数, $1 = \frac{\text{乗算の最高次数} - 1}{2} = 2$)

より, $\varepsilon = 2^{-50}$, t の絶対値最大値 t_{\max}

$$t_{\max} = \sinh^{-1} \frac{\log\left(\frac{1}{\varepsilon}\right)}{2\pi}, h = t_{\max} / (N - 1) \quad N = 2n + 1$$

$$t_{\max} = 2.408897648$$

$$(5) \zeta(7) = \frac{1}{\Gamma(7)} \int_0^{\infty} \frac{t^6}{e^t - 1} dt \text{より}$$

$$\int_0^{\infty} \frac{t^6}{e^t - 1} dt = \int_0^1 \frac{(\log(x))^6}{1 - x} dx \text{からDEの項が最大になるのは,}$$

$t = -1.5$ 付近。これにより, N を固定し h をわずかずつ増やす方法を取る事にした。

(6) $t = 2.4$ から $t = 2.44$ までの最適値付近では t の絶対値の単調増加の値を示すので、(N を固定して)一桁ずつ計算。一回の計算で 200×9 秒 = 30分で5回実行すれば、求める値にたどりつく。
(1回で一桁精度が向上し、 $t = -2.4$ で10進5桁の精度があったので。)

E5 - 2670, Phi5110Pでの実行結果はすべて10進11桁一致

E5 - 2670 FORTRAN 倍精度, 4倍精度

C 倍精度, 拡張倍精度

Phi5110P FORTRAN 倍精度

C 倍精度, 拡張倍精度

最適化オプションは倍精度, 拡張倍精度

-O1 -openmp (-mmic)

4倍精度は -O1 -openmp, -O2 -openmp

M_{45} 計算作業手順

- (1) t のとり範囲を M_{44} の結果をもとに $t = -2.4$ から $t = 2.4$ までと想定した。
- (2) 3loopの3ケースと M_{45} では倍精度演算では nan, infinityが発生したため, 拡張倍精度, DD形式4倍精度演算を使用。
- (3) 時間を考え, 3loopはSR16000で4倍精度で実行。
- (4) M_{45} はE5 - 2670 拡張倍精度で実行し, 最終結果をSR16000で4倍精度で実行。
- (5) M_{45} の結果は10進10桁一致, 11桁一致, 12桁一致する結果が得られた。(次ページ)
- (6) M_{45} 4倍精度はSR16000で実行中。
10進8桁一致する場合の実行時間は6374秒。
- (7) オプション E5 - 2670 - O1 - openmp (16smp)
SR16000 - O3 - omp (64smp)
サイズは全て $N = 25$

拡張倍精度実行結果

E5 - 2670 16smp

拡張倍精度 N = 25

h = 4.785582/24 10桁一致

x30[0] = 3.94884181984283738570e - 08

x30[n - 1] = 9.99999960511581801627e - 01

size = 25

h = 1.993992500000000000e - 01

eps = 0.000000000000000000e + 00

result = 5.20178687487030232e + 01

wallclock time = 688.694365 sec

h = 4.7855815/24 11桁一致
x30[0] = 3.94885893249829809237e - 08
x30[n - 1] = 9.99999960511410675059e - 01
size = 25
h = 1.99399229166666664e - 01
eps = 0.000000000000000000e + 00
result = 5.20178687432160053e + 01
wallclock time = 688.619698 sec

h = 4.78558154/24 12桁一致
x30[0] = 3.94885756348328792603e - 08
x30[n - 1] = 9.99999960511424365172e - 01
size = 25
h = 1.993992308333333330e - 01
eps = 0.000000000000000000e + 00
result = 5.20178687436344852e + 01
wallclock time = 688.669904 sec

3.4.8 3loop,4loop積分作業手順まとめ

DEでの変数変換区間 $[\varepsilon, 1 - \varepsilon]$ として、それに対応する t の値をそれぞれ $-t_{\max}, t_{\max}$ ($t_{\max} > 0$)とする。

$$t_{\max} = \sinh^{-1}\left(\frac{\log \frac{1}{\varepsilon}}{\pi}\right)$$

目安としては $\varepsilon \doteq 10^{-8}$ は $t_{\max} = 2.4$, $\varepsilon \doteq 10^{-14}$ は $t_{\max} = 3.0$

倍精度演算で $t_{\max} = 2.4$ でまともな値が出たのは、 M_{44} のみ。

M_{45} , $N0$, $L0(\text{case1})$, $L0(\text{case2})$ では nan , infinity , 10^6 という結果。

ここで t_{\max} の値を小さくしてある程度妥当な値がでた場合

の t_{\max} の最大値は $L0(\text{case2})$ の $t_{\max} = 2.175$ 。

ここで、 $L0(\text{case2})$ で $t_{\max} = 2.175$ を少しずつ変えてより良い精度の結果を求めようとすると、値が解析値のまわりを振動する。 M_{44} の場合は解析値付近では単調増加になっていてより良い精度が求められた。

$L0(\text{case2})$ の振動の原因を調べるため、

$$\Gamma(5)\zeta(5) = \int_0^1 \frac{(\log(x))^4}{1-x} dx \text{ で調査した。 (この式だと倍精度演算$$

でも、 $t_{\max} = 3.0$ でも計算可能なため)

$t_{\max} = 2.175$ の場合

| | | |
|----------|----|-------------------|
| $i, f =$ | 1 | 0.574525277298576 |
| $i, f =$ | 2 | 2.33890219974041 |
| $i, f =$ | 3 | 6.50618703452639 |
| $i, f =$ | 4 | 13.1385801164068 |
| $i, f =$ | 5 | 20.2148537888924 |
| $i, f =$ | 6 | 24.5889578882103 |
| $i, f =$ | 7 | 24.2698704409496 |
| $i, f =$ | 8 | 19.7433827737906 |
| $i, f =$ | 9 | 13.3148078153239 |
| $i, f =$ | 10 | 7.42443710006566 |
| $i, f =$ | 11 | 3.40083347814004 |
| $i, f =$ | 12 | 1.32758205957475 |
| $i, f =$ | 13 | 0.362594924949645 |

ここで, i と f は,

$t = (-13 + i) \times h$, と $(26 - i) \times h$ の場合の
被積分関数 \times 重み係数の和。

$i = 13$ は $t = 0$ の場合の被積分関数 \times 重み係数。

ここでわかるとおり, $i = 13$ の場合が最小値となっ

て, $i = 1$ の場合の方が大きい。これは, DE の持つ,

t の絶対値が大きいところでは, 急速に値が減少

すると言う性質を表わしていない。 t_{\max} を変更せず

$N = 25$ を $N = 41$ に変えても L0(case2) の精度は改善

されなかった事や, t_{\max} を少しかえても値が振動する

のはこれが原因による。

$t_{\max} = 2.4$ だと $i, f = 1 \quad 5.000558641136945E - 002$

$t_{\max} = 3$ だと $i, f = 1 \quad 6.662369942894555E - 007$

$i, f = 2 \quad 2.085441754992190E - 004$

$i, f = 3 \quad 1.398608912042730E - 002$

result = 24.8862661234180

kai = 24.8862661234409

$i = 13$ の値は t_{\max} の値 (N を固定した場合の h) には依存しない。

$$\frac{\pi}{2} (\log(2))^4$$

すなわち, t_{\max} の値を少しずつ変えて精度の良い

結果を得るには, $t = -t_{\max}, t_{\max}$ の場合の

被積分関数 \times 重み係数の和が十分小さいかどうか

($t = 0$ での値は一定なのでこの時の値に対して)

が判断基準となります。

以上の結果から次の手順が考えられます。

(1)倍精度演算で $\varepsilon = 10^{-8}$ に対する $t_{\max} = 2.4$, $N = 25$, $h = 0.2$ で妥当と思われる値が出るかどうか？

($\varepsilon = 10^{-8}$ は $\varepsilon^2 = 10^{-16}$ から来ている。)

(2)妥当と思われる値が出てれば t_{\max} のとき被積分関数×重み係数の和が十分小さい値かどうか？

この方法には以下の3つの方法が考えられる。

(ア)同じ t_{\max} で $N = 25$ から $N = 41$ で精度改善があるか調べる。(DEの性質を満たしていれば、誤差1/4以下となる。)

(演算量から言うと6次元積分 $N = 128$ に対し、7次元積分 $N = 64$, 8次元積分 $N = 38$ で同じになり倍精度の6次元積分の $N = 128$ での実行時間はわかっているため。)

(イ)全次元 $t = 0$ の場合の被積分関数×重み係数の値と、一次元だけ $-t_{\max}$ と t_{\max} のでの被積分関数×重み係数の値の和を比較。(n次元積分の場合、それぞれn個の値を比較して、問題のある次元はないかチェック)

(ウ)全次元 $t = 0$ の場合の被積分関数×重み係数の値と最小値(被積分関数×重み係数の値)及び全次元 $t = 0$ の場合の被積分関数×重み係数の値×閾値以下となる被積分関数×重み係数の個数でチェックする。

(3)問題のある場合は拡張倍精度, 4倍精度で,
 $h = 0.2$, $N = 25$, $t_{\max} = 2.4$ から始める。可能ならば拡張倍精度から始めるのが良い。

今回の実行では3loopは4倍精度演算, M_{45} は拡張倍精度で結果が得られ, M_{45} のE5-2670(16smp)拡張倍精度演算はSR16000/M1 (64smp)4倍精度演算の10倍(実行時間1/10)となっている。

3.5 量子モンテカルロ法による物性スペクトル計算

量子モンテカルロ法では、安定した計算を行うには L は $L = 20 \times \beta$ の関係が満たされている事が必要になります。

$U = 10$ ではプログラムを実行中に変数にとる値の最大値は

$e^{\sqrt{200 \times \beta}}$ となり、指数部が11ビットだと

$\beta < 50.14$, 15ビットだと $\beta < 802.978$

となります。

また粒子数 N は100程度が必要となります。

結果の精度からみると N が20でも100とはあまり差は出ていません。

3.5.1 指数部が11ビットの限界について

量子モンテカルロ法

$\beta = \text{可変}, L = 20 \times \beta, U = 10$

倍精度の最大値 1.7976931348623157E + 0308

l = 980

beta = 49.0000000000000000000000000000000000

ispin = 1

QDR = 1.785864139172194426883476026500380E + 0303

I + QDR = 1.785864139172194426883476026500380E + 0303

ispin = 2

QDR = 1.016926695260681160826110539840909E + 0304

I + QDR = 1.016926695260681160826110539840909E + 0304

l = 1000

beta = 50.0000000000000000000000000000000000

spin = 1

QDR = 2.862712242794756891557352959861312E + 0309

I + QDR = 2.862712242794756891557352959861312E + 0309

ispin = 2

QDR = 1.651604970572476540194914368437567E + 0310

I + QDR = 1.651604970572476540194914368437567E + 0310

$\beta = 49.6$ OK, $\beta = 49.7$ NG

I = 992
beta = 49.60000000000000000000000000000000

ispin = 1
QDR = 9.436165589130513054255944449201070E + 0306
I + QDR = 9.436165589130513054255944449201070E + 0306

ispin = 2
QDR = 5.415677874136262454106581048120274E + 0307
I + QDR = 5.415677874136262454106581048120274E + 0307

I = 994
beta = 49.70000000000000000000000000000000

ispin = 1
QDR = 3.938127827940264707461183253762617E + 0307
I + QDR = 3.938127827940264707461183253762617E + 0307

ispin = 2
QDR = 2.263160356072587757351389081936904E + 0308
I + QDR = 2.263160356072587757351389081936904E + 0308

I = 996
beta = 49.80000000000000000000000000000000

ispin = 1
QDR = 1.643557573940390154190429173363875E + 0308
I + QDR = 1.643557573940390154190429173363875E + 0308

ispin = 2
QDR = 9.457544390246214860747340892604545E + 0308
I + QDR = 9.457544390246214860747340892604545E + 0308

I = 998
beta = 49.90000000000000000000000000000000

ispin = 1
QDR = 6.859317195871621637905579118618770E + 0308
I + QDR = 6.859317195871621637905579118618770E + 0308

ispin = 2
QDR = 3.952228149418581143027425919256247E + 0309
I + QDR = 3.952228149418581143027425919256247E + 0309

3.5.2 必要演算精度見積り

β と必要演算精度は以下の様に見積もれます。

限界テスト

$\beta/L = a(\text{一定}), U = 10$ とする。 $(0 < a \ll 1)$

$\beta = 10, L = 200, a = 0.05$

$$\sqrt{U\beta L} = \beta \sqrt{\frac{U}{a}} = 10\sqrt{2} \times \beta$$

$$\text{必要ビット数} = \ln_2 e^{\beta \times 10\sqrt{2}} = \frac{10\sqrt{2} \times \beta}{\ln 2} = 20.40278893 \times \beta$$

| β | 必要ビット数 | 必要精度 | L |
|---------|--------|------|-------|
| 100 | 2041 | 68 | 2000 |
| 180 | 3673 | 128 | 3600 |
| 250 | 5101 | 188 | 5000 |
| 300 | 6121 | 248 | 6000 |
| 400 | 8162 | 308 | 8000 |
| 500 | 10202 | 368 | 10000 |
| 600 | 12242 | 428 | 12000 |
| 700 | 14282 | 488 | 14080 |
| 800 | 16323 | 548 | 16000 |

548倍精度演算では限界に近い事も
あり $\beta = 800$ では他の演算精度の場合
と異なる結果となる。

| | | | | |
|-------------------------|---|-------------------|--|--|
| | | | | |
| | | | | |
| n= | 8 | | | |
| l= | 16000 | | | |
| beta, dt= | 800.000000000000000000000000000000 | | | |
| | 5.00E-02 | | | |
| u, t0= | 10.00000000000000000000000000000000 | | | |
| | 1 | | | |
| fac= | 0.707106781186547524400844362104849 | | | |
| For denominator: mstep= | 1 | | | |
| For green func: mstep2= | 1 | | | |
| ispin= | 1 | | | |
| QDR = | 1.139496372849864562316010744931467E+4911 | | | |
| I+QDR= | 1.139496372849864562316010744931467E+4911 | | | |
| ispin= | 2 | | | |
| QDR = | 4.844939675477544024337394425713083E+4911 | | | |
| I+QDR= | 4.844939675477544024337394425713083E+4911 | | | |
| | 0.0000000000D+00 | -0.2500000000D+00 | | |

| | | | | |
|-------------------------|---|-------------------|--|--|
| | | | | |
| | | | | |
| n= | 8 | | | |
| l= | 15744 | | | |
| beta, dt= | 800.000000000000000000000000000000 | | | |
| | 5.08E-02 | | | |
| u, t0= | 10.00000000000000000000000000000000 | | | |
| | 1 | | | |
| fac= | 0.712832435640251297431604369230305 | | | |
| For denominator: mstep= | 1 | | | |
| For green func: mstep2= | 1 | | | |
| ispin= | 1 | | | |
| QDR = | 3.370632870032681675889173302418504E+4929 | | | |
| I+QDR= | 3.370632870032681675889173302418504E+4929 | | | |
| ispin= | 2 | | | |
| QDR = | 1.056365855103840555758447648870414E+4931 | | | |
| I+QDR= | 1.056365855103840555758447648870414E+4931 | | | |
| | 0.0000000000D+00 | -0.1000000000D+01 | | |

各演算精度でまとめた結果は下記の通り。

| 調査一覧 | | | | | | |
|------|----------|-----|----|-------|--------|--|
| 項番 | β | N | U | L | 精度 | |
| 1 | 100 | 100 | 10 | 2000 | 68倍精度 | |
| 2 | 180 | 100 | 10 | 3600 | 128倍精度 | |
| 3 | 250 | 100 | 10 | 5000 | 188倍精度 | |
| 4 | 300 | 100 | 10 | 6000 | 248倍精度 | |
| 5 | 400 | 20 | 10 | 8000 | 308倍精度 | |
| 6 | 500 | 20 | 10 | 10016 | 368倍精度 | |
| 7 | 600 | 20 | 10 | 12032 | 428倍精度 | |
| 8 | 10000/14 | 20 | 10 | 14336 | 488倍精度 | |
| 9 | 770 | 20 | 10 | 15424 | 548倍精度 | |
| 10 | 780 | 20 | 10 | 15680 | 548倍精度 | |
| 11 | 790 | 20 | 10 | 15808 | 548倍精度 | |
| 12 | 800 | 20 | 10 | 15680 | 548倍精度 | |
| 13 | 800 | 20 | 10 | 15744 | 548倍精度 | |

最小値一覧

| 備考 | 理論値 | 実測値 |
|----|-------------|-------------|
| 1 | 0.567D-307 | 0.330D-307 |
| 2 | 0.120D-552 | 0.512D-553 |
| 3 | 0.130D-767 | 0.468D-768 |
| 4 | 0.370D-921 | 0.121D-921 |
| 5 | 0.299D-1228 | 0.927D-1229 |
| 6 | 0.143D-1536 | 0.424D-1537 |
| 7 | 0.686D-1845 | 0.199D-1845 |
| 8 | 0.296D-2197 | 0.849D-2198 |
| 9 | 0.176D-2366 | 0.705D-2367 |
| 10 | 0.246D-2401 | 0.703D-2402 |
| 11 | 0.159D-2426 | 0.454D-2427 |
| 12 | 0.625D-2432 | 0.179D-2432 |
| 13 | 0.688D-2437 | 0.197D-2437 |

論文リスト

外国雑誌

1. Acceleration of Feynman loop integrals in high-energy physics on many core GPUs, F. Yuasa, T. Ishikawa, N. Hamaguchi, T. Koike, N. Nakasato. 2013. 7 pp.
J.Phys.Conf.Ser. 454 (2013) 012081
2. Numerical Computation of Two-loop Box Diagrams with Masses, F. Yuasa, E. de Doncker, N. Hamaguchi, T. Ishikawa, K. Kato, Y. Kurihara, J. Fujimoto, Y. Shimizu. Dec 2011. 20 pp.
Comput.Phys.Commun. 183 (2012) 2136-2144

国際会議プロシーディング

3. Numerical approach to multi-loop integrals
K. Kato, E. de Doncker, N. Hamaguchi, T. Ishikawa, T. Koike, Y. Kurihara, Y. Shimizu, F. Yuasa. Jan 2012. 7 pp.
PoS QFTHEP2011 (2013) 029
4. The GRACE project: QCD, SUSY, multi-loop
J. Fujimoto et al.. 2011. 8 pp,
PoS RADCOR2011 (2011) 012
5. Numerical Approach to Calculation of Feynman Loop Integrals
F. Yuasa, T. Ishikawa, Y. Kurihara, J. Fujimoto, Y. Shimizu, N. Hamaguchi, E. de Doncker, K. Kato. Sep 2011. 8 pp.
PoS CPP2010 (2010) 017
6. Recursive box and vertex integrations for the one-loop hexagon reduction in the physical region
E. de Doncker, J. Fujimoto, N. Hamaguchi, T. Ishikawa, Y. Kurihara, Y. Shimizu, F. Yuasa. 2010. 9 pp.
PoS ACAT2010 (2010) 073

7. Numerical Evaluation of Feynman Integrals by a Direct Computation Method F. Yuasa, T. Ishikawa, J. Fujimoto, N. Hamaguchi, E. de Doncker, Y. Shimizu. Apr 2009. 5 pp. PoS ACAT08 (2008) 122
8. Status reports from the GRACE group Y. Yasui, T. Ueda, E. de Doncker, J. Fujimoto, N. Hamaguchi, T. Ishikawa, Y. Shimizu. F. Yuasa Oct 2007. 6 pp. eConf C0705302 (2007) LOOP04 (LCWS-2007-LOOP04)
9. Precise Numerical Evaluation of the Scalar One-Loop Integrals with the Infrared Divergence、 F. Yuasa E. de Doncker, J. Fujimoro, N. Hamaguchi, T. Ishikawa, Y. Shimizu Sep 2007. 10 pp. PoS ACAT2007 (2007) 087

国内研究会論文等

10. Feynman 4-loop積分のチューニングとアクセラレータを使用した高速化
濱口 信行、石川 正、湯浅 富久子
情報処理学会 研究報告ハイパフォーマンス
コンピューティング (HPC), 2015-HPC-152, (2015-12-16)
11. ファインマンループ積分によるアクセラレータの精度、
性能評価
濱口 信行, 石川 正
情報処理学会研究報告ハイパフォーマンス
コンピューティング (HPC), 2014-HPC-147(8), 1-8 (2014-12-02)
12. 量子モンテカルロ法による物性スペクトル計算への多倍長演算
の適用
濱口信行, 石川正, 岩野薫
情報処理学会研究報告ハイパフォーマンス
コンピューティング (HPC), 2013-HPC-141(12), 1-7 (2013-09-23)

13. SR16000/M1とBG/Qにおける性能, 精度評価
濱口信行, 石川正
情報処理学会研究報告ハイパフォーマンス
コンピューティング (HPC), 2012-HPC-136(6), 1-5 (2012-09-26)
14. 数値解析から見たファインマンループ積分の特徴と
多倍長精度積分の適用
濱口 信行
京都大学数理解析研究所RIMS研究集会
「科学技術計算における理論と応用の新展開」
数理解析研究所講究録 1791:131-140, 2012
15. SR11000での多倍長演算使用例
濱口 信行
九州大学情報基盤研究開発センター
全国共同利用システム広報. 2, (3), pp. 102-108, 2009.
16. SR11000モデルK1における多倍長ルーチンによる数値積分
の高速化
濱口信行
情報処理学会情報処理学会研究報告ハイパフォーマンス
コンピューティング (HPC), 2008(125(2008-HPC-118)),
109-114 (2008-12-09)
17. 二重指数関数型積分法の素粒子物理学への応用
湯浅 富久子, 濱口 信行
情報処理学会情報処理学会研究報告ハイパフォーマンス
コンピューティング (HPC), 2008(19(2008-HPC-114)),
31-36 (2008-03-05)

18. Baileyアルゴリズムによる多倍長演算の性能評価
石川 正, 濱口 信行
情報処理学会情報処理学会研究報告ハイパフォーマンス
コンピューティング (HPC), 2008(19(2008-HPC-114)),
25-30 (2008-03-05)
19. 理論物理学計算への多倍長ライブラリの適用
濱口 信行 (日立)
情報処理学会情報処理学会研究報告ハイパフォーマンス
コンピューティング (HPC), 2007-HPC-113 (2007-12-07)